

Statistische Physik I

136.020



SS 2010

Vortragende: **C. Lemell, S. Yoshida**

<http://dollywood.itp.tuwien.ac.at/~statmech>

Übersicht (vorläufig)

1) **Wiederholung**

- Begriffsbestimmung
- Eulergleichung

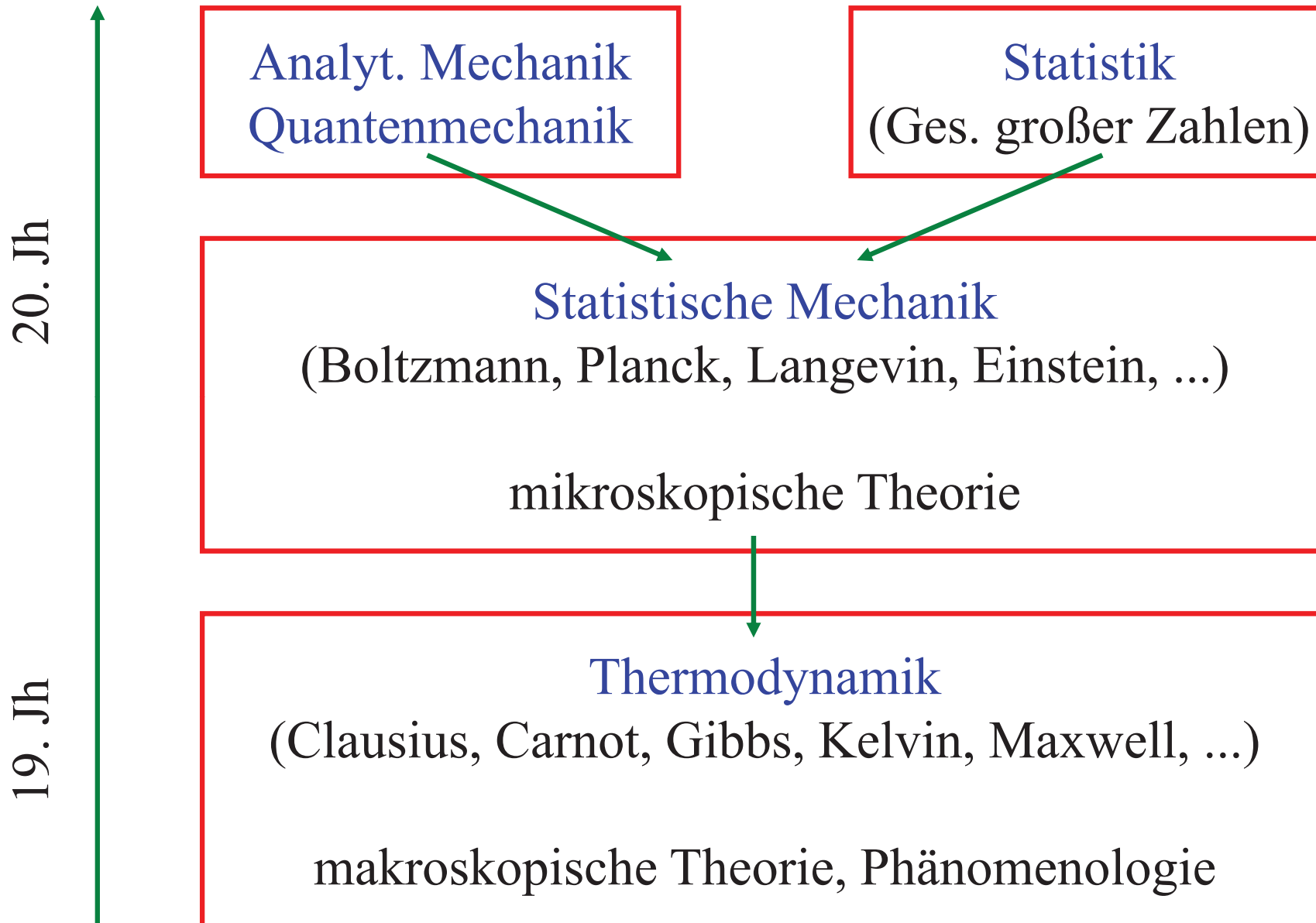
2) **Phänomenologische Thermodynamik**

- Thermodynamische Potentiale
- Maxwell-Viereck
- „response“-Funktionen
- Phasenübergänge

3) **Statistische Mechanik**

- Zählung von Zuständen
- Ensembles
- Beispiele (ideales Gas, ideale Quantensysteme, Photonengas, Phononen, Elektronengas, BEC, ...)

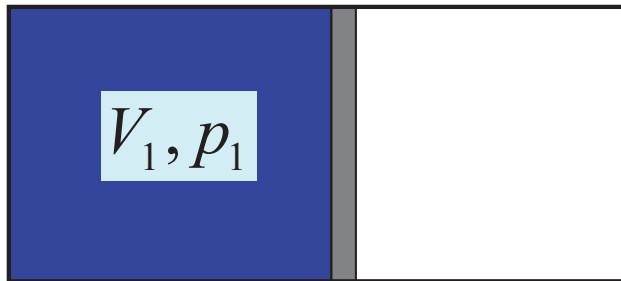
Historische Entwicklung



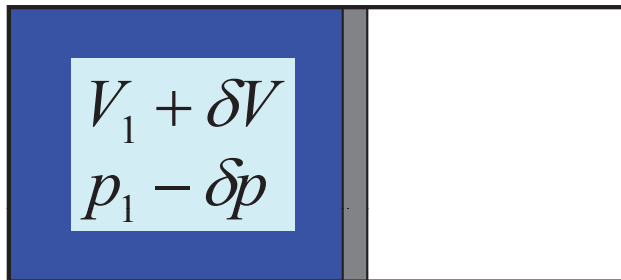
Begriffsbestimmung

- **Thermodynamik (eigentlich Thermostatik)**: Beschreibung der stationären Zustände eines Systems
- **Zustandsgleichung**: Beziehung zwischen Zustandsvariablen eines Systems; z.B. $f(T, V, p) = C$
- **Thermodynamische Transformation**: Übergang zwischen zwei thermodynamischen Zuständen; z.B. $(T_1, V_1, p_1) \rightarrow (T_2, V_2, p_2)$

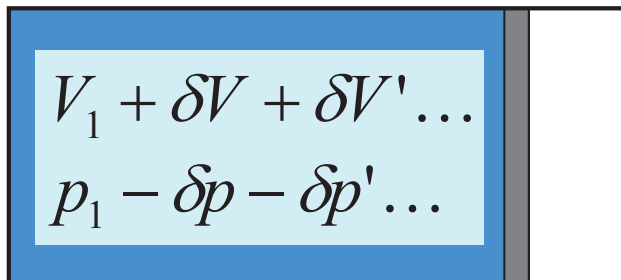
- **quasi-statisch**: Durchlauf von Gleichgewichtszuständen



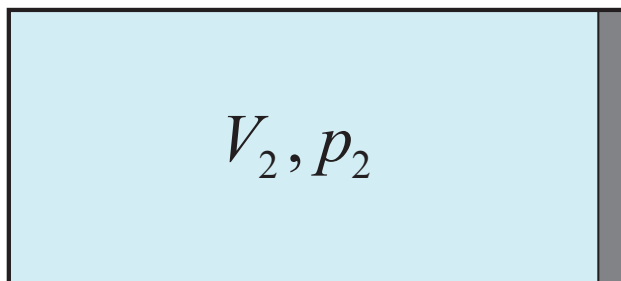
Der graue Schieber ist horizontal beweglich.



Der Schieber bewegt sich *unendlich* langsam nach rechts \rightarrow der Druck sinkt, Volumen wächst.

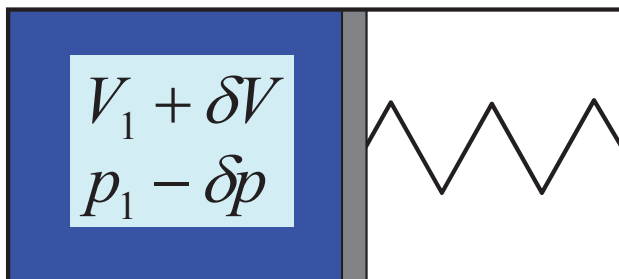
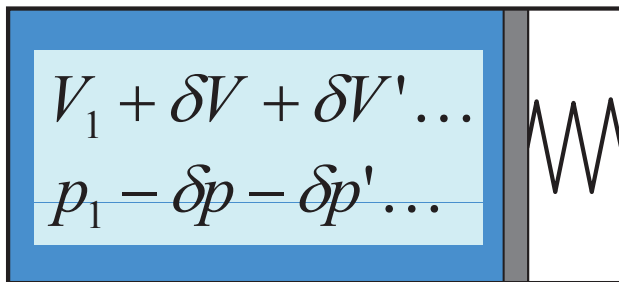
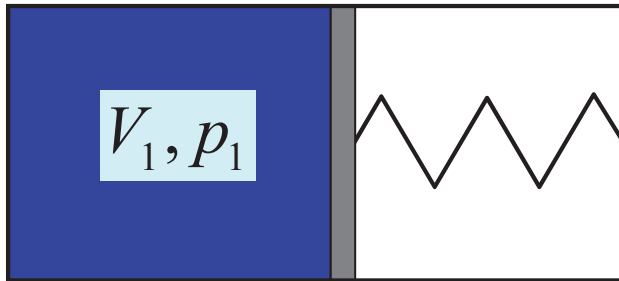


Bei unendlich langsamer Bewegung befindet sich das System zu jedem Zeitpunkt im stationären Zustand



\rightarrow der Prozess wird quasi-statisch geführt

- **reversibel**: Prozess kann ohne Änderung des Systems und der Umgebung umgekehrt werden



quasistatische Volumensänderung bei gleichzeitiger Speicherung der freiwerdenden Energie in der Feder.

→ der Prozess ist reversibel.

extensiv \leftrightarrow intensiv

extensive Variable verhalten sich **additiv**
intensive Variable sind **größenunabhängig**

z.B.: Zwei Systeme mit Volumen V ergeben zusammen ein System mit $2V \rightarrow V$ ist extensiv. Wenn vor der Vereinigung in beiden Teilsystemen der Druck p geherrscht hat, so hat auch das Gesamtsystem Druck $p \rightarrow p$ ist intensiv

Paare konjugierter Variable (extensiv \leftrightarrow intensiv)

Volumen V \leftrightarrow Druck p

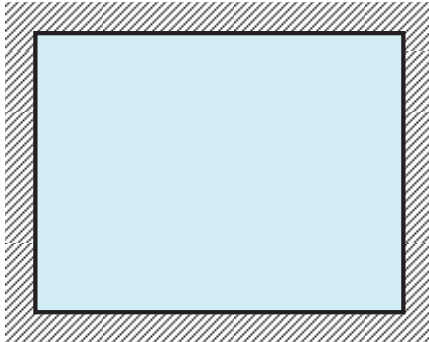
Entropie S \leftrightarrow Temperatur T

Teilchenzahl N \leftrightarrow chemisches Potential μ

Magnetisierung M \leftrightarrow Magnetfeld B

Thermodynamische Potentiale sind extensiv (E, F, G, \dots)

- **System:** Ansammlung sehr vieler Teilchen ($\sim 10^{23}$), die durch wenige makroskopische Variablen beschrieben werden kann

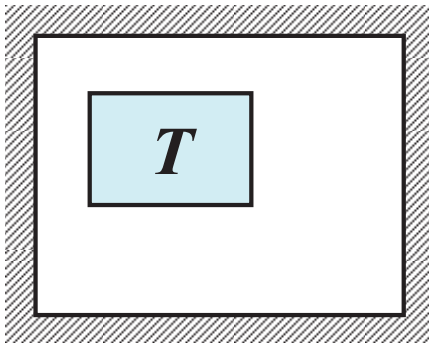


isoliertes System: System ist gegen die Umgebung abgeschirmt

festgehaltene Makrovariable

(natürliche Variable): E, V, N

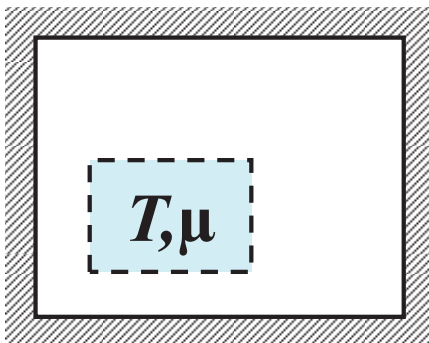
Potential: Energie $E(S, V, N)$; Entropie $S(E, V, N)$



geschlossenes System: Energieaustausch mit der Umgebung zugelassen

natürliche Variable: T, V, N

Potential: freie Energie $F(T, V, N)$

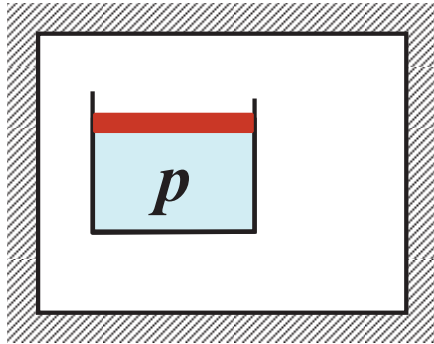


offenes System: Austausch von Energie und Teilchen zugelassen

natürliche Variable : T, V, μ

Potential: großkanonisches Potential $J(T, V, \mu)$

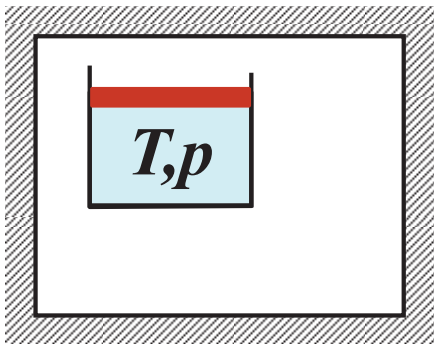
weitere wichtige Systeme (Chemie):



wie geschlossenes System: Druckausgleich
statt Temperatúrausgleich

natürliche Variable: S, p, N

Potential: Enthalpie $H(S, p, N)$



wie offenes System: Druckausgleich
statt Teilchenaustausch

natürliche Variable: T, p, N

Potential: freie Enthalpie $G(T, p, N)$

thermisches Gleichgewicht:	$T_1 = T_2$
chemisches Gleichgewicht:	$\mu_1 = \mu_2$
mechanisches Gleichgewicht:	$p_1 = p_2$

Formale Struktur der Theorie:

Thermodynamische Potentiale:

Jeder Klasse von Gleichgewichtszuständen ist eine Funktion der *natürlichen, makroskopischen Variablen* (vorgegebene, feste Werte) zugeordnet, die den Zustand *vollständig* beschreibt. Diese Funktion heißt thermodynamisches Potential (bzw. „Zustandssumme“). Potentiale zu unterschiedlichen Sätzen von natürlichen Variablen sind über *Legendre-Transformationen* miteinander verknüpft. Alle abgeleiteten thermodynamischen Größen sind Mittelwerte und unterliegen sehr kleinen Fluktuationen ($\Delta X/X \sim 1/\sqrt{N}$).

Die totalen Differentiale geben an, wie sich die thermodynamischen Potentiale bei *quasistatischen* Prozessen aufgrund infinitesimaler Änderungen der natürlichen Variablen ändern. Das heißt nicht, dass sie auch reversibel sein müssen!

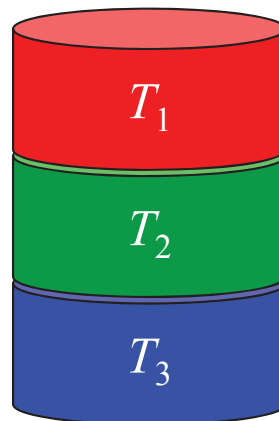
0. Hauptsatz der Thermodynamik

Der (ein) Gleichgewichtsparameter eines thermodynamischen Systems ist die Temperatur T

kürzer:

In einem isolierten System herrscht im Gleichgewicht überall dieselbe Temperatur

thermisches
Gleichgewicht:
 $T_1 = T_2 = T_3$



Temperatur

Gleichgewichtsparameter bei Energieaustausch

→ im Gleichgewicht haben zwei Systeme *per definitionem* gleiche Temperatur

→ an sich jede monoton wachsende Funktion erlaubt

→ Versuch, möglichst einfache Funktion zu finden

Experiment: zwei mit (annähernd) idealem Gas gefüllte

Behälter werden in thermischen Kontakt gebracht,

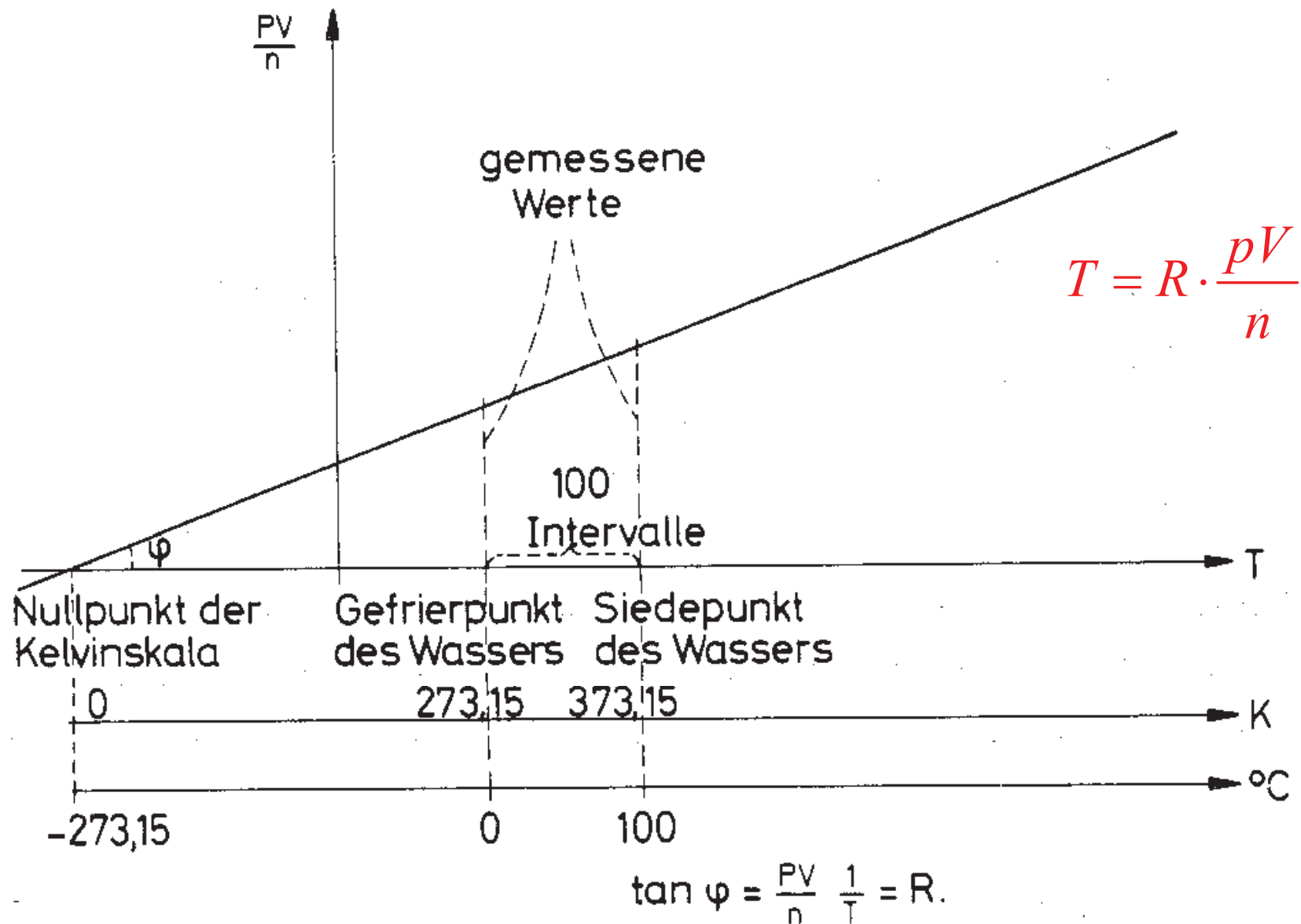
Messung der zugänglichen makroskopischen

Variablen n , V , p in jedem der Systeme verschieden

aber: Ausdruck pV/n hat identischen Wert

Proportionalitätskonstante legt Temperaturskala fest

Temperatur

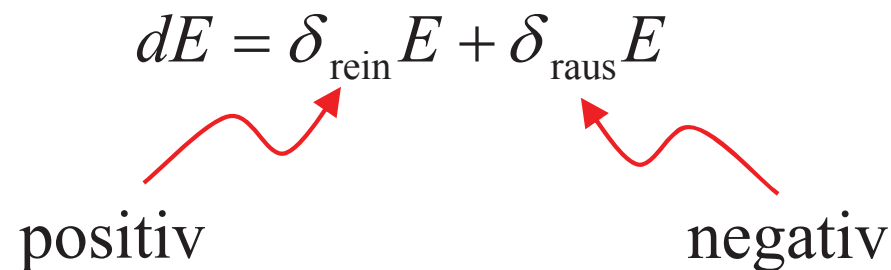


1. Hauptsatz der Thermodynamik

Die Energie E eines isolierten Systems ist erhalten.

bzw.

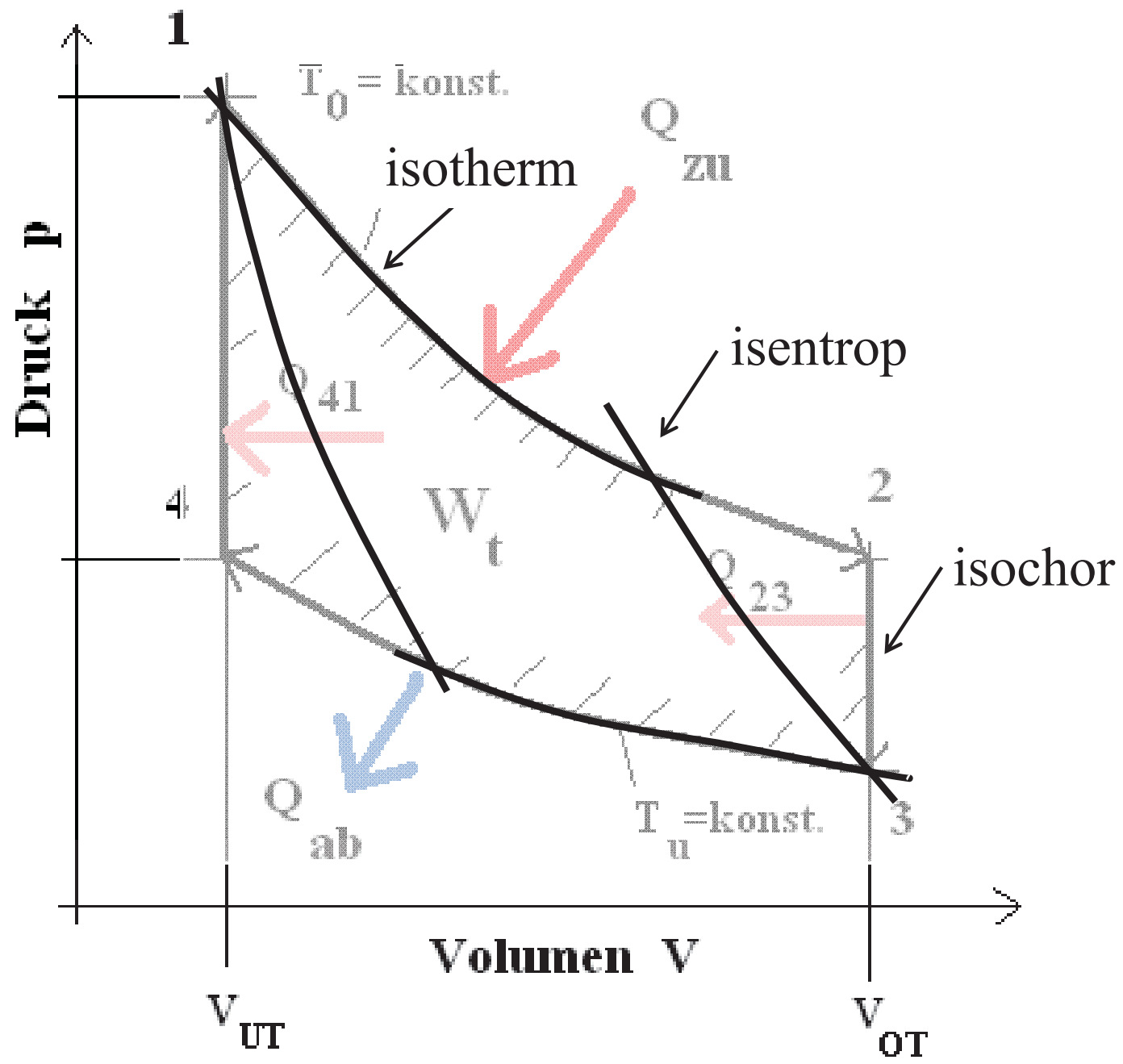
**Die innere Energie eines Systems ändert sich,
wenn dem System Energie zugeführt bzw. entzogen wird.**

$$dE = \delta_{\text{rein}} E + \delta_{\text{raus}} E$$


positiv negativ

Beispiele: Arbeit bei Volumensänderung: $\delta_V E = -p dV$

Änderung der Teilchenzahl: $\delta_{N_i} E = \mu_i dN_i$

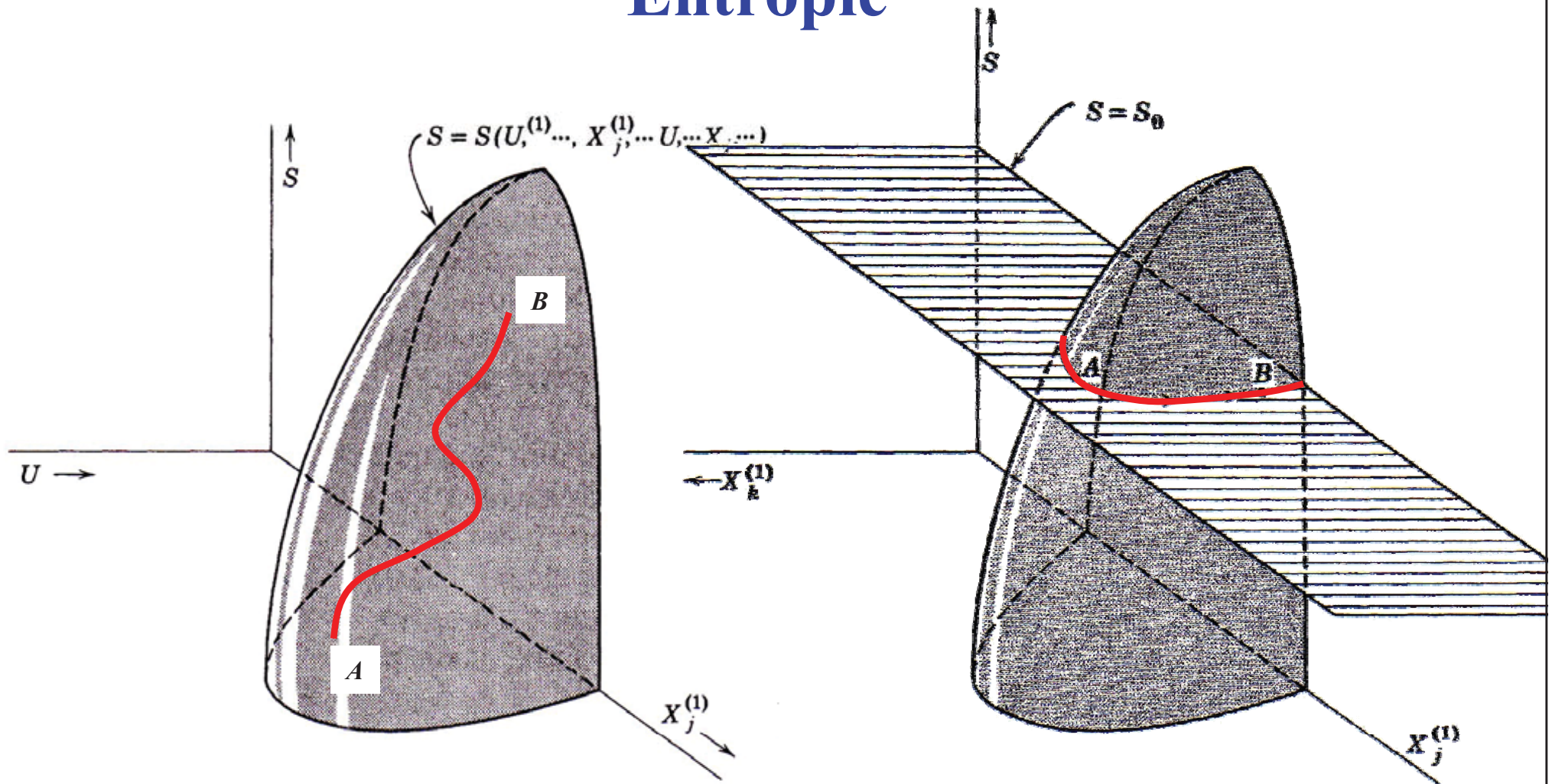


2. Hauptsatz der Thermodynamik

Einem makroskopischen System im Gleichgewicht kann eine Entropie S zugeordnet werden, für die gilt:

1. Bei reversibler Prozessführung ist die zugeführte Wärme δQ mit der Entropieänderung dS verknüpft durch
$$dS = \frac{\delta Q_{rev}}{T}$$
2. Die Entropie eines isolierten Systems kann niemals abnehmen. Jeder reale Prozess läuft von selbst so lange, bis die Entropie ein Maximum erreicht.
3. Die Entropie ist eine extensive Größe.

Entropie



quasistatisch

reversibel

andere Formulierungen:

„Es kann keine Maschine gebaut werden, deren *einzig*e Wirkung es ist, einem Wärmespeicher Wärme zu entziehen und diese in mechanische Arbeit umzuwandeln“ (Thomson = Kelvin)

Bsp.: Carnot-Maschine (maximaler Wirkungsgrad für Maschine, die zwischen zwei Wärmebädern betrieben wird; $\eta = 1 - \frac{T_{\text{kalt}}}{T_{\text{heiß}}} < 1$)

„Es kann keine Maschine gebaut werden, deren *einzig*e Wirkung es ist, einem kälteren Wärmespeicher Wärme zu entziehen und sie einem wärmeren Speicher zuzuführen.“ (Clausius)

3. Hauptsatz der Thermodynamik

Für jedes reine System, welches nur eine Teilchensorte enthält, gilt: $S(T=0, \dots) = 0$ (Nernst'scher Satz)

„Beweis“:

Für $T \rightarrow 0$ befindet sich System im qm. Grundzustand E_0

falls nicht entartet

$$\lim_{T \rightarrow 0} \sum (\text{Zustände}) = 1 = \Omega_{qm}$$

$$S = k \ln \Omega_{qm} = k \ln 1 = 0$$

Bei mehreren Teilchensorten verbleibt für $T \rightarrow 0$ eine Mischentropie $S_{T=0} > 0$.

Relation zwischen Extensiven und intensiven Variablen

System aus mehreren identischen Systemen zusammengesetzt:

$$E(\lambda S, \lambda \dots \lambda \dots) = \lambda \cdot E(S, \dots \dots)$$

Eine Funktion $\psi(x_1, \dots, x_n)$ heißt homogen vom Grad k
wenn für alle reellen $\lambda > 0$ gilt: $\psi(\lambda x_1, \dots, \lambda x_n) = \lambda^k \cdot \psi(x_1, \dots, x_n)$

Satz von Euler: ψ homogen vom Grad k und stetig differenzierbar

$$\Rightarrow \sum_{i=1}^n x_i \frac{\partial \psi(x_1, \dots, x_n)}{\partial x_i} = k \psi(x_1, \dots, x_n)$$

$$\Rightarrow \frac{\partial E}{\partial S} S + \frac{\partial E}{\partial V} V + \frac{\partial E}{\partial N} N = TS - pV + \mu N = E(S, V, N)$$

Eulergleichung

Erinnerung: Legendre Transformationen

Grundidee:

wichtigste Größen der Thermodynamik \rightarrow thermodynamische Potentiale als Funktionen ihrer natürlichen Variablen

z.B. isoliertes System: $E(S, V, N) \rightarrow E = E(T, S, V, \mu)$

oft: geschlossenes (T, V, N) oder offenes (T, μ) System

Übergang zwischen Potentialen durch Legendre Transformation:

Austausch von Paaren konjugierter Variablen \Rightarrow Informationsverlust

$$\text{z.B.:} \quad \left(\frac{\partial E}{\partial S} \right)_{V, N} = T \quad E(S, V, N) \rightarrow E^S(T, V, N) = E(T, S, V, \mu)$$

■ tangente ■ ■ Schnitt ■ ■ n ■ t ■ ■ it ■ ■ r ■ inate

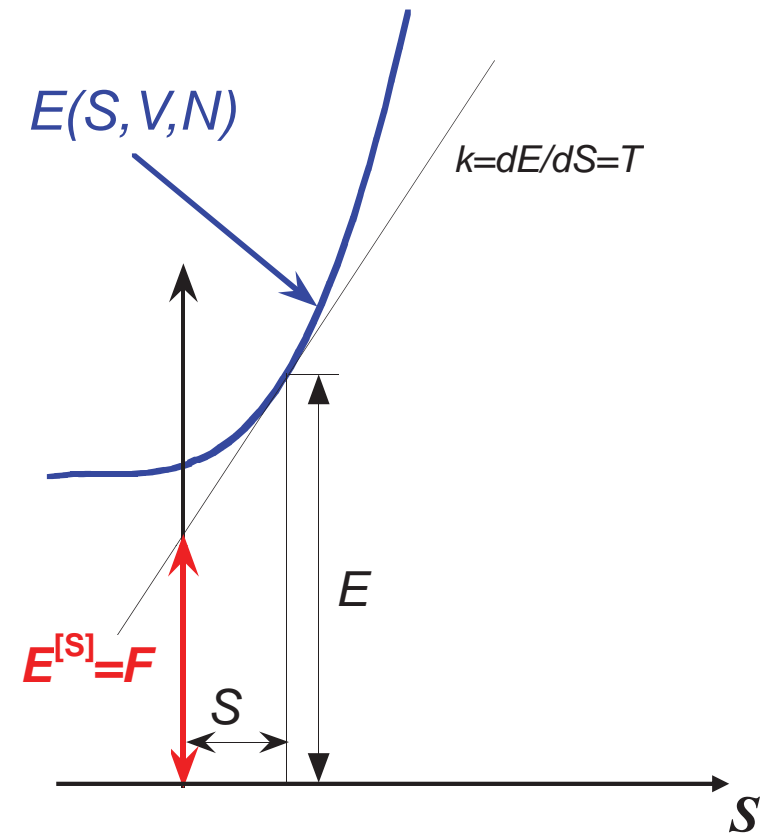
Bsp.: $E(S, V, N) = TS + \mu$

$$T = \frac{\partial E}{\partial S} = T(S) = \frac{E - E^{[S]}}{S - 0}$$

$$E^{[S]} = E - S \frac{\partial E}{\partial S} = E - ST = \square(T, \square, \square)$$

■ entspricht ■inhüllender von $E(S, V, N)$

$E^{[S]}$ ist eine Legendre-Transformierte



■ c ■ trans ■ r ■ ati ■ n (n ■ ch ■ alige ■ egen ■ re ■ rans ■ r ■ ati ■ n):

$$\square = \square E - T\square S - S\square T = -S\square T - \square\square\square + \mu\square\square$$

$$\square^{[T]} = \square - T \frac{\square\square}{\square T} = \square + ST = E - TS + TS = E(S, \square, \square)$$

Transformation zwischen Ensembles:

Ausgangspunkt: Euler-Gleichung für extensive natürliche Variable

$$E(S, V, N) = \frac{\partial E}{\partial S} S + \frac{\partial E}{\partial V} V + \frac{\partial E}{\partial N} N = TS - pV + \mu N$$

Legendre-Transformation auf natürliche Variable (T, V, N) :

$$F(T, V, N) = E - TS = -pV + \mu N$$

$$\Rightarrow dF = dE - SdT - TdS = -SdT - pdV + \mu dN$$

$$\left. \frac{\partial F}{\partial T} \right|_{V, N} = -S; \quad \left. \frac{\partial F}{\partial V} \right|_{T, N} = -p; \quad \left. \frac{\partial F}{\partial N} \right|_{T, V} = \mu$$

damit dF totales Differential ist, muß z.B. auch gelten:

$$\left(\frac{\partial S}{\partial V} \right)_{T, N} = - \frac{\partial}{\partial V} \frac{\partial F}{\partial T} = - \frac{\partial}{\partial T} \frac{\partial F}{\partial V} = \left(\frac{\partial p}{\partial T} \right)_{V, N} \quad \text{Maxwell-Relation}$$

ähnliche Beziehungen aus allen Potentialen ableitbar (s.u.)

großkanonisches Ensemble:

Legendre-Transformation auf natürliche Variable (T, V, μ) :

$$\begin{aligned}\Omega(T, V, \mu) &= E - TS - \mu N = F - \mu N \\ &= -p(T, V, \mu)V\end{aligned}$$

$$\Rightarrow d\Omega = dF - \mu dN - Nd\mu = -SdT - pdV - Nd\mu$$

Was passiert beim Übergang auf den vollständigen Satz intensiver Variabler (T, p, μ) ?

Versuch: $\psi(T, p, \mu) = \Omega + pV =$

$$\Rightarrow d\psi = d\Omega + pdV + Vdp = \underbrace{-SdT + Vdp - Nd\mu}_{\text{Euler-Relation}} =$$

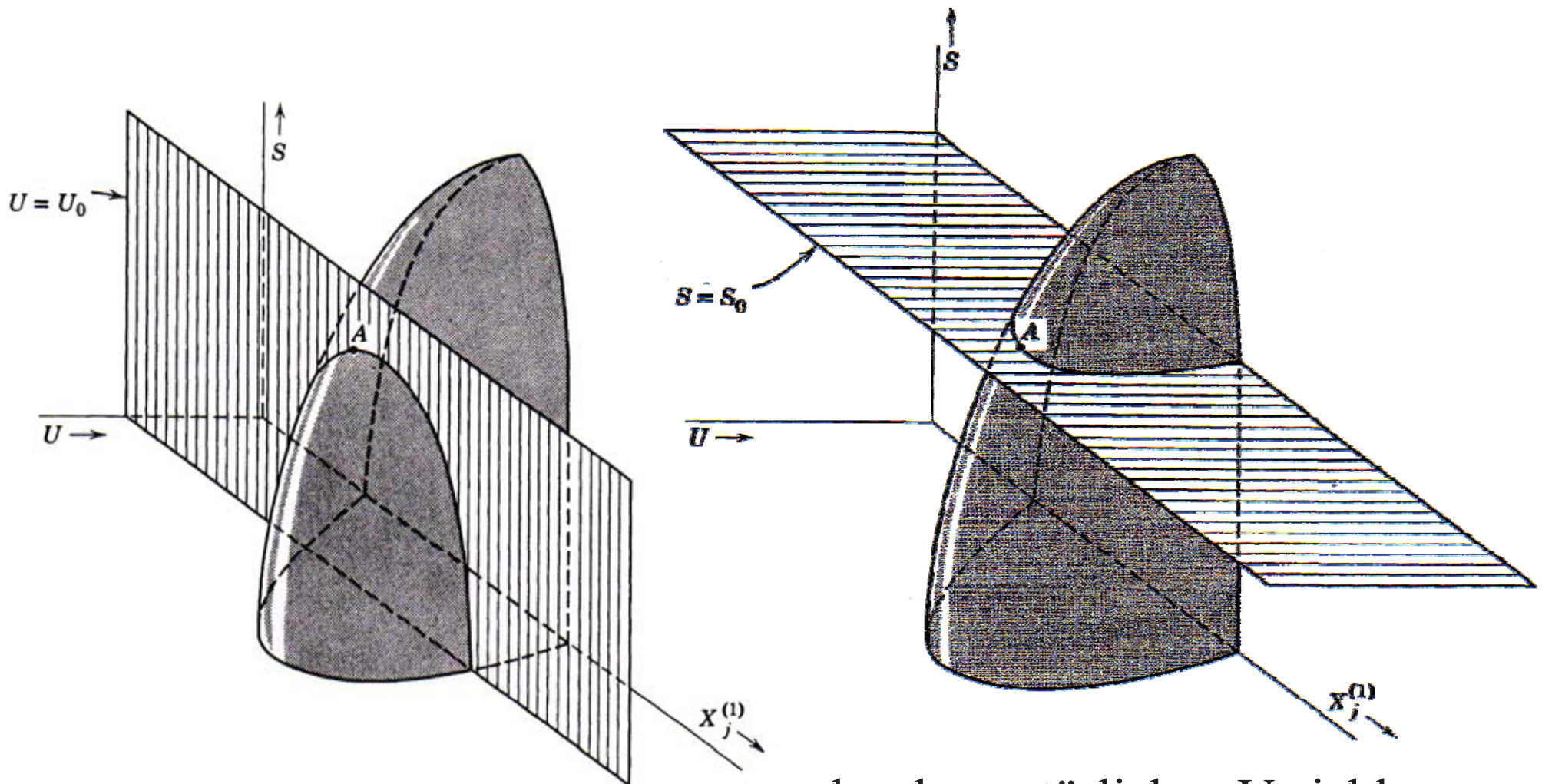
Euler-Relation

keine Information über die Größe des Systems enthalten

→ T, p, μ nicht unabhängig voneinander

→ alle Freiheitsgrade für das (einkomponentige, einphasige) System aufgebraucht

Äquivalente Extremalprinzipien



Wert der **Entropie** ist im Gleichgewicht **maximal**

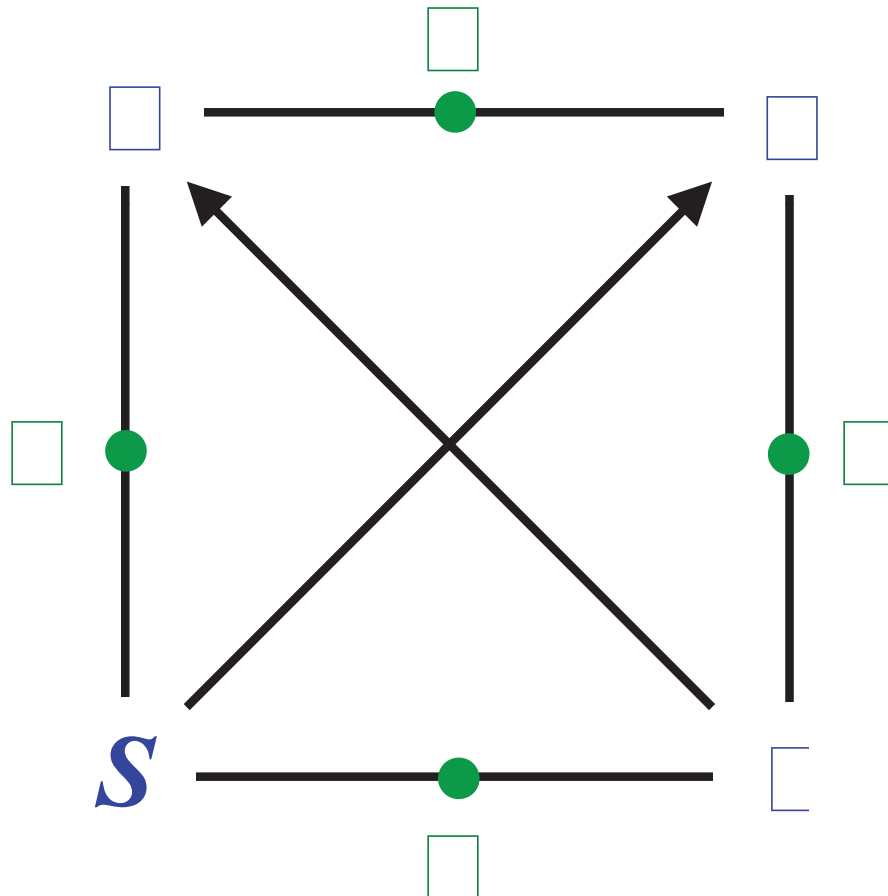
das den natürlichen Variablen zugeordnete **Potential** ist im Gleichgewicht **minimal**

Thermodynamisches Quadrat (Maxwell-Diagramm)

graphische Darstellung der Maxwell-Relationen; verknüpft Potentiale, die eine natürliche Variable gemeinsam haben.

z.B.: $N = \text{const.} \rightarrow E(S, V, N), F(T, V, N), \mu(S, p, N), \mu(T, p, N)$

$\square \square \text{const} \square$



$\square \square$ eitenmittelpunkt: thermodynamische Potentiale

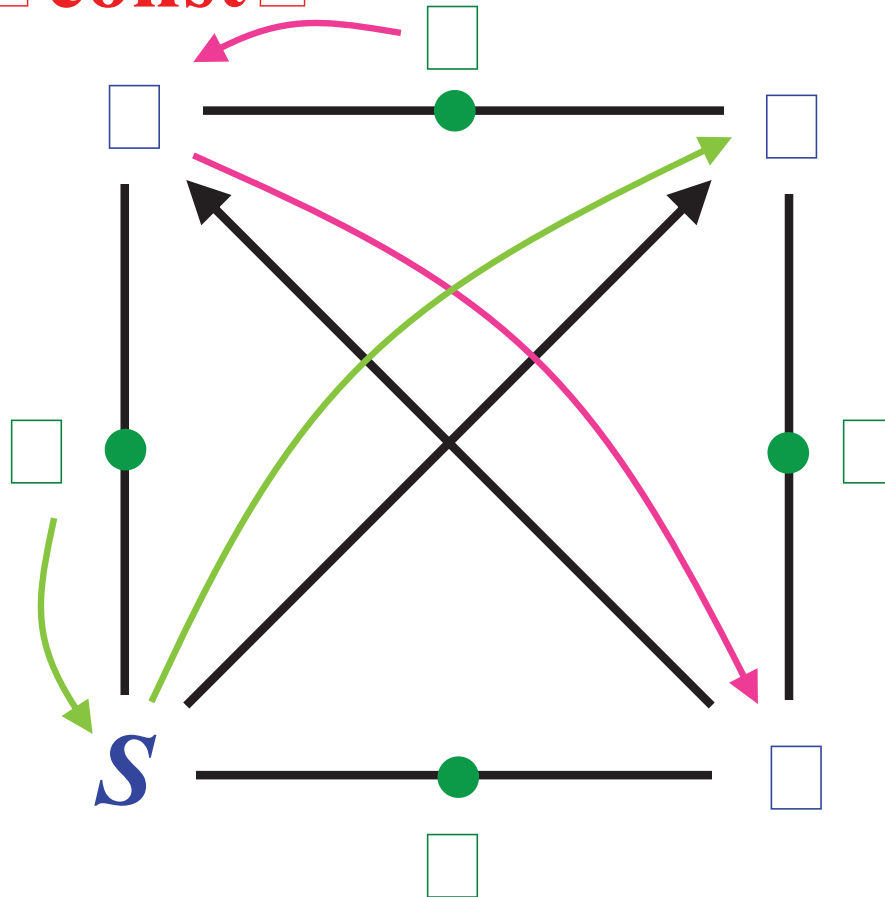
\square angrenzende Eckpunkte: natürliche Variable

\square auf Diagonalen gegenüberliegender Eckpunkt: \square Ableitung des Potentials nach dem angrenzenden Eckpunkt

\square Pfeilrichtung bestimmt Vorzeichen der Ableitung

□ Ableitungen der Potentiale:

□ □ **const** □



□ eis □ iel □ □:

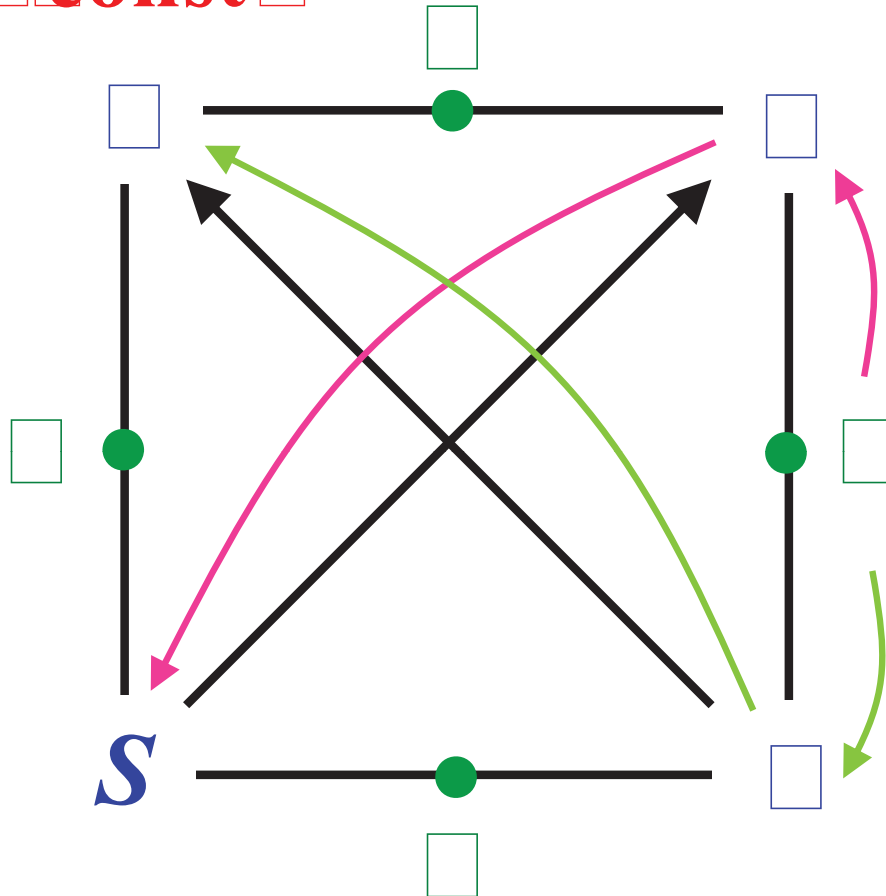
$$\left. \frac{\partial F}{\partial V} \right|_{T,N} = -p$$

□ eis □ iel □ □:

$$\left. \frac{\partial E}{\partial S} \right|_{V,N} = T$$

□ Beziehungen zwischen den Ecken → □ Maxwell Relationen

□ □ **const** □



erster □ Schritt:

$$\underline{\frac{\partial \square}{\partial p} \Big|_{T,N} = V}; \quad \underline{\frac{\partial \square}{\partial T} \Big|_{p,N} = -S}$$

□ weiter □ Schritt:

$$\boxed{\frac{\partial S}{\partial p} \Big|_{T,N}} = - \frac{\partial}{\partial p} \Big|_{T,N} \frac{\partial \square}{\partial T} \\ = - \frac{\partial}{\partial T} \Big|_{p,N} \frac{\partial \square}{\partial p} = \boxed{- \frac{\partial V}{\partial T} \Big|_{p,N}}$$

Vorzeichen: horizontal → - ; vertikal → □

Thermodynamische Response-Funktionen:

zweite Ableitungen der thermodynamischen Potentiale

spezifische Wärme (thermischer Response)

bei konstantem Volumen (isochor): $c_V = \frac{\partial E}{\partial T} \Big|_{V,N} = T \frac{\partial S}{\partial T} \Big|_{V,N} = -T \frac{\partial^2 F}{\partial T^2} \Big|_{V,N}$

bei konstantem Druck (isobar): $c_p = \frac{\partial H}{\partial T} \Big|_{p,N} = T \frac{\partial S}{\partial T} \Big|_{p,N} = -T \frac{\partial^2 G}{\partial T^2} \Big|_{p,N}$

Kompressibilität (mechanischer Response)

isotherm: $\kappa_T = -\frac{1}{V} \frac{\partial V}{\partial p} \Big|_{T,N} = -\frac{1}{V} \frac{\partial^2 G}{\partial p^2} \Big|_{T,N} > 0$

adiabatisch: $\kappa_S = -\frac{1}{V} \frac{\partial V}{\partial p} \Big|_{S,N} = -\frac{1}{V} \frac{\partial^2 E}{\partial p^2} \Big|_{S,N}$

isobarer Ausdehnungskoeffizient $\alpha_p = \frac{1}{V} \frac{\partial V}{\partial T} \Big|_{p,N} = \frac{1}{V} \frac{\partial^2 G}{\partial T \partial p} \Big|_N$

isochorer Drucksinkkoeffizient $\beta_V = \frac{1}{p} \frac{\partial p}{\partial T} \Big|_{V,N} = -\frac{1}{p} \frac{\partial^2 F}{\partial T \partial V} \Big|_N$

□ Beispiel:

$$\text{ideales Gas: } E = \frac{f}{2} N \square_\square T \Rightarrow \square_V(T) = \frac{f}{2} N \square_\square = \text{const.}$$

$$\text{aber: } \lim_{T \rightarrow \square} \square_V = \square$$

→ □ odell des klassischen idealen Gases für $T \rightarrow \square$ falsch □

$$\square(S, p, N) = E + pV; \quad pV = N \square_\square T$$

$$\Rightarrow \square_p = \frac{\partial \square}{\partial T} = \frac{\partial E}{\partial T} + \frac{\partial(pV)}{\partial T} = \square_V + N \square_\square = \frac{f}{2} N \square_\square = \text{const.}$$

$$\square \square_p \quad \square \square_V:$$

$$\text{Verwendung der Jakobideterminante: } \frac{\partial(\square, \square)}{\partial(\square, \square)} = \begin{vmatrix} \frac{\partial \square}{\partial \square_\square} & \frac{\partial \square}{\partial \square_\square} \\ \frac{\partial \square}{\partial \square_\square} & \frac{\partial \square}{\partial \square_\square} \end{vmatrix}$$

$$\Rightarrow \square_V = T \frac{\partial S}{\partial T} \Big|_{V, N} = T \frac{\partial(S, V)}{\partial(T, V)} \cdot \frac{\partial(T, p)}{\partial(T, p)}$$

$$\Rightarrow C_V = T \frac{\partial(S, V)}{\partial(T, p)} \cdot \frac{\partial p}{\partial V} \Big|_T = T \left[\underbrace{\frac{\partial S}{\partial T} \Big|_p}_{\frac{C_p}{T}} \underbrace{\frac{\partial V}{\partial p} \Big|_T}_{-V\kappa_T} - \underbrace{\frac{\partial S}{\partial p} \Big|_T \frac{\partial V}{\partial T} \Big|_p}_{\left(\frac{\partial V}{\partial T} \Big|_p\right)^2} \right] \cdot \frac{-1}{V\kappa_T}$$

$$\left(\frac{\partial V}{\partial T} \Big|_p\right)^2 = V^2 \alpha^2$$

$$\Rightarrow C_V = C_p - \frac{TV\alpha^2}{\kappa_T} \Rightarrow C_p - C_V = \frac{TV\alpha^2}{\kappa_T} > 0$$

- Verbindung von κ_T mit der Größe der Teilchenfluktuationen

$T = \text{const.}$

$$\frac{\partial N}{\partial \mu} \Big|_V = \frac{\partial N}{\partial p} \Big|_V \frac{\partial p}{\partial \mu} \Big|_V = - \frac{\partial V}{\partial p} \Big|_N \frac{\partial p}{\partial \mu} \Big|_N \frac{\partial p}{\partial \mu} \Big|_V = \beta(\Delta N)^2$$

$$\left. \begin{aligned} V &= \frac{\partial G}{\partial p} \Big|_N = N \frac{\partial \mu}{\partial p} \Big|_N \\ N &= - \frac{\partial J}{\partial \mu} \Big|_V = V \frac{\partial p}{\partial \mu} \Big|_V \end{aligned} \right\}$$

$$\Rightarrow \left(\frac{\Delta N}{N} \right)^2 = \frac{k_B T \kappa_T}{V} \sim \frac{1}{N}$$

□ □ □ □ **s** **sc** □ □ □ □ □ **s** **n** □ □ □ □ □ □

□ □ □ □ **s** □ □ □ □ □ □ □ □ **t** **on** □ $-S \square T + V \square p - N \square \mu = 0$

→ für einkomponentiges, einphasiges □ □ stem gilt

für die □ n □ ahl der □ reiheitsgrade **$F = \square \square$**

(□ ahl der unabh □ ngigen intensiven Variablen, □ b. (T, p))

freie □ nthalpie: $G(T, p, N) = N \mu(T, p)$

□ rweiterung der □ ahl der □ reiheitsgrade: verschiedene □ omponenten

$$N = \sum_{\square=1}^{\square} N_{\square}; \quad x_{\square} = \frac{N_{\square}}{N}$$

$$G(T, p, \underbrace{x_1, x_2, \dots, x_{\square}}_{\substack{\text{□ □ □ us □ t □ liche □ reiheitsgrade} \\ \text{wegen } \sum_{\square=1}^{\square} x_{\square} = 1}}, N) = N \sum_{\square=1}^{\square} x_{\square} \mu_{\square}(T, p)$$

□ □ □ us □ t □ liche □ reiheitsgrade wegen $\sum_{\square=1}^{\square} x_{\square} = 1$

$$\Rightarrow \square = 2 + \square - 1$$

Einschränkung der Zahl der Freiheitsgrade bei mehreren Phasen φ

$$\mu_{\varphi} \rightarrow \mu_{\varphi}^i \quad (i = 1, \dots, \varphi)$$

chemisches Gleichgewicht zwischen Phasen:

$$\mu_{\varphi}^1 = \mu_{\varphi}^2 = \dots = \mu_{\varphi}^{\varphi}$$

→ ($\varphi - 1$) Bestimmungsgleichungen

$$\Rightarrow \varphi = 2 + (\varphi - 1) - (\varphi - 1)$$

$$\Rightarrow \varphi = 2 + \varphi - \varphi$$

Phasenscenen

Stabilität und Phasenübergänge

- Klassifikation von Phasenübergängen

Ehrenfest: Analyse der mathematischen Struktur von thermodynamischen Potentialen

Potentiale müssen aus Stabilitätsgründen stetig sein, ihre Ableitungen müssen diese Bedingung aber nicht erfüllen; Ordnung des Phasenüberganges bestimmt durch die jeweils erste unstetige Ableitung des Potentials (üblicherweise G) an der Stelle des kritischen Punktes (T_c, p_c)

freie Enthalpie $G(T_c, p_c, \dots)$

↖
at aller anderen möglichen Variablen

ableitung nach beliebiger Variable am kritischen Punkt (T_c, p_c) :

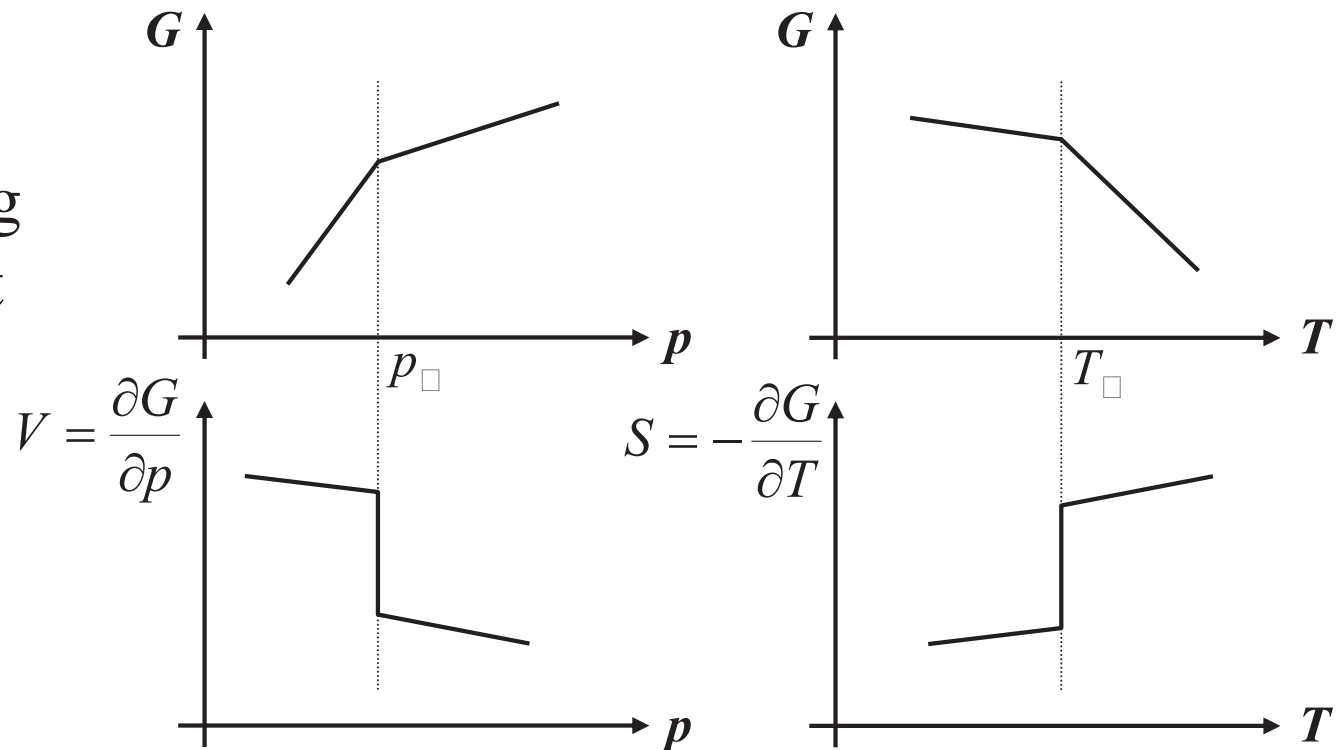
$\frac{\partial^1}{\partial x^1} G|_{T_c, p_c}$ unstetig \Leftrightarrow Phasenübergang erster Ordnung

$\frac{\partial^2}{\partial x^2} G|_{T_c, p_c}$ unstetig \Leftrightarrow Phasenübergang zweiter Ordnung

$\frac{\partial^3}{\partial x^3} G|_{T_c, p_c}$ unstetig \Leftrightarrow Phasenübergang dritter Ordnung

Phasenübergang

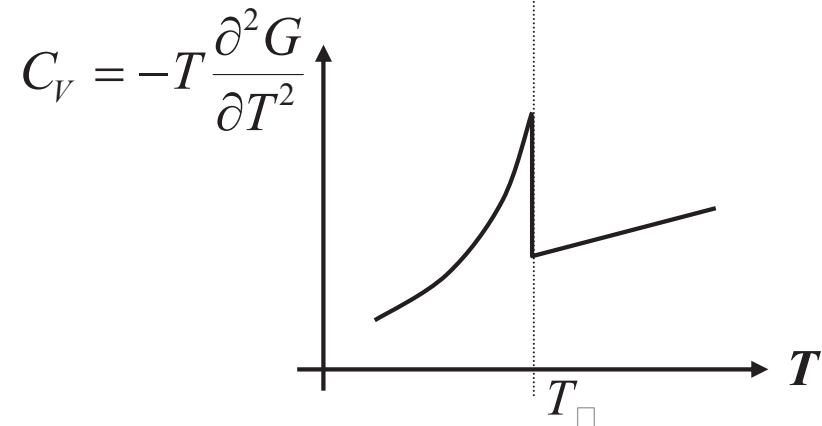
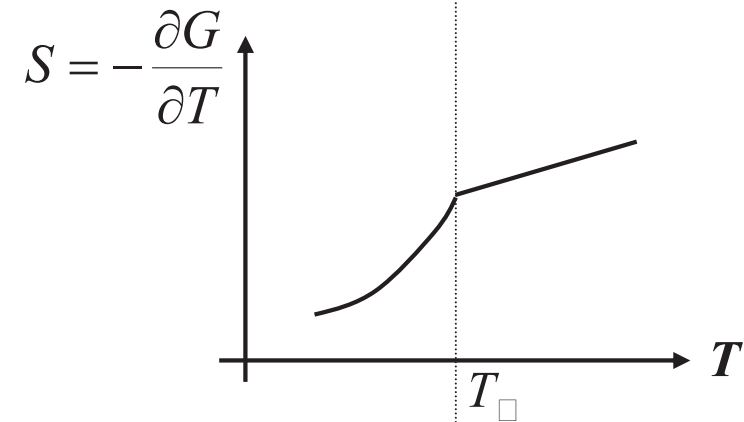
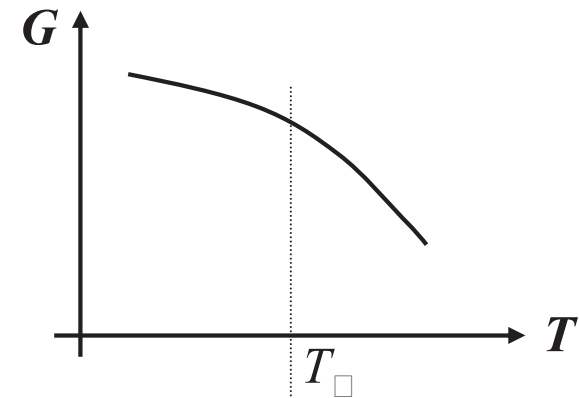
Beispiel: Übergang
Gas \leftrightarrow Flüssigkeit



□.□□ □□**n**□**n**□□

Beispiele:

- □bergang in die supraflüssige □hase
- □bergang paramagnetisch ↔ ferromagnetisch



andere Möglichkeiten der Klassifizierung:

- Symmetriebrechung: z.B. $\text{isotrop} \leftrightarrow \text{anisotrop}$

isotrop, homogen

Kristallgitter \rightarrow geringerer
Grad der Symmetrie

Klassifizierung nach der Art der gebrochenen Symmetrie

- nach dem Grad der Ordnung:

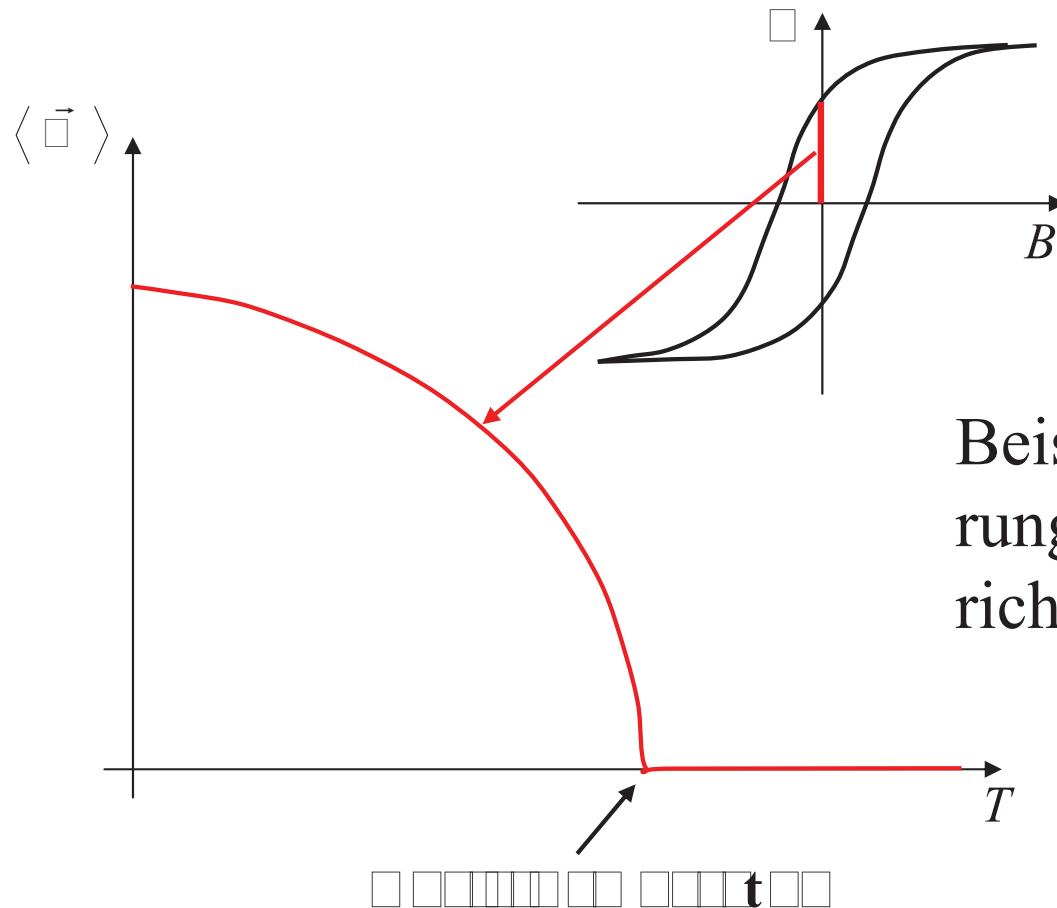
meist herrscht im System mit geringerer Temperatur ein
höherer Grad der Ordnung \rightarrow Klassifikation durch einen
Ordnungsparameter η

Beispiele: $\eta = \rho_{\text{fest}} - \rho_{\text{flüssig}}$ Flüssigkeit \leftrightarrow Festkörper

$\vec{\eta} = \vec{M}$ Ferromagnetismus

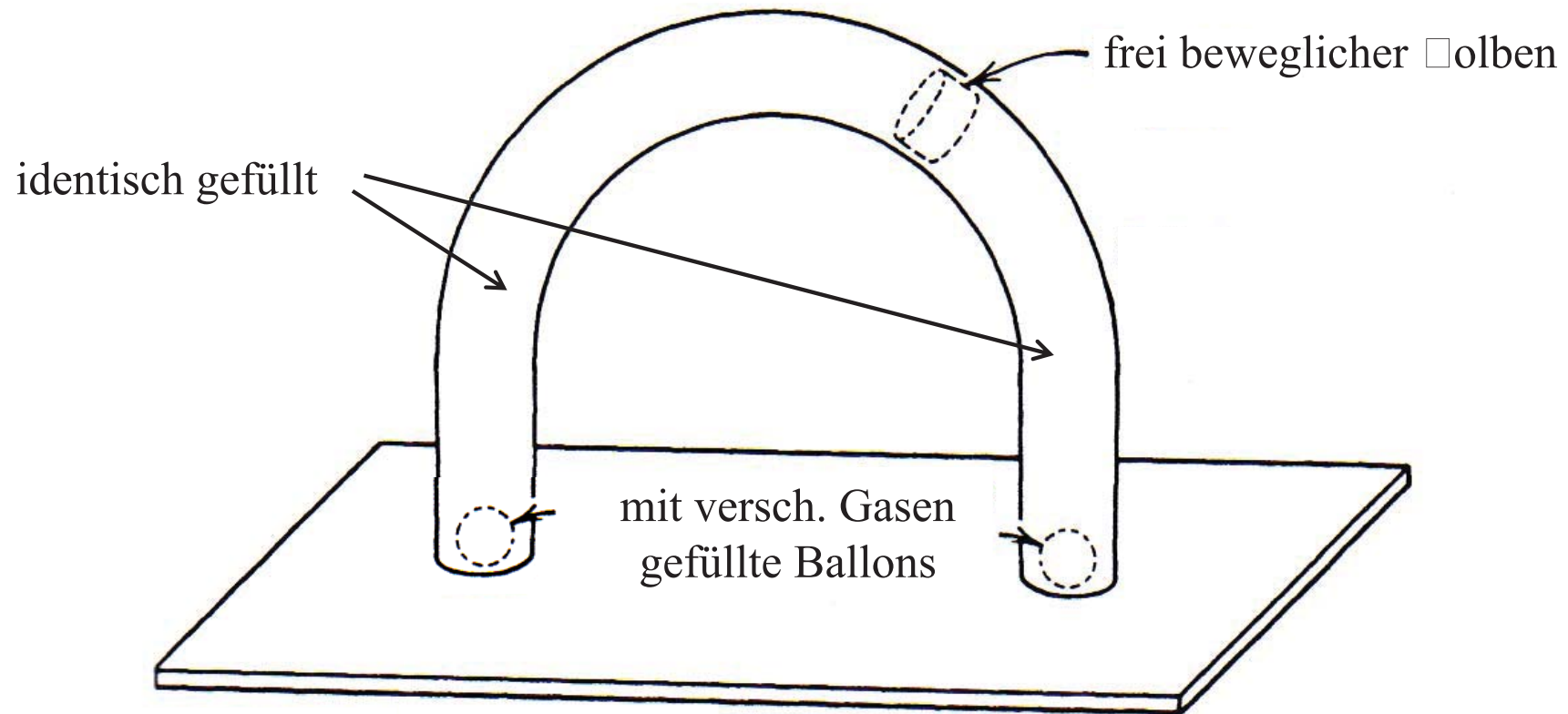
$\eta = n_0 = N_0 \lambda^3$ Bose-Einstein-Kondensation

- η ändert sich an T_c abrupt von 0 auf den Maximalwert:
→ diskontinuierlicher Übergang (meist 1. Ordnung)
- η fällt mit wachsendem T von Maximalwert auf Null bei T_c ab:
→ kontinuierlicher Übergang (meist 2. Ordnung)



Beispiel: spontane Magnetisierung eines Ferromagneten (Ausrichtung magnetischer Dipole)

□ □ □ □ n □ □ n □ □ □ □ □ □ □ □ nt □



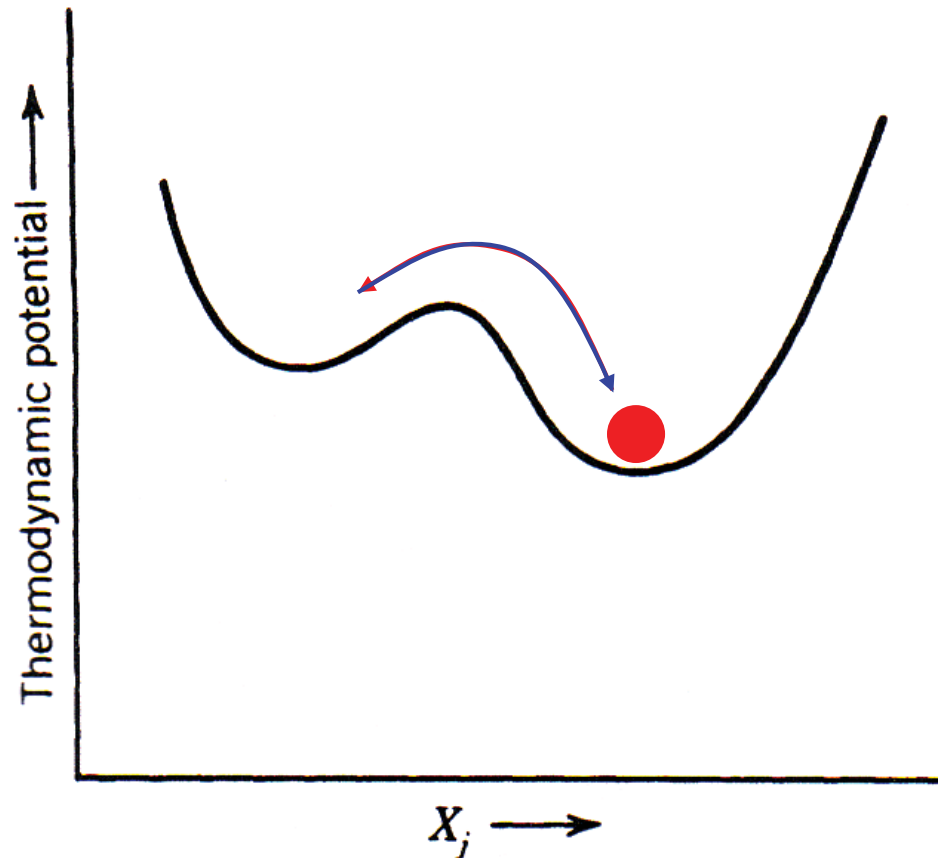
bei Temperatur T_{\square} → beide Ballons gleiches Volumen

$T > T_{\square}$ → linker Ballon größer

$T < T_{\square}$ → rechter Ballon größer

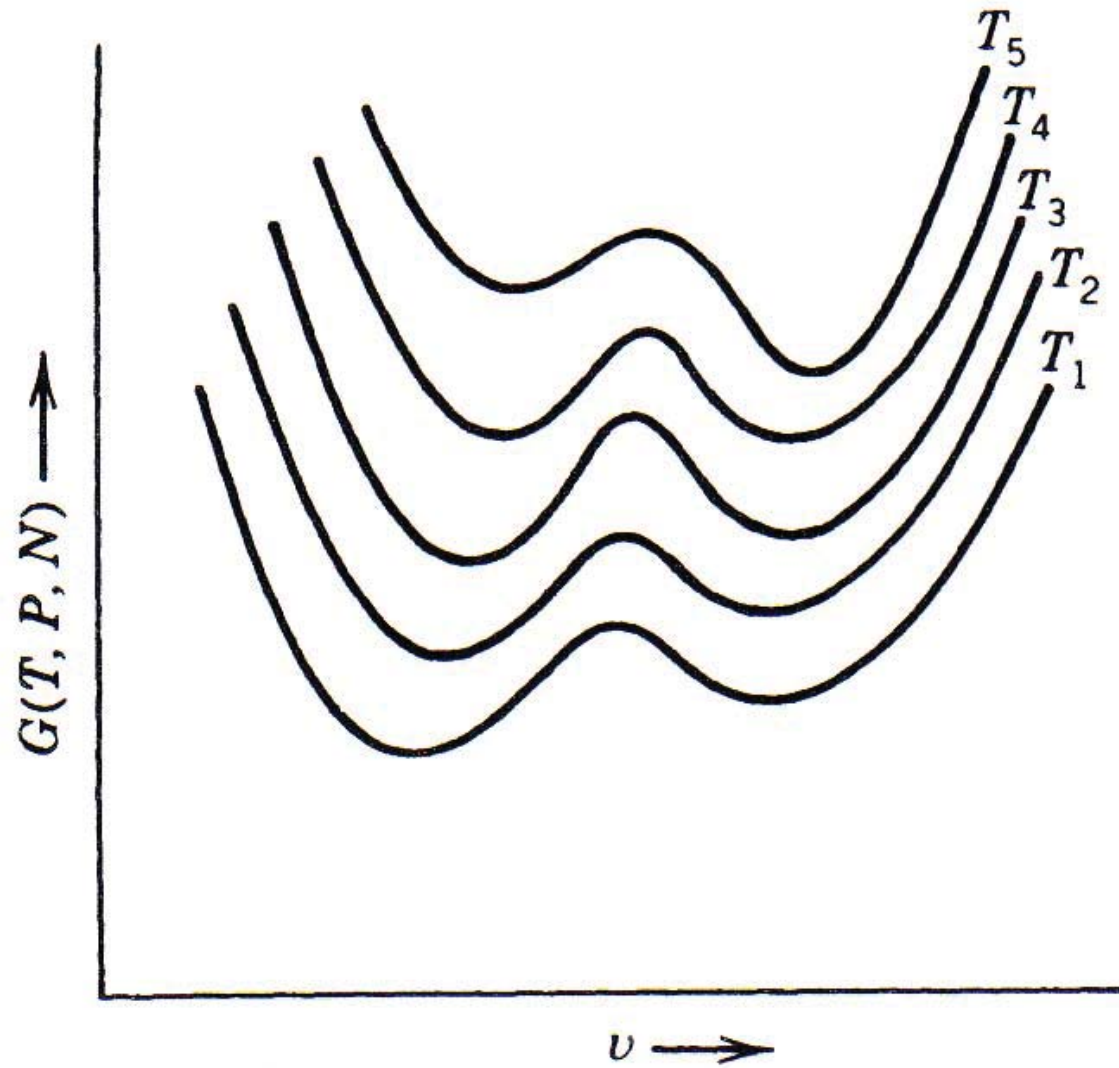
Chemical Equilibrium

Globen befindet sich vorwiegend auf Seite mit kleinerem Ballon; Fluktuationen können zu Seitenwechsel führen

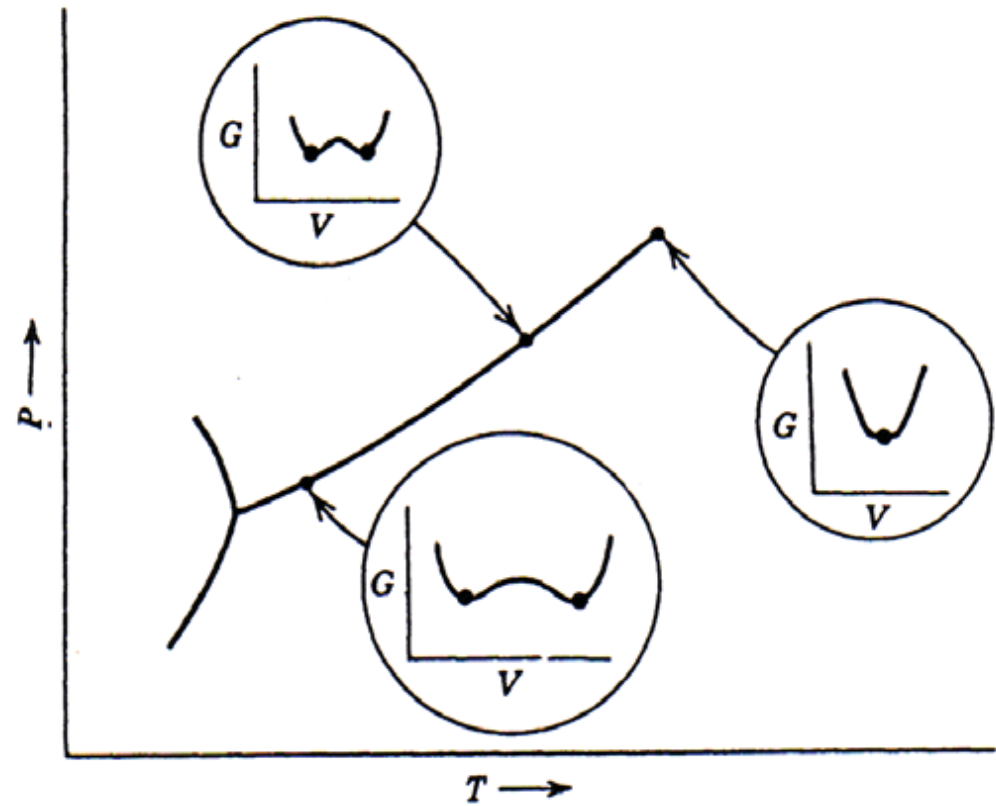
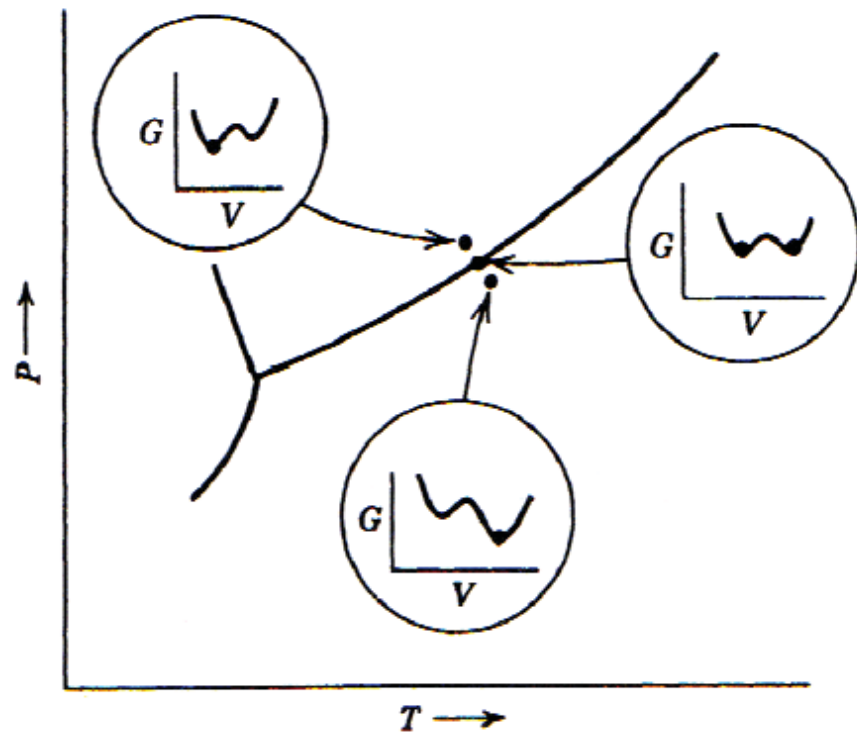


große Fluktuationen
wesentlich unwahrscheinlicher \rightarrow
System meistens im
absoluten Minimum

□ □ □ **s** □ **n** □ □ □ □ □ □ **n** □



Not nt \leftrightarrow s n



Ginzburg-Landau-Theorie

Beschreibung des analytischen Verhaltens des thermodynamischen Potentials als Funktion des Ordnungsparameters in der Umgebung der kritischen Temperatur T_c in der Phase mit geringerem Grad der Symmetrie

$$G(T, p, f) = G_0(T, p) + \alpha_2(T, p)\eta^2 + \alpha_3(T, p)\eta^3 + \alpha_4(T, p)\eta^4 + \dots - f\eta$$

f : verallgemeinerte Kraft (intensiv)
zum Ordnungsparameter η (extensiv)

enthält alle Anteile von G , die vom Phasenübergang nichts beeinflußt werden
Beispiel: alle nichtmagnetischen Anteile von G beim Übergang paramagnetisch \leftrightarrow ferromagnetisch $\eta \leftrightarrow \vec{M}; f \leftrightarrow \vec{B}$

- η bestimmt durch □ Minimierung von G
- G muß ein Skalar sein
- in G auftretende Terme festgelegt durch Symmetrie □
eigenschaften des Systems

Beispiel: magnetischer Übergang

$$\eta = \vec{M} \rightarrow \text{keine ungeraden Potenzen von } \eta$$

$$G(T, p, \vec{B}) = G_0(T, p) + \alpha_2(T, p)(\vec{M} \cdot \vec{M}) + \alpha_4(T, p)(\vec{M} \cdot \vec{M})^2 + \dots - \vec{B} \vec{M}$$

□ □ kontinuierliche □ berg □ nge □

- linearer Term (z.B. durch externes B -Feld): sorgt im gesamten Temperaturbereich für □ erte $\eta \neq 0$, kein scharfer Übergang beobachtbar → vorerst Betrachtung des feldfreien Falls ($f \square 0$)

$\alpha_3 \neq 0$ (Inversionssymmetrie)

$\alpha_4 \neq 0$ (Stabilität)

$$\alpha_4(p, T) = \alpha_4(p, T_c) = \alpha_4(p) > 0$$

$\alpha_2(T_c) \neq 0$:

$$\text{Minimum von } G: \quad \Rightarrow \quad \frac{\partial G}{\partial \eta} = 2\alpha_2\eta + 4\alpha_4\eta^3 + \dots = 0$$

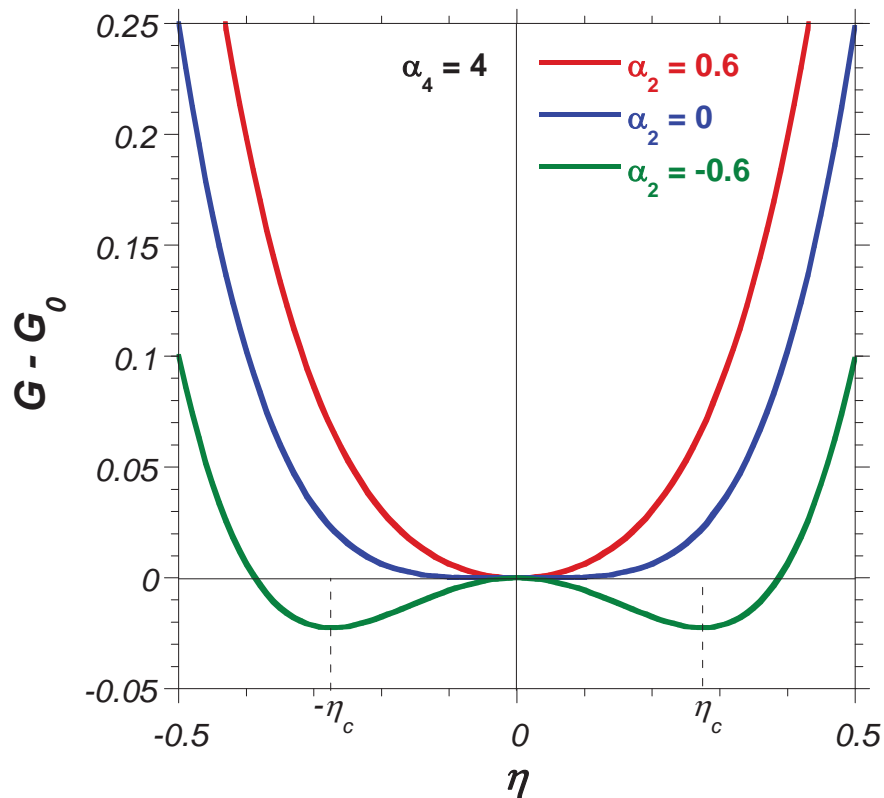
$$\frac{\partial^2 G}{\partial \eta^2} = 2\alpha_2 + 12\alpha_4\eta^2 + \dots \geq 0$$

$$\left. \begin{array}{l} T < T_c \rightarrow \eta \neq 0 \rightarrow \alpha_2 \geq 0 \\ T < T_c \rightarrow \eta \neq 0 \rightarrow \alpha_2 < 0 \end{array} \right\} \rightarrow \alpha_2(T_c) \neq 0$$

$$\text{Ansatz: } \alpha_2 \neq \alpha(p) \times (T - T_c); \quad \alpha(p) \neq 0$$

→ zu untersuchende Funktion (höhere Potenzen von η vernachlässigt)

$$G(T, p) = G_0(T, p) + \alpha_2(p)(T - T_c)\eta^2 + \alpha_4(p)\eta^4$$



$$\frac{\partial G}{\partial \eta} = 2\alpha_2\eta + 4\alpha_4\eta^3 = 0$$

→ drei Lösungen:

$$\eta^* = 0; \quad \eta_c^{2,3} = \pm \sqrt{\frac{\alpha_2(p)(T_c - T)}{2\alpha_4(p)}}$$

$T < T_c$: nur Lösung $\eta = 0$

$$G(T, p, \eta) = G_0(T, p)$$

$T > T_c$: nur positive Lösung akzeptabel

$$G(T, p, \eta) = G_0(T, p) - \frac{\alpha_2^2 (T_c - T)^2}{4\alpha_4}$$

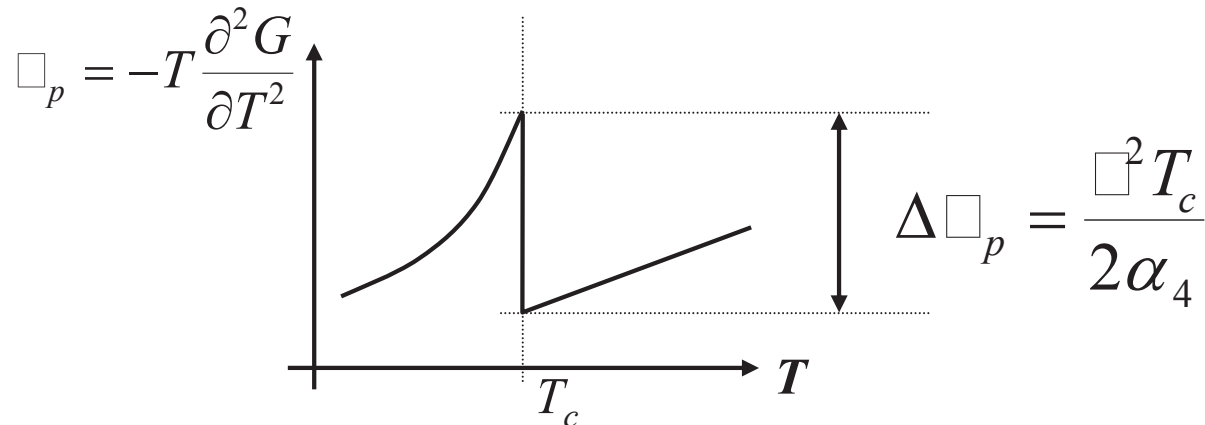
Verhalten thermodynamischer Größen nahe T_c :

Entropie stetig bei T_c :

$$S = -\frac{\partial G}{\partial T} = \begin{cases} S_0 & T > T_c \\ S_0 - \frac{S^2(T_c - T)}{2\alpha_4} & T \leq T_c \end{cases}$$

Wärmekapazität (2. Ableitung) unstetig bei T_c :

$$C_p = T \frac{\partial S}{\partial T} \bigg|_p = -T \frac{\partial^2 G}{\partial T^2} \bigg|_p = \begin{cases} C_{p0} & T > T_c \\ C_{p0} + \frac{S^2 T}{2\alpha_4} & T \leq T_c \end{cases}$$



externes Feld zugelassen \rightarrow Berechnung von Suszeptibilitäten

$$G(T, p, f) = G_0(T, p) + \square(p)(T - T_c)\eta^2 + \alpha_4(p)\eta^4 + \dots - f\eta$$

$\rightarrow \eta$ ist für alle Temperaturen ungleich null \rightarrow äusseres Feld verursacht Symmetriebrechung (Beispiel: \square agnetfeld sorgt für

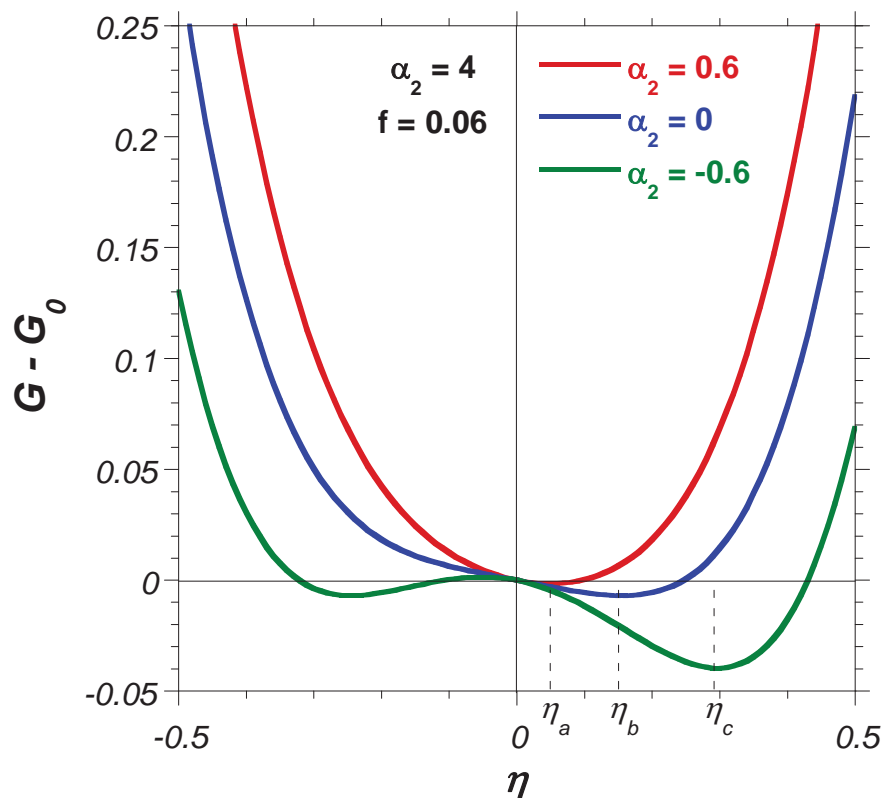
Ausrichtung der magnetischen \square ipole \rightarrow \square otropie der Phase oberhalb T_{\square} urie zerst \square rt)

Gleichgewicht für

$$\frac{\partial G}{\partial \eta} = 2\square(T - T_c)\eta + 4\alpha_4\eta^3 - f = 0$$

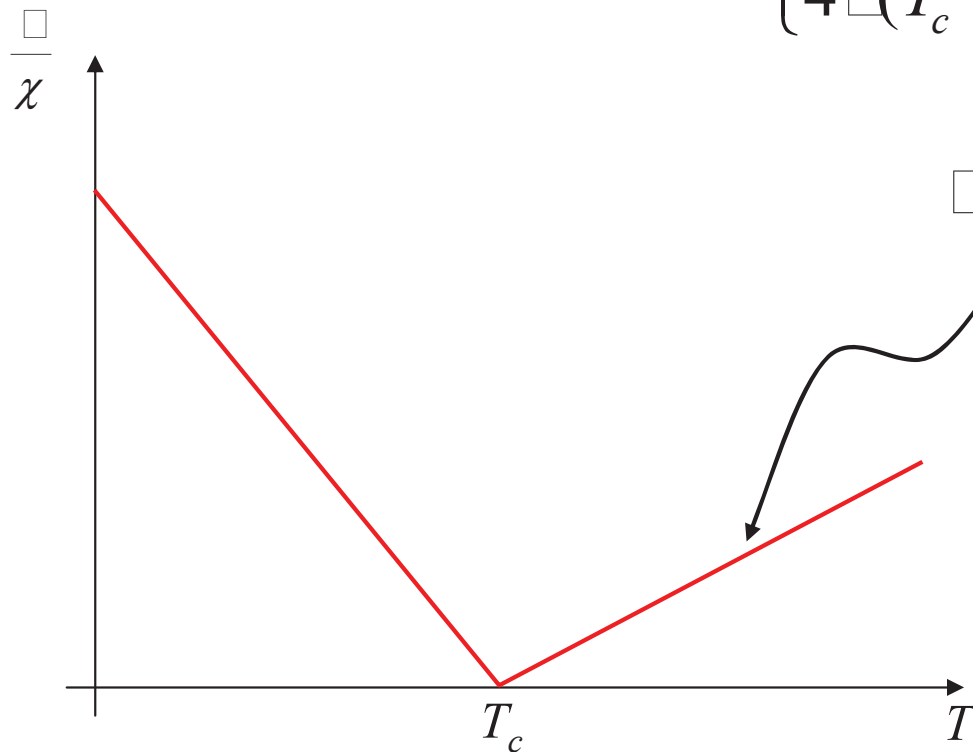
$$\chi(f) := \left. \frac{\partial \eta}{\partial f} \right|_{T,p} = - \left. \frac{\partial^2 G}{\partial f^2} \right|_{T,p}$$

$$\Rightarrow \chi(f) = \frac{\square}{2\square(T - T_c) + \square 2\alpha_4\eta^2}$$



Grenzfall $f \rightarrow 0$: $\eta = \begin{cases} 0 & T > T_c \\ \sqrt{-\alpha_2 - 2\alpha_4} & T < T_c \end{cases}$

$\Rightarrow \lim_{f \rightarrow 0} \chi(f) = \begin{cases} \frac{\rho}{2(T - T_c)} & T > T_c \\ \frac{\rho}{4(T_c - T)} & T < T_c \end{cases}$



Curie-Gesetz: $\chi \propto \frac{\rho}{T}$

Divergenz von χ direkte Folge des sehr flachen Minimums von G an T_c

Kritische Exponenten

Verhalten verschiedener thermodynamischer Größen in der Nähe des Phasenüberganges läßt sich durch kritische Exponenten charakterisieren

Entwicklung der Größe nach Entwicklungsparameter

$$\varepsilon = \frac{T - T_c}{T_c}$$

Entwicklung der Funktion nach ε :

$$\varphi(\varepsilon) = \varphi \varepsilon^\lambda$$

kritischer Exponent λ definiert durch

$$\lambda = \lim_{\varepsilon \rightarrow 0} \frac{\ln \varphi(\varepsilon)}{\ln \varepsilon}$$

Ginzburg-Landau (GL) Theorie erlaubt einfache Abschätzung der kritischen Exponenten

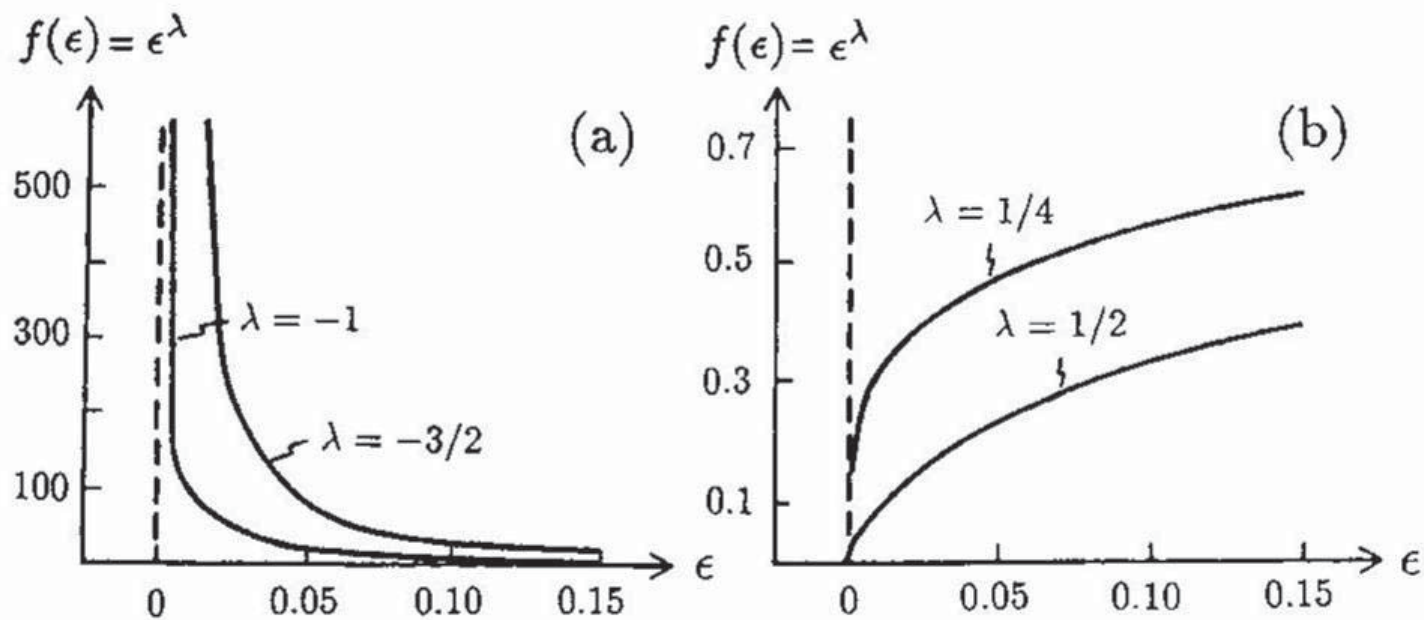


Fig. 3.25. Plots of $f(\epsilon) = \epsilon^\lambda$ for cases when $\lambda \neq 0$ (a) Plots for $\lambda = -1$ and $\lambda = -\frac{3}{2}$. (b) Plots for $\lambda = \frac{1}{4}$ and $\lambda = \frac{1}{2}$.

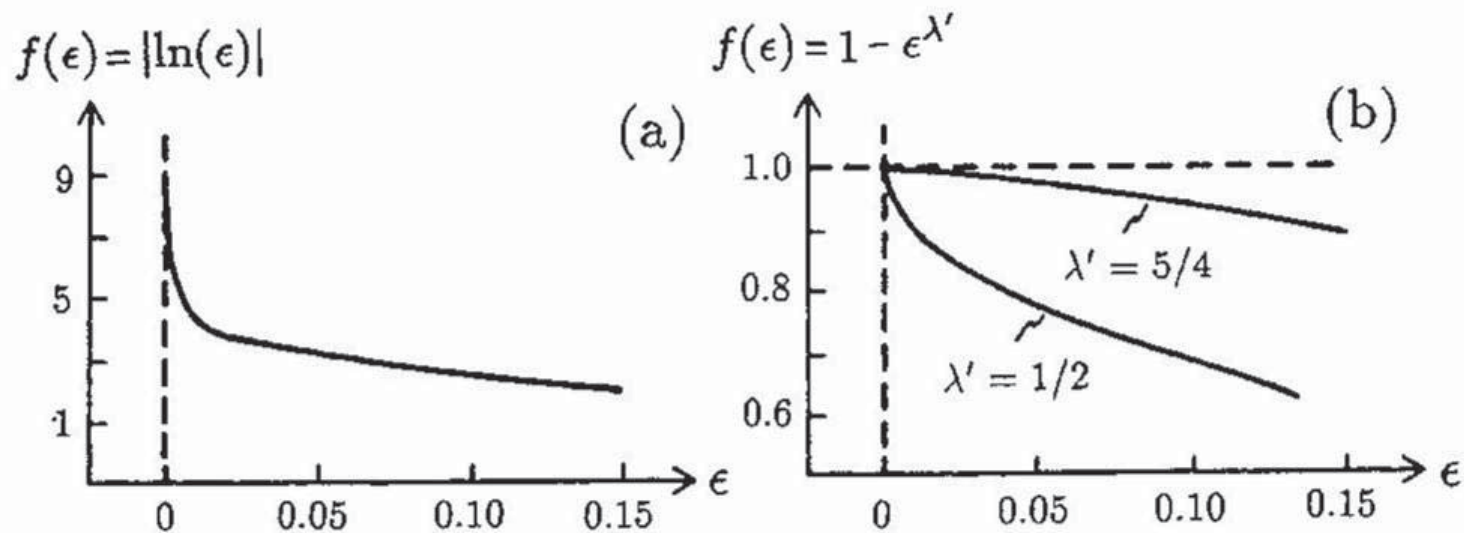


Fig. 3.26. Plots of $f(\epsilon) = \epsilon^\lambda$ for cases when $\lambda = 0$, (a) Plot of $f(\epsilon) = |\ln(\epsilon)|$. (b) Plot of $f(\epsilon) = 1 - e^{\lambda'}$.

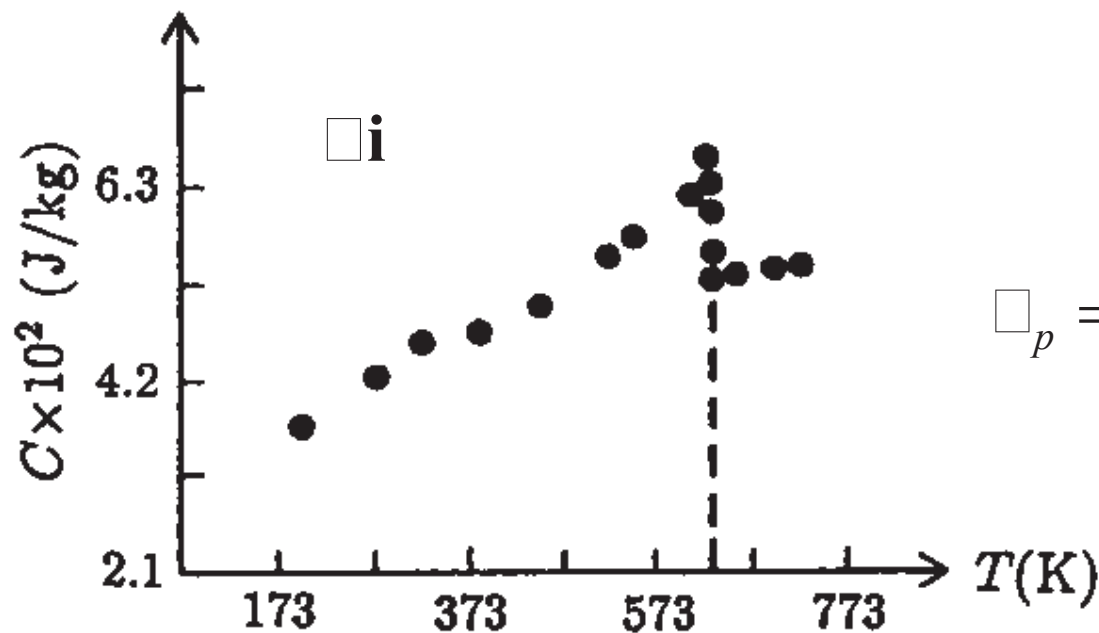
Thermodynamische Größen und ihre kritischen Exponenten für kontinuierliche Phasenübergänge (Übergänge zweiter Ordnung; Beispiel: Übergang paramagnetisch \leftrightarrow ferromagnetisch):

spezifische Wärme (α Exponent):

$$C_p = C_{p0} (\pm \varepsilon)^{-\alpha}$$

Experiment: $\alpha \approx 0$

Gesamt: $\alpha \approx 0$



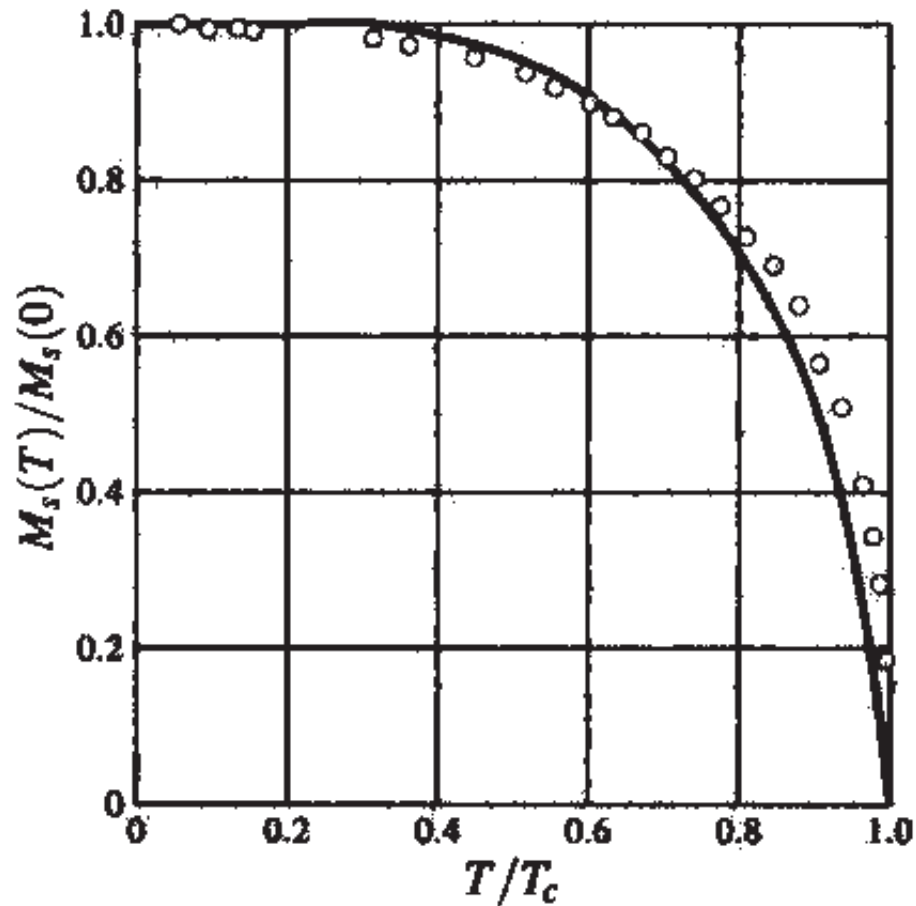
$$C_p = \begin{cases} C_{p0} & T > T_c \\ C_{p0} + \frac{C_p^2 T}{2\alpha_4} & T \leq T_c \end{cases}$$

□Ordnungsparameter (β □□xponent):

$$\eta = \square_{\beta}(-\varepsilon)^{\beta}$$

□xperiment: β □ □3

G□: β □ □2



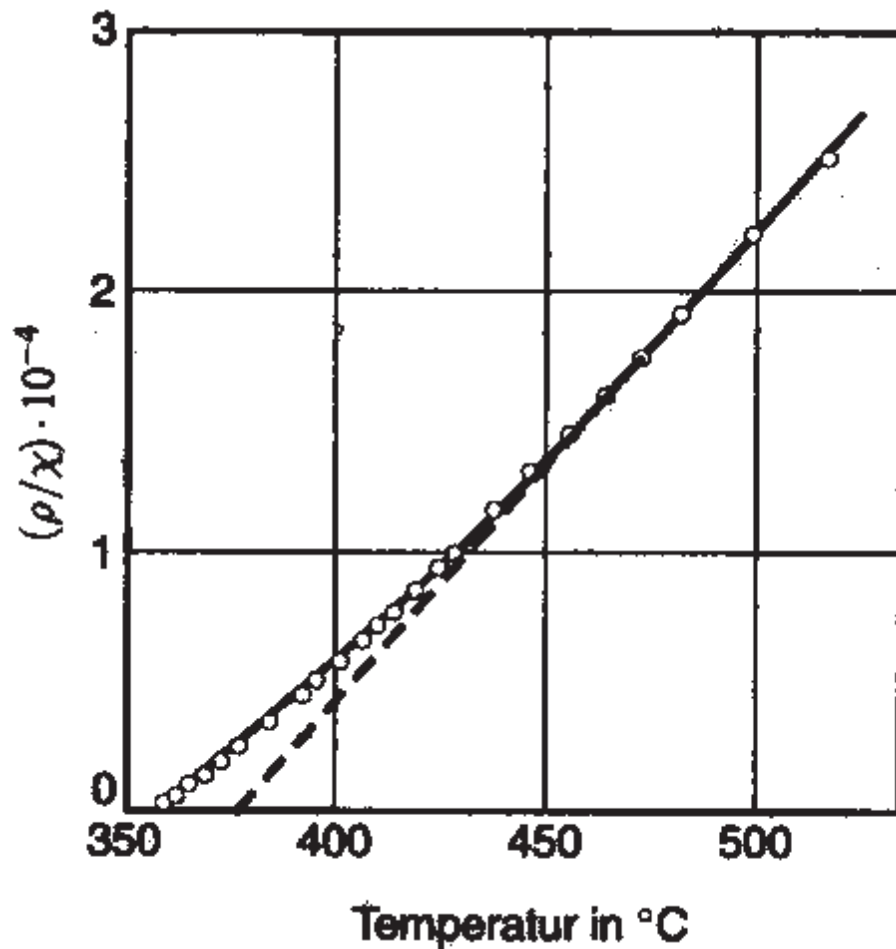
$$\eta_c = \sqrt{\frac{\square(p)}{2\alpha_4(p)}}(T_c - T)^{\square 2}$$

□Suszeptibilität (γ □□xponent):

$$\chi = \chi_\gamma (\pm \varepsilon)^{-\gamma}$$

□xperiment: $\gamma \approx 4/3$

G□: $\gamma \approx \square$



$$\chi(f) = \begin{cases} \frac{1}{2\chi} (T - T_c)^{-\chi} & T > T_c \\ \frac{1}{4\chi} (T_c - T)^{-\chi} & T < T_c \end{cases}$$

□ externes Feld als Funktion von η (δ □ □ xponent):

$$f = \square_{\delta} \eta^{\delta}$$

□ xperiment: $\delta \square 4$ □ □

G□: $\delta \square 3$

$$\frac{\partial G}{\partial \eta} = 2\alpha_2 \eta + 4\alpha_4 \eta^3 - f = 0$$

$$\eta = \eta_0 + \delta\eta(f)$$

Feld sehr klein

$$\left. \begin{array}{l} \lim_{T \rightarrow T_c^+} \alpha_2 = \lim_{T \rightarrow T_c^+} [\square(p) \cdot (T - T_c)] = 0 \\ \lim_{T \rightarrow T_c^+} \eta_0 = 0 \quad (\text{paramagn □ Phase}) \end{array} \right\} \Rightarrow \frac{\partial G}{\partial \eta} = 4\alpha_4 \delta\eta^3 - f = 0$$

am kritischen Punkt gilt: $\eta \square \delta\eta \rightarrow \delta \square 3$

Grund für ungenau vorhergesagte kritische Exponenten:

Fluktuationen

Bei T_c kommt es zu starken Fluktuationen von η , die das Verhalten der thermodynamischen Größen und damit die kritischen Exponenten beeinflussen

Wahrscheinlichkeit für Fluktuation ist abhängig von der Größe der Abweichung ΔG vom Gleichgewichtswert $G(T, p, \langle \eta \rangle)$

$$P(\Delta G) \propto \exp\left[-\frac{\Delta G}{k_B T}\right]$$

$$\eta = \langle \eta \rangle + \Delta \eta \quad \Rightarrow \quad \Delta G = G(\langle \eta \rangle + \Delta \eta) - G(\langle \eta \rangle)$$

$$G(\eta) = G(\langle \eta \rangle) + \underbrace{\left(\frac{\partial G}{\partial \eta}\right)_{\langle \eta \rangle}}_{=0} \Delta \eta + \frac{1}{2} \left(\frac{\partial^2 G}{\partial \eta^2}\right)_{\langle \eta \rangle} \Delta \eta^2 + \dots$$

= 0 (Gleichgewicht)

kleine Abweichungen vom Gleichgewicht

$$\Delta G = \frac{1}{2} \Delta \eta^2 \left(\frac{\partial^2 G}{\partial \eta^2} \right)_{\langle \eta \rangle} = \frac{\Delta \eta^2}{2\chi}$$

wegen $\frac{\partial G}{\partial \eta} = 0 \Rightarrow 2\alpha_2 \eta + 4\alpha_4 \eta^3 = f \quad \left| \frac{\partial}{\partial f} \right.$

$$\Rightarrow \frac{\partial \eta}{\partial f} \frac{\partial^2 G}{\partial \eta^2} = \chi \frac{\partial^2 G}{\partial \eta^2} = 1$$

$$\Rightarrow \exp(-\Delta G)_{T=T_c} = \exp\left[-\frac{\Delta \eta^2}{2\chi_B T_c}\right] \Rightarrow \langle \Delta \eta^2 \rangle_{T=T_c} = \chi_B T_c \propto \frac{1}{T - T_c}$$

Entwicklung $G = G_0 + \alpha_2 \eta^2 + \alpha_4 \eta^4 - f\eta$ nur gültig für kleine räumliche Fluktuationen, sodaß $\eta \approx \langle \eta \rangle$; ist diese Voraussetzung nicht mehr erfüllt \rightarrow Aufnahme von Zusatztermen, die Ableitungen von η nach den Koordinaten enthalten

$\rightarrow G$ wird Volumensintegral über eine Potentialdichte einfachster, nicht verschwindender Term $\propto (\nabla \eta)^2$

$$\Rightarrow G = \int_V dV \left[\frac{1}{2} (\nabla \eta)^2 + \frac{\chi(p)}{2} (T - T_c) \eta^2 + \frac{\alpha_4}{4} \eta^4 - f\eta \right]$$

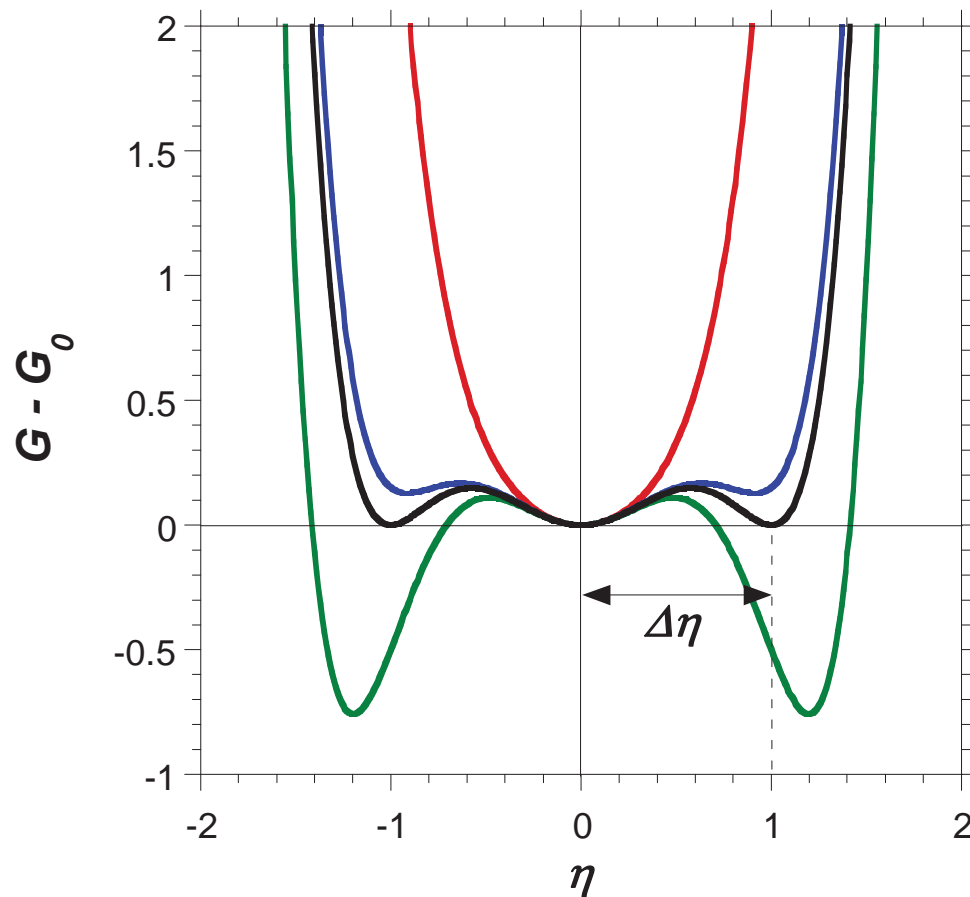
Daraus kann ein Kriterium für den Gültigkeitsbereich der Ginzburg-Landau-Theorie abgeleitet werden (**Ginzburg-Kriterium**):

$$\frac{T_c \chi_c}{\alpha_4} \ll \frac{\alpha_2}{\alpha_4} = \frac{\chi(p) \cdot |T - T_c|}{\alpha_4}$$

χ_c : Korrelationslänge der Fluktuationen (Größenordnung der Abstände, auf denen die Korrelation im wesentlichen abfällt)

diskontinuierliche Phasenübergänge (Phasenübergänge 2. Ordnung)

$$G(T, p, f) = G_0(T, p) + \alpha_2(T, p)\eta^2 + \alpha_4(T, p)\eta^4 + \alpha_6(T, p)\eta^6 + \dots$$



Bedingung: $\alpha_6 > 0$ (Stabilität)

diskontinuität: $\alpha_2(T_c) > 0$

Phasenübergang (Sprung) für

1) $G(\eta \neq 0) - G_0 = 0$

2) $\left. \frac{\partial G}{\partial \eta} \right|_{\eta \neq 0} = 0$

$$G - G_0 = \eta^2 (\alpha_2 + \alpha_4 \eta^2 + \alpha_\square \eta^4) = 0$$

$$\Rightarrow \eta_\square = 0; \quad \eta_{2,3}^2 = \frac{-\alpha_4 \pm \sqrt{\alpha_4^2 - 4\alpha_2\alpha_\square}}{2\alpha_\square}$$

wegen $\sqrt{\alpha_4^2 - 4\alpha_2\alpha_\square} \leq |\alpha_4| \Rightarrow \alpha_4 < 0$

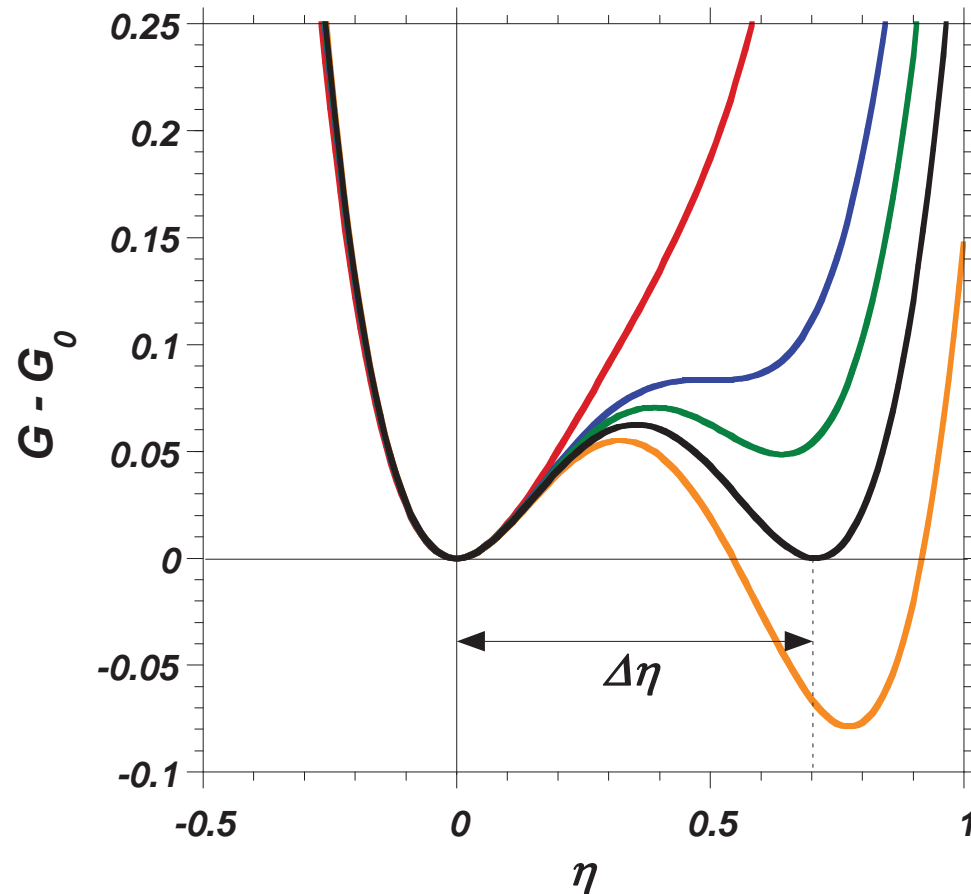
kritische Temperatur für $\sqrt{\dots} = 0$ (doppelt zu zählende Lösung):

$$\Rightarrow \eta_c^2 = \Delta\eta^2 = \frac{|\alpha_4|}{2\alpha_\square} = \sqrt{\frac{\alpha_2}{\alpha_\square}} = \sqrt{\frac{\square(p) \cdot (T_c - T_0)}{\alpha_\square}}$$

T_0 : Temperatur aus Entwicklung von α_2 (muß nicht kritische Temperatur eines Phasenüberganges zweiter Ordnung sein)

diskontinuierliche Phasenübergänge $\alpha_3 \neq 0$

$$G(T, p, f) = G_0(T, p) + \alpha_2(T, p)\eta^2 + \alpha_3(T, p)\eta^3 + \alpha_4(T, p)\eta^4 + \dots$$



Nullstellen der Ableitung für

$$\eta_0 = 0$$

$$\eta_{2,3} = \frac{-3\alpha_3 \pm \sqrt{9\alpha_3^2 - 32\alpha_2\alpha_4}}{4\alpha_4}$$

T_c erreicht für $G - G_0 = 0$:

$$\alpha_2 = \frac{\alpha_3^2}{4\alpha_4} > 0 \Rightarrow \alpha_3 < 0$$

$$\Rightarrow \eta_c = -\frac{\alpha_3}{2\alpha_4} = \sqrt{\frac{\alpha_2}{\alpha_4}}$$

$$\alpha_3^2 - 4\alpha_4(p)\alpha_4(T_c - T_0) = 0 \Rightarrow T_c = T_0 + \frac{\alpha_3^2}{4\alpha_4(p)\alpha_4}$$

Statistische Mechanik

- mikroskopische Erklärung der phänomenologischen Thermodynamik
- insbesondere soll der Entropie ein Wert zugeordnet werden

Postulate

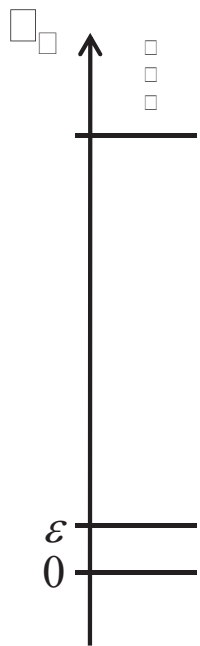
- Bestimmung der Zustände, die System zugänglich sind
- Annahme, dass System rasch von Zustand zu Zustand springt und alle möglichen Zustände gleich oft eingenommen werden \rightarrow Maximum der Anzahl an mit Randbedingungen kompatiblen Zuständen \rightarrow Identifikation mit Entropie
- zwei verbundene Systeme \rightarrow Anzahl der Zustände Produkt

$$\Omega_{\text{gesamt}} = \Omega_1 \times \Omega_2 \rightarrow \boxed{S \propto \ln \Omega}$$

wegen Extensivität der Entropie

zwei Zustands System

Atome mit 2 eng benachbarten Zuständen, andere Niveaus weit entfernt \rightarrow Atome tragen entweder 0 (Grundzustand) oder ε zur Gesamtenergie bei

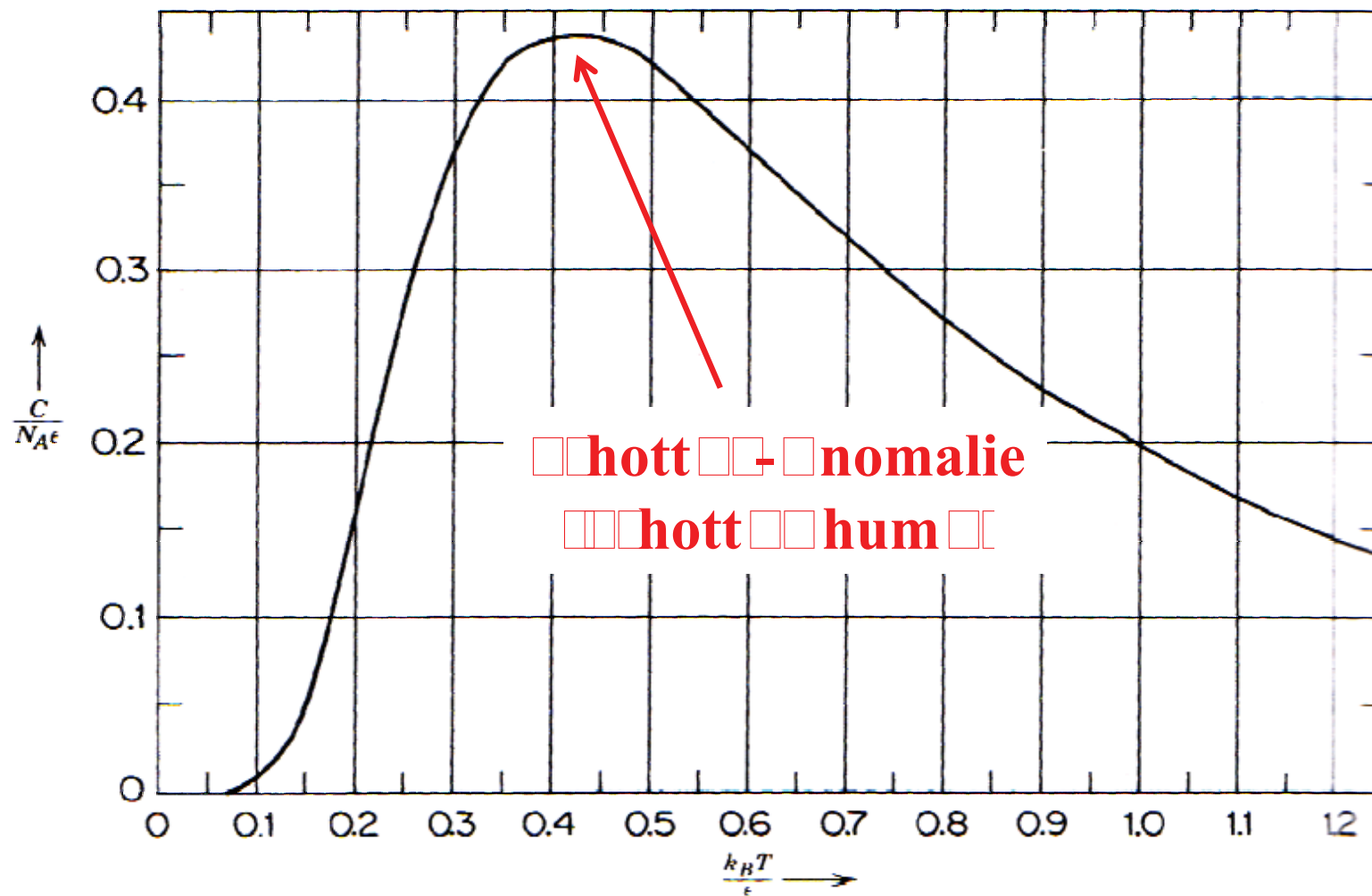


$$E = N\varepsilon \rightarrow \Omega = \frac{N!}{n!(N-n)!}$$

$$\rightarrow F \approx N_B \left\{ (N-n) \ln \left[\frac{N-n}{N} \right] - n \ln \left[\frac{n}{N} \right] \right\}$$

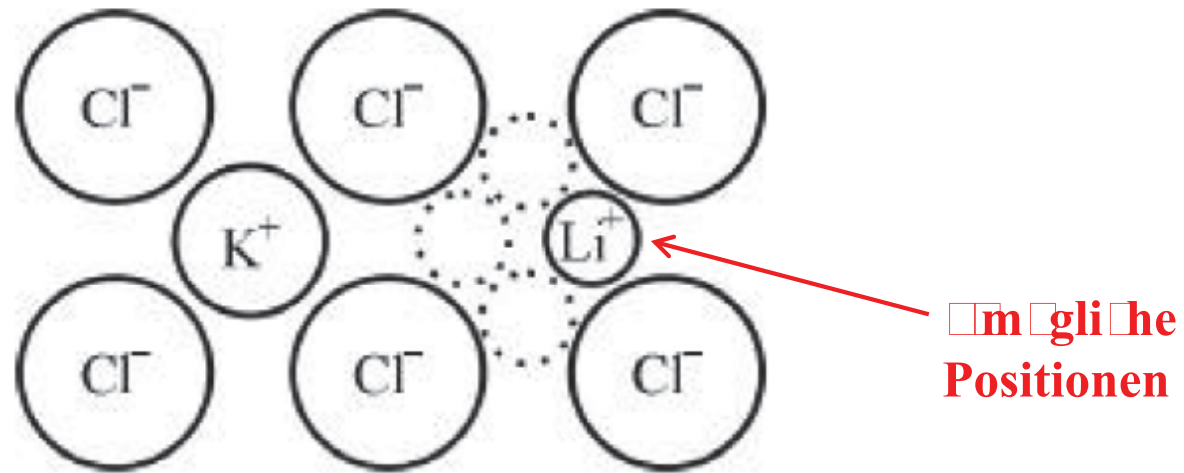
$$\rightarrow \frac{1}{T} = \frac{\partial F}{\partial E} = \frac{N_B}{\varepsilon} \ln \left[\frac{N-n}{n} \right] \rightarrow n = \frac{N \varepsilon}{\varepsilon + N_B T}$$

$$\chi = \chi_B \cdot \frac{(\epsilon \chi_B T)^2 \chi_B^{\epsilon T}}{(\chi + \chi_B^{\epsilon T})^2}$$

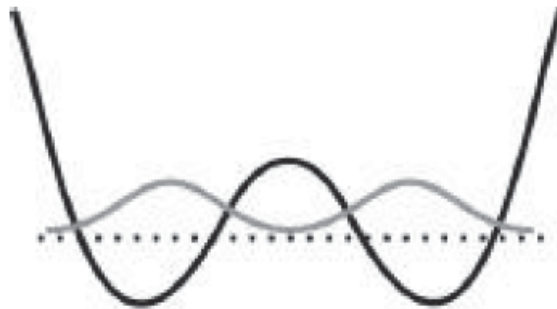


Verwendung zur Abschätzung von ϵ

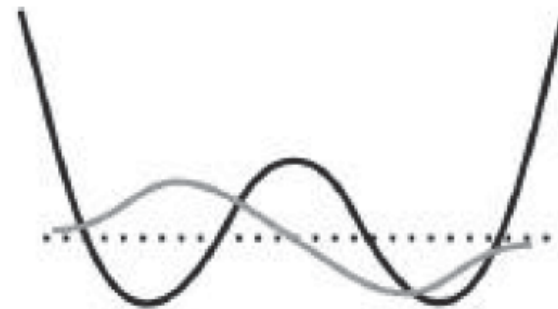
Verunreinigungen in Festkörpern



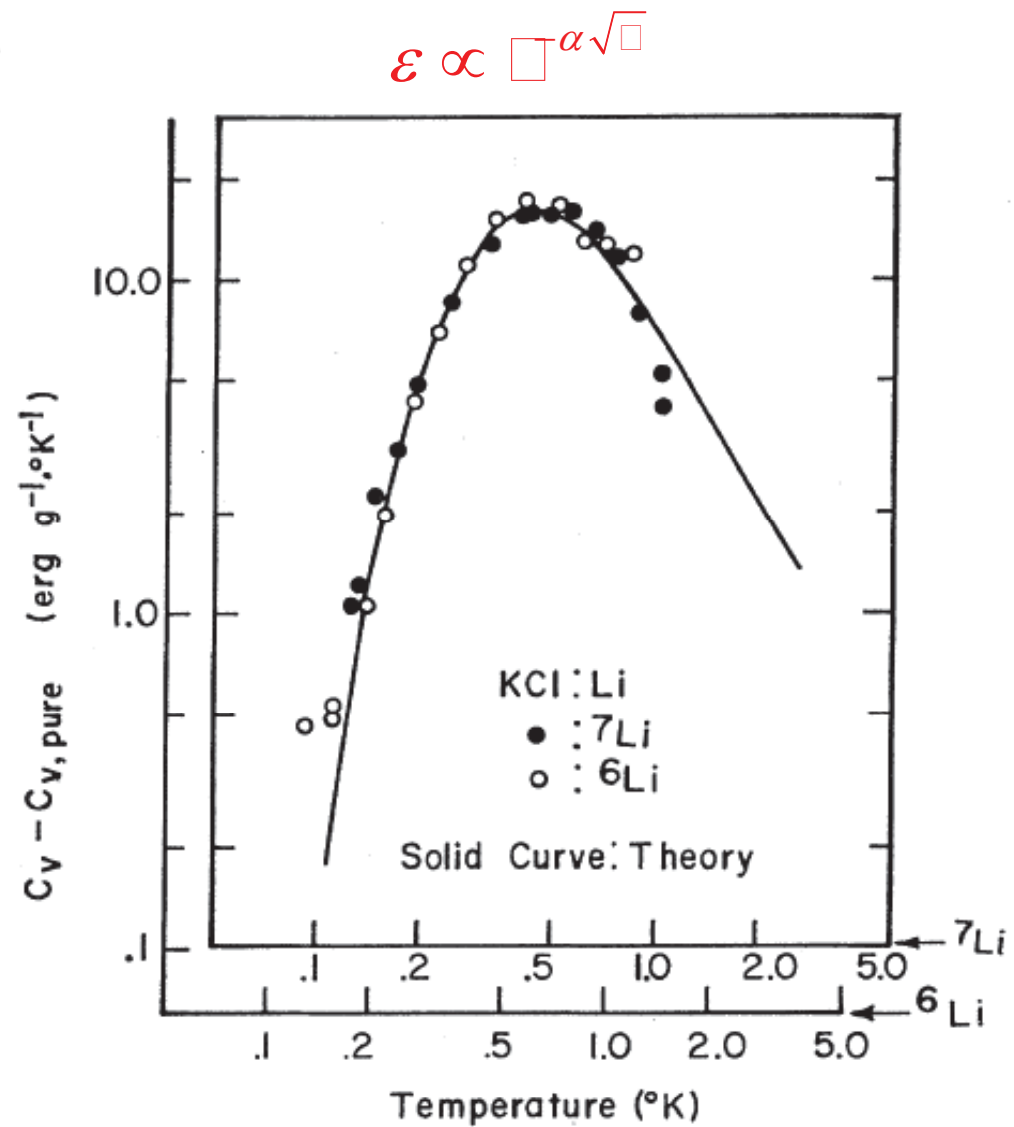
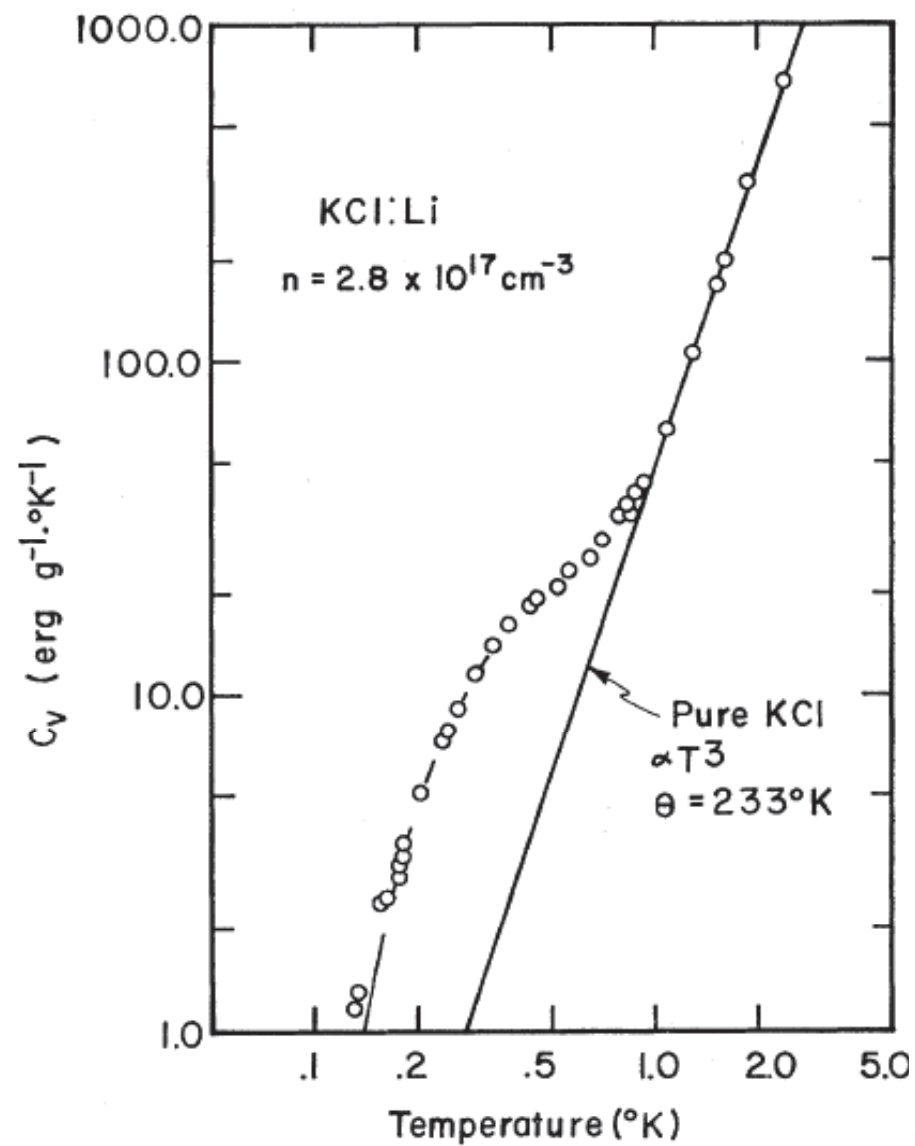
□ □ Analogon:



symmetrisch



antisymmetrisch



Beispiel Einstein Modell des Kristalls

Annahme: jedes Atom ist an Ruhelage harmonisch gebunden

→ System aus $3N$ unabhängigen harmonischen Oszillatoren

$$E = N\hbar\omega_0 + \frac{3N}{2}\hbar\omega_0$$

Anzahl des Energienullpunkts

→ Anzahl möglicher Zustände:

Verteilung von N Kugeln auf $3N$ Töpfe

$$\Omega = \frac{(3N - N + N)!}{(3N - N)! N!} \approx \frac{(3N + N)!}{(3N)! N!}$$

$$\rightarrow E \propto 3N \ln \left[N + \frac{N}{3N} \right] + N \ln \left[N + \frac{3N}{N} \right]$$

Temperatur:

$$\frac{\square}{T} = \frac{\partial \square}{\partial E} = \dots = \frac{\square_B}{\hbar \omega_0} \cdot \ln \left(\square + \frac{3 \square}{E} \hbar \omega_0 \right)$$

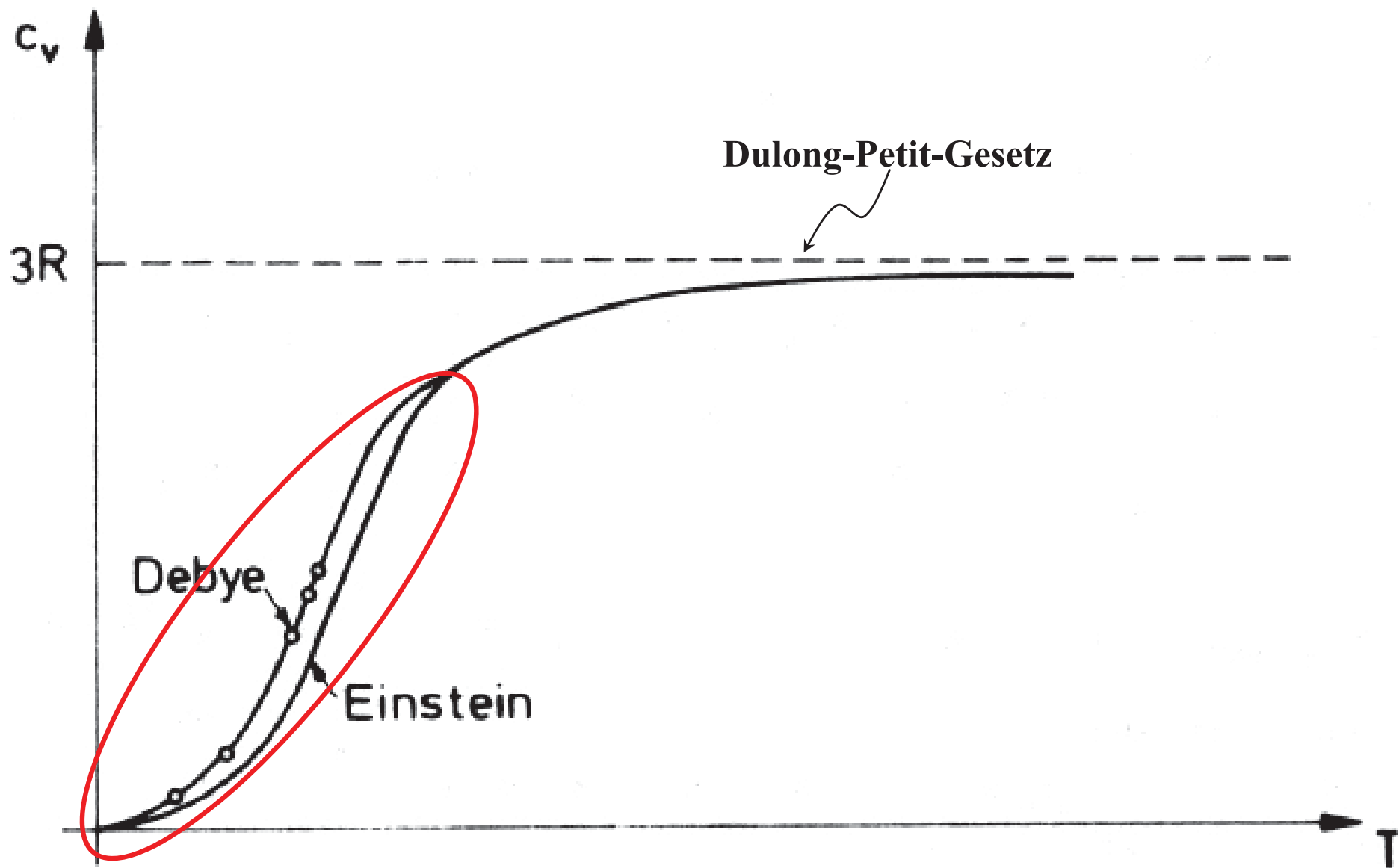
mittlere Energie pro Oszillator:

$$\frac{E}{3N} = \frac{\hbar \omega_0}{e^{\hbar \omega_0 / k_B T} - 1} \quad \text{mit } \frac{\hbar \omega_0}{k_B} : \text{„Einstein-Temperatur“}$$

Wärmekapazität:

$$C_V = \frac{\partial E}{\partial T} = \frac{\partial}{\partial T} \left(\frac{3N \hbar \omega_0}{e^{\hbar \omega_0 / k_B T} - 1} \right) \propto \begin{cases} T^{-2} e^{-\hbar \omega_0 / k_B T} & \text{für } T \rightarrow 0 \\ 3Nk_B & \text{für } T \rightarrow \infty \end{cases}$$

Experiment: $C_V \propto T^3$ für $T \rightarrow 0$



$$T \rightarrow 0 : C_V \propto T^3 \quad (\text{Debye})$$

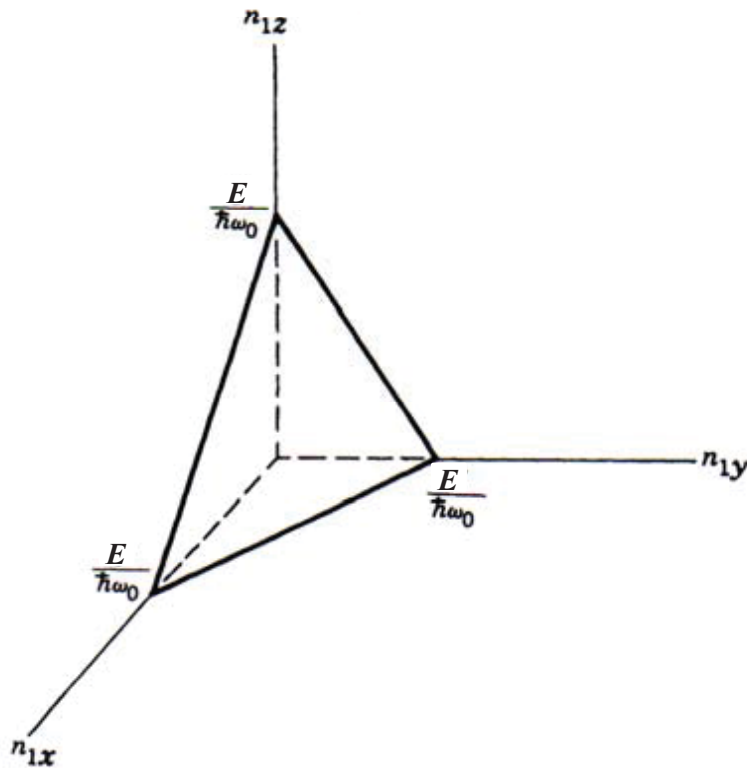
$$C_V \propto T^{-2} e^{-\hbar\omega_0/k_B T} \quad (\text{Einstein})$$

Quantisierung der Zustände

nur in Spezialfällen möglich, nur groÙe Teilchenzahl erleichtert

Beispiel: Einstein-Modell des Kristalls

3 Oszillatoren: $\Omega \propto$
Diagonalfläche im \mathbb{R}^3



$3N$ Oszillatoren: $\Omega \propto$
Hyperraumfläche im \mathbb{R}^{3N}

Zunahme Zustände im \mathbb{R}^{3N} :

$$\begin{aligned}\Omega &= \lim_{\Delta \rightarrow 0} (\Phi(E) - \Phi(E - \Delta)) \\ &= C_{3N} E^{3N} - C_{3N} (E - \Delta)^{3N} \\ &= C_{3N} E^{3N} \cdot \left[1 - \underbrace{\left(1 - \frac{\Delta}{E} \right)^{3N}}_{\substack{\text{klein} \\ \rightarrow 0}} \right] = \Phi(E)\end{aligned}$$

Hamiltonsche Mechanik

mechanik-O: Darstellung eines Systems zur **Hamiltonschen Mechanik**

$\mathcal{H} = \mathcal{H}(\mathbf{q}, \mathbf{p}) = T - V$ unabhängige Koordinaten (\mathbf{q}, \mathbf{p})

Lagrange-Transformation: $(\mathbf{q}, \dot{\mathbf{q}}) \rightarrow (\mathbf{q}, \mathbf{p})$ $\mathbf{p} = \frac{\partial \mathcal{L}}{\partial \dot{\mathbf{q}}}$

Hamiltonfunktion: Lagrange-Transformierte von \mathcal{L}

$$\mathcal{H} = \mathcal{H}(\mathbf{q}, \mathbf{p}) = \mathbf{p} \cdot \dot{\mathbf{q}} - \mathcal{L} = T + V \Rightarrow \text{Energie}$$

Darstellung der Energie als Funktion von verallgemeinerten Orts- und Impulskordinaten

$$\mathcal{H} = \mathcal{H}(q_1, p_1, q_2, p_2, \dots, q_n, p_n) = \mathcal{H}(\mathbf{q}, \mathbf{p})$$

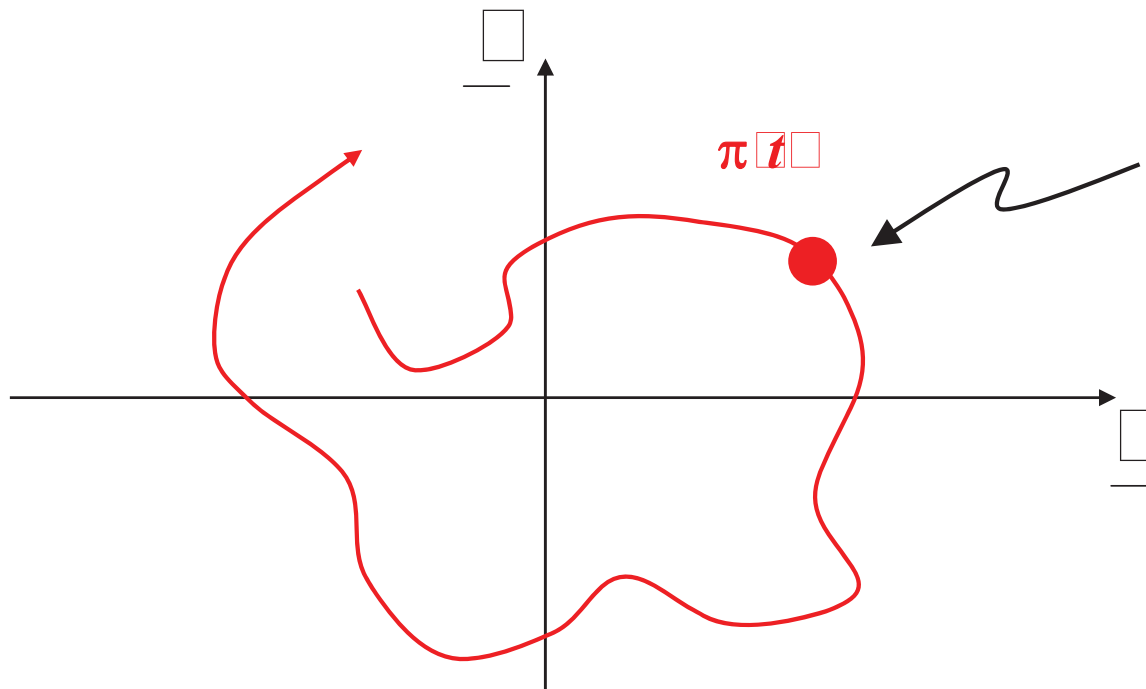
Dynamik des Systems beschrieben durch **Hamiltonsche Gleichungen**

$$\dot{q}_i = \frac{\partial \mathcal{H}}{\partial p_i} \quad \dot{p}_i = -\frac{\partial \mathcal{H}}{\partial q_i} \quad i = 1 \dots n$$

n : Anzahl der Freiheitsgrade

Die Koordinaten $q_1, q_2, \dots, q_n, p_1, p_2, \dots, p_n$ spannen einen $2n$ -dimensionalen Phasenraum (Γ -Raum) auf. Das System mit n Freiheitsgraden beschreibt einen Punkt $\pi \in \Gamma$ in diesem Phasenraum dargestellt eine Bewegung in der Zeit (\rightarrow Phasenraumtrajektorie) beschreibt die hamiltonschen Gleichungen beschrieben

Punkt im Phasenraum: $\pi = (q_1, q_2, \dots, q_n, p_1, p_2, \dots, p_n)$



Trajektorie beschreibt
 die hamiltonsche
 Bewegungsgleichungen

- jeder Punkt π liegt höchstens auf $e \cup e'$ Trajektorie
- jede Trajektorie ist nur an einem ihrer Endpunkte eindeutig markiert

konserватives System (keine „Reibung“):

Hamiltonfunktion enthält nicht explizit

$$\Leftrightarrow \frac{\partial H}{\partial t} = 0$$

totale Ableitung:
$$\frac{dH}{dt} = \frac{\partial H}{\partial t} + \frac{\partial H}{\partial q} \dot{q} + \frac{\partial H}{\partial p} \dot{p} = \dot{q} \dot{p} - \dot{p} \dot{q} = 0$$

$$\Rightarrow H = \text{const} = E \Rightarrow \text{Energieerhaltung}$$

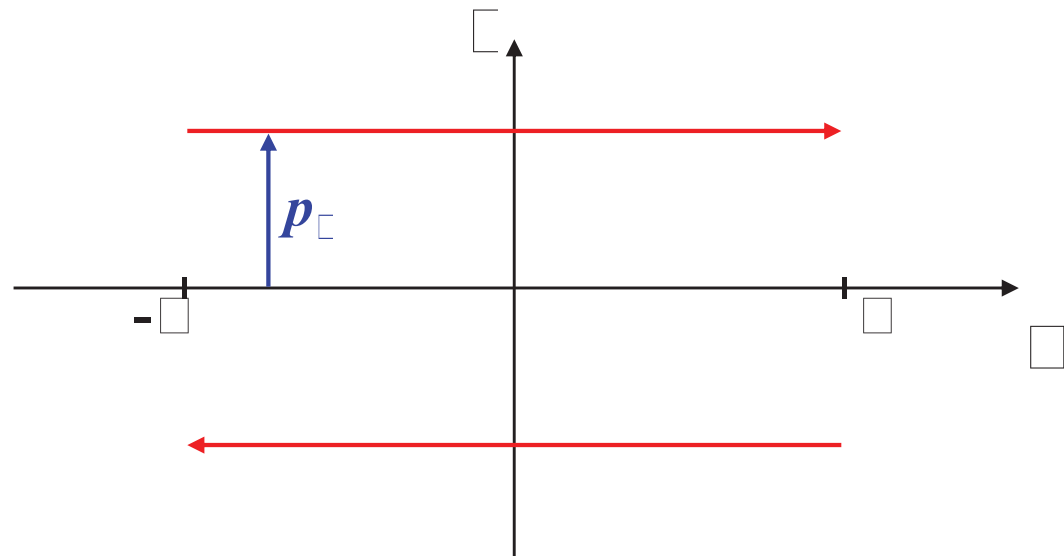
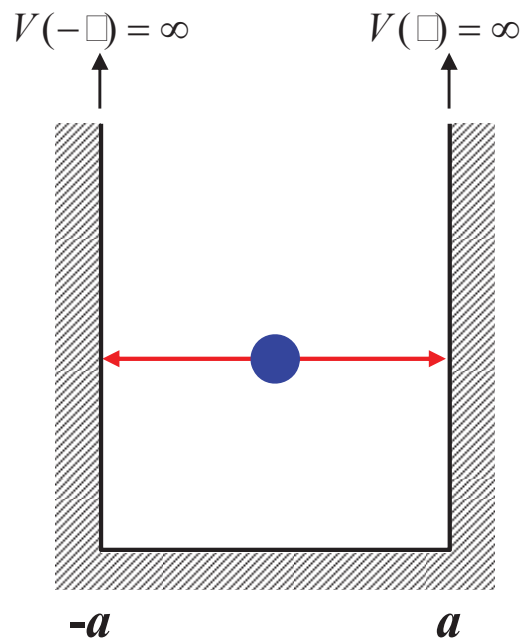
Beispiel: Teilchen in einer Box ($\dim \Gamma = 1$)

$$\varphi = \frac{\dot{\varphi}^2}{2} + V(\varphi) = T(\varphi) + V(\varphi) \quad V(\varphi) = \begin{cases} 0 & \text{für } |\varphi| < a \\ \infty & \text{für } |\varphi| \geq a \end{cases}$$

$$\pi(\varphi) = \begin{pmatrix} \varphi(\varphi) \\ \dot{\varphi}(\varphi) \end{pmatrix} \Rightarrow \dot{\pi}(\varphi) = \begin{pmatrix} \ddot{\varphi}(\varphi) \\ \dot{\varphi}(\varphi) \end{pmatrix} = \begin{pmatrix} \partial \varphi / \partial \varphi \\ -\partial \varphi / \partial \varphi \end{pmatrix} = \begin{pmatrix} \varphi / \varphi \\ -\partial_{\varphi} V(\varphi) \end{pmatrix} = \begin{pmatrix} \varphi / \varphi \\ \dot{\varphi}(\varphi) \end{pmatrix}$$

$$\Rightarrow \ddot{\varphi}(\varphi) = \varphi / \varphi = \pm \varphi_0 / \varphi \Rightarrow \varphi(\varphi) = \varphi_0 \pm \varphi \cdot \varphi_0 / \varphi$$

$$\Rightarrow \dot{\varphi}(\varphi) = 0 \quad (|\varphi| \neq a) \Rightarrow \varphi(\varphi) = \pm \varphi_0$$

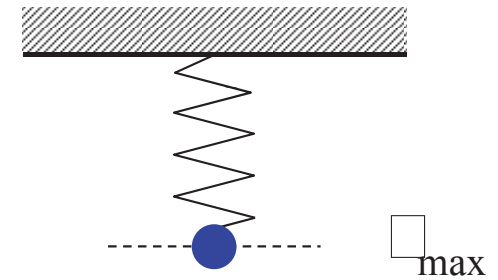
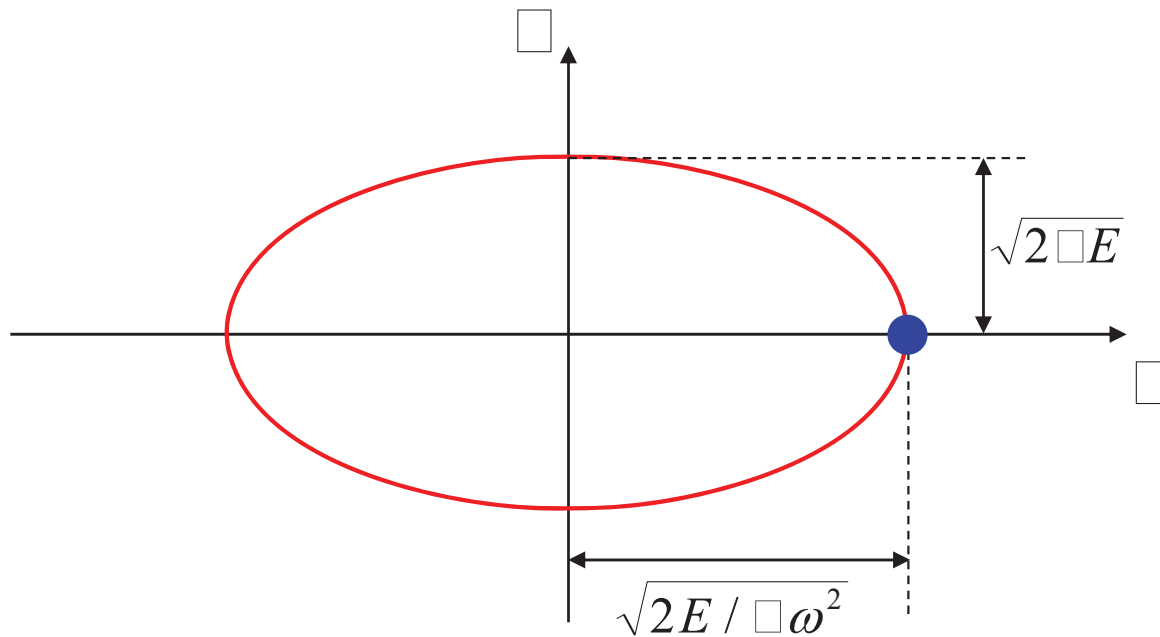


Beispiel: ein eindimensionaler harmonischer Oszillator ($n = 1$, $\text{Dim}\Gamma = 2$)

$$E = \frac{1}{2} \dot{x}^2 + \frac{1}{2} m \omega^2 x^2$$

Parameter

$$\omega = \sqrt{C/m}$$



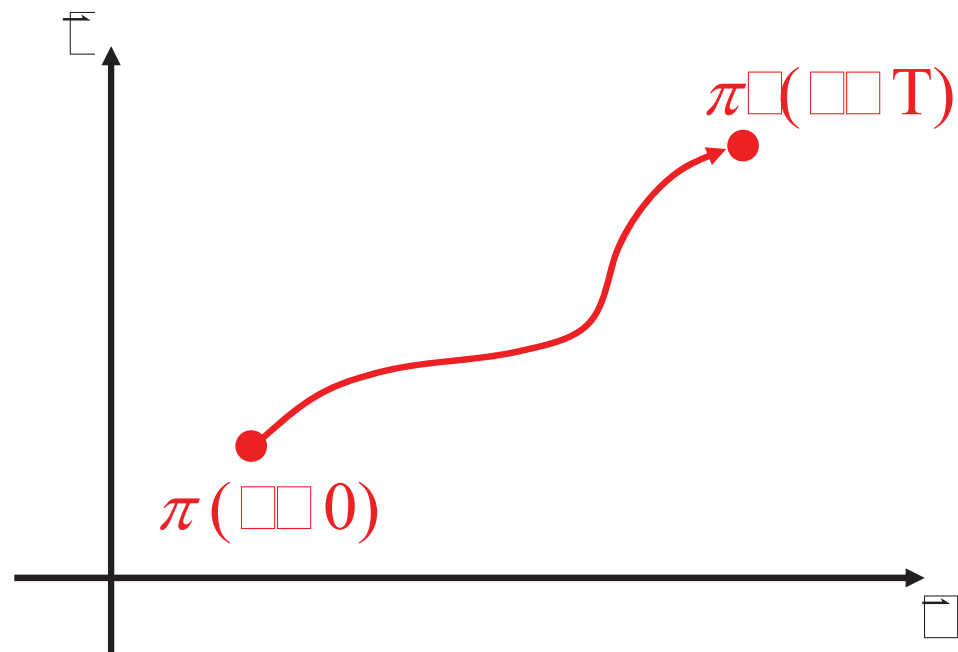
$x_0 = 0$

$-x_{\max}$

Beispiel: ein Teilchen in 3 Dimensionen ($n = 3 = \text{Dim}\Gamma$)

$$\vec{r} = \begin{pmatrix} r_1 \\ r_2 \\ r_3 \end{pmatrix} \quad \dot{\vec{r}} = \begin{pmatrix} \dot{r}_1 \\ \dot{r}_2 \\ \dot{r}_3 \end{pmatrix} \Rightarrow \quad E = T + V = \frac{1}{2m} \dot{\vec{r}}^2 + V(r_1, r_2, r_3)$$

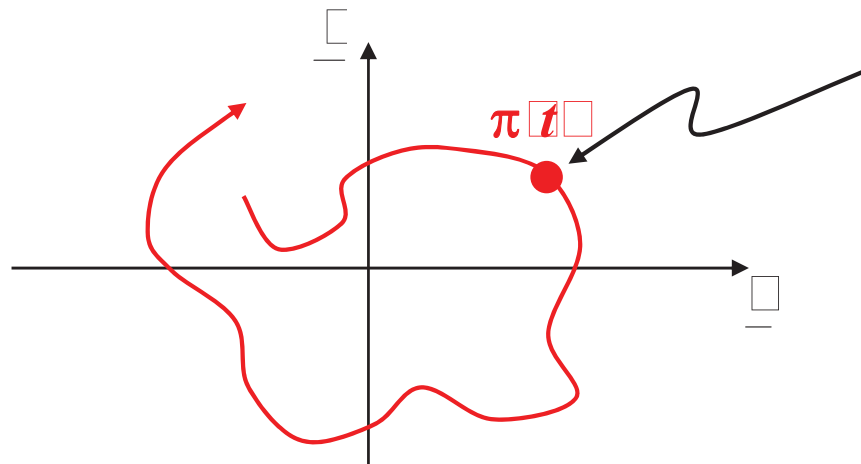
$(\vec{r}, \dot{\vec{r}})$ definiert einen Punkt π im n -dimensionalen **Phasenraum**



Verallgemeinerung: N Teilchen im \mathbf{R}^3 ($\dim \Gamma = 3N$)

$$\underline{r} = \begin{pmatrix} r_1 \\ r_2 \\ \vdots \\ r_{3N} \end{pmatrix} \quad \underline{p} = \begin{pmatrix} p_1 \\ p_2 \\ \vdots \\ p_{3N} \end{pmatrix}$$

Hamiltonfunktion: $H = H(\underline{r}, \underline{p})$



Integration $\int_{\Gamma} e^{i S(\underline{r}, \underline{p})} d\Gamma$ N Teilchen zur Berechnung der Partitionfunktion im N -dimensionalen Phasenraum (Γ -Raum) beschrieben

Punkt im $2N$ -Phasenraum: $\pi = (\underbrace{q_1, p_1}_{\text{1. Teilchen}}, \underbrace{q_2, p_2}_{\text{2. Teilchen}}, \dots, \underbrace{q_N, p_N}_{\text{N. Teilchen}})^T$

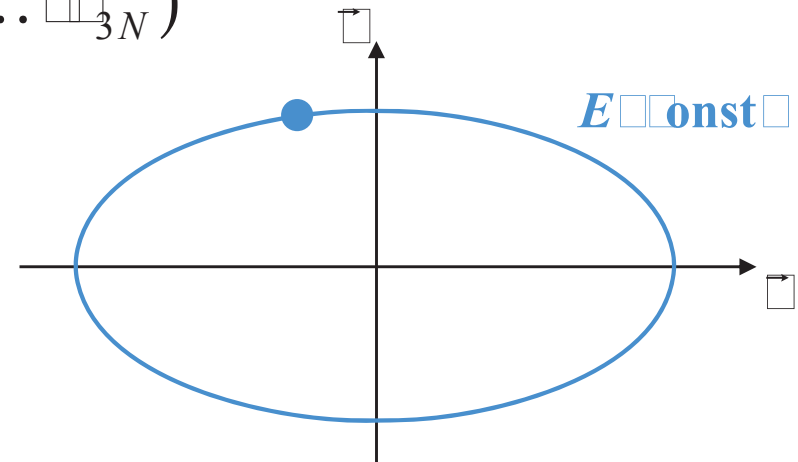
Phasenraumtrajektorie: $\dot{\pi} = \dot{\pi} = (\dot{q}_1, \dot{p}_1, \dot{q}_2, \dot{p}_2, \dots, \dot{q}_N, \dot{p}_N)^T$

$$\nabla \pi = \left(\frac{\partial \pi}{\partial q_1}, \frac{\partial \pi}{\partial p_1}, \dots, \frac{\partial \pi}{\partial q_N}, \frac{\partial \pi}{\partial p_N} \right)$$

$$= (-\dot{q}_1, \dot{p}_1, -\dot{q}_2, \dot{p}_2, \dots, -\dot{q}_N, \dot{p}_N)$$

$$|\dot{\pi}(\pi)| = |\nabla \pi|$$

$$\dot{\pi}(\pi) \cdot \nabla \pi = 0 \quad \Rightarrow \quad \dot{\pi}(\pi) \perp \nabla \pi$$



konserватives System: Energie E ist erhalten

\Rightarrow Trajektorie $\pi(t)$ liegt auf der Hyperfläche $\pi(\underline{\pi}) = E$

Phasenraumtrajektorien für konservative Systeme kreuzen sich nie

Für eine beliebige Funktion $\varphi(\mathbf{r}, \mathbf{p}, t)$ gilt ($\nabla \cdot \mathbf{r} = 3$):

$$\begin{aligned} \frac{d\varphi}{dt} &= \frac{\partial \varphi}{\partial t} + \frac{\partial \varphi}{\partial \mathbf{r}} \cdot \dot{\mathbf{r}} + \frac{\partial \varphi}{\partial \mathbf{p}} \cdot \dot{\mathbf{p}} = \\ &= \frac{\partial \varphi}{\partial t} + \frac{\partial \varphi}{\partial \mathbf{r}} \frac{\partial \mathbf{r}}{\partial t} - \frac{\partial \varphi}{\partial \mathbf{p}} \frac{\partial \mathbf{p}}{\partial t} + \frac{\partial \varphi}{\partial t} = \left\{ \varphi, H \right\} + \frac{\partial \varphi}{\partial t} \end{aligned}$$

Poisson-Klammern: $\{ \varphi, B \} = \frac{\partial \varphi}{\partial \mathbf{r}} \frac{\partial B}{\partial \mathbf{p}} - \frac{\partial \varphi}{\partial \mathbf{p}} \frac{\partial B}{\partial \mathbf{r}}$

Verallgemeinerung ($\nabla \cdot \mathbf{r} = 3N$):

Poisson-Klammern: $\{ \varphi, B \} = \sum_{i=1}^{3N} \left(\frac{\partial \varphi}{\partial \mathbf{r}_i} \frac{\partial B}{\partial \mathbf{p}_i} - \frac{\partial \varphi}{\partial \mathbf{p}_i} \frac{\partial B}{\partial \mathbf{r}_i} \right)$

→ es gilt daher: $\frac{d\varphi(\mathbf{r}, \mathbf{p}, t)}{dt} = \left\{ \varphi, H \right\} + \frac{\partial \varphi}{\partial t}$

alternative Beschreibung:

N -dimensionaler Phasenraum (Γ -Raum) \rightarrow
 n -dimensionaler Phasenraum (μ -Raum)

Punkte im μ -Raum beschrieben durch Koordinaten $(q_1, p_1, q_2, p_2, \dots, q_n, p_n)$

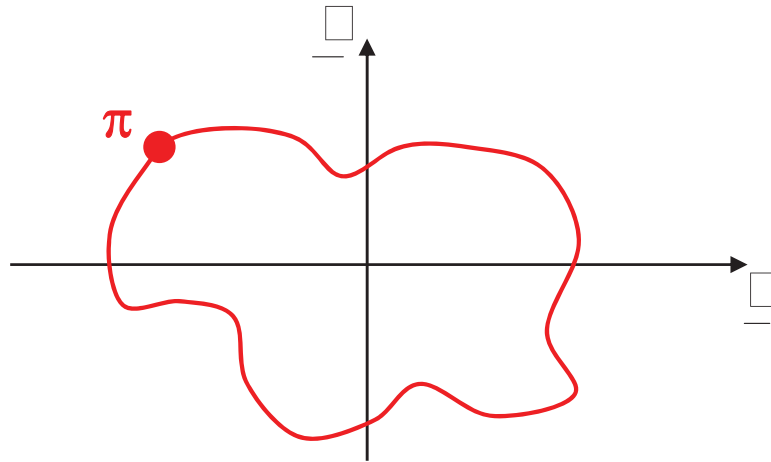
statt e -Trajektorie im N -dimensionalen Γ -Raum
 N Trajektorien (Orbiten von Massenpunkten) im μ -Raum

e : keine Wechselwirkung der Teilchen untereinander (z.B. ideale Gas)

\rightarrow Teilchen bewegen sich unabhängig voneinander
 \rightarrow Hamiltonfunktion zerfällt in N unabhängige (gleiche) Teile

$$H(\underline{q}, \underline{p}) = \sum_{i=1}^N h(q_i, p_i)$$

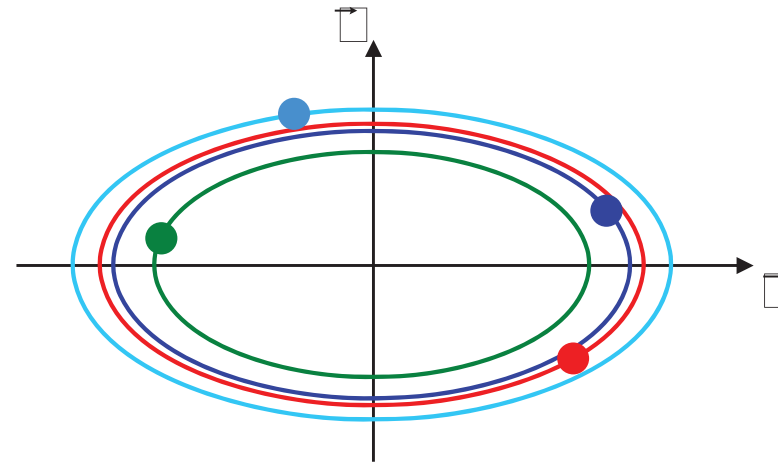
Beispiel: mehrere harmonische Oszillatoren



eine Trajektorie im Γ -Raum

D

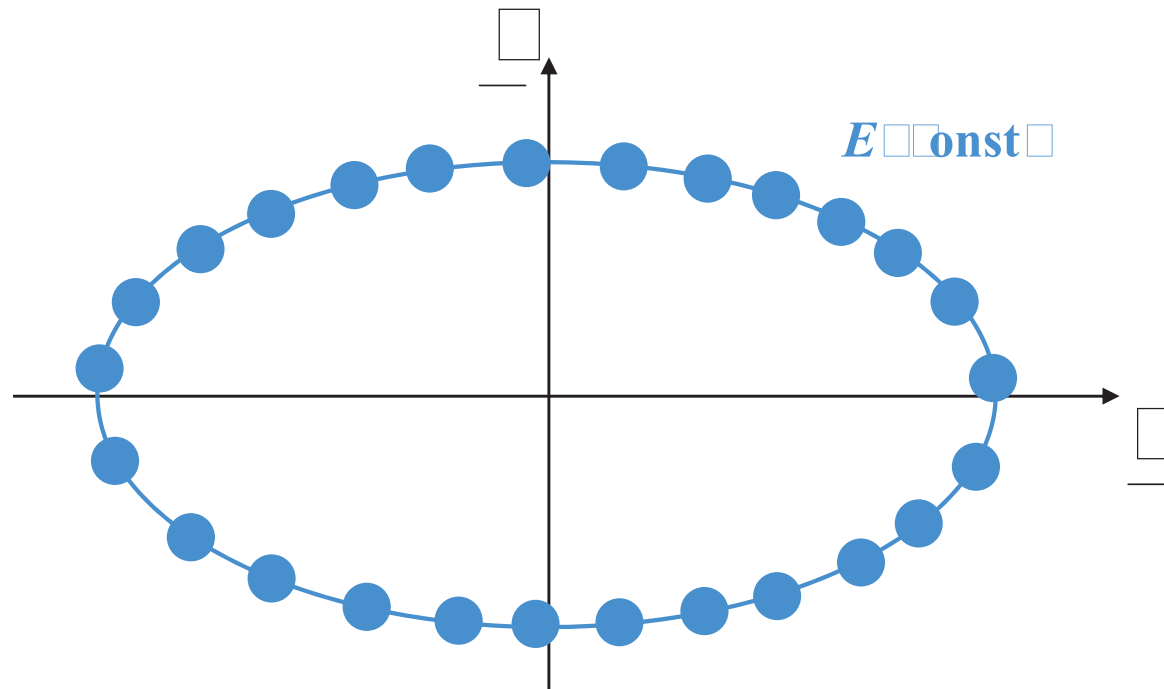
N Trajektorien im μ -Raum



keine Wechselwirkung $\Rightarrow \varphi = \sum_i \varphi_i(\vec{q}, \vec{p})$

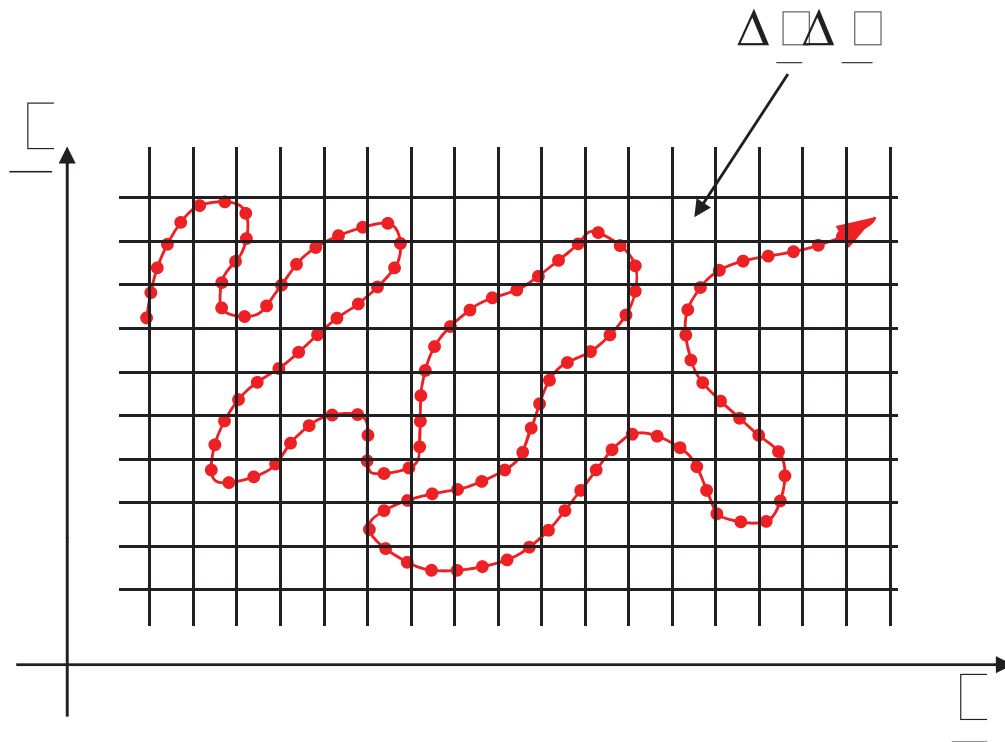
thermodynamisches System: N Teilchen $N \approx N_A \approx 10^{23}$

nur wenige Parameter messbar (E, V, T)



Ensemble: Menge aller Mikrozustände π -Raumpunkte π , die mit den vorgegebenen Makroparametern kompatibel sind

Dichte von Systempunkten im Γ -Raum: $\rho(\underline{r}, \underline{p})$



Anzahl der Punkte π es

Ensembles in kleinem Volumens-
element $\rightarrow \bar{\rho}_{\Delta r \Delta p}(\underline{r}, \underline{p}) = \frac{\Delta N}{\Delta r \Delta p}$

Grenzübergang:

$$\Delta r \Delta p \rightarrow r^{3N} p^{3N}$$

$$\rightarrow \int \int e^{-\beta H(\underline{r}, \underline{p})} \rho(\underline{r}, \underline{p})$$

ρ erfüllt Kontinuitätsgleichung: $\int \vec{\rho} \cdot \vec{\nabla} = \int \underbrace{(\dot{\pi} \rho)}_{\int \nabla(\dot{\pi} \rho) \cdot \vec{\nabla}} = - \frac{\partial}{\partial t} \int \rho \cdot V$

$$\frac{\partial \rho}{\partial t} + \nabla(\dot{\pi} \rho) = \frac{\partial \rho}{\partial t} + \dot{\pi} \nabla \rho + \rho \nabla \dot{\pi} = 0$$

letzter Term:

$$\nabla \dot{\pi} = \sum_{\mathbf{i}=1}^{3N} \frac{\partial \dot{\pi}_{\mathbf{i}}}{\partial \mathbf{q}_{\mathbf{i}}} + \sum_{\mathbf{i}=1}^{3N} \frac{\partial \dot{\pi}_{\mathbf{i}}}{\partial \dot{\mathbf{q}}_{\mathbf{i}}} = \sum_{\mathbf{i}=1}^{3N} \left(\frac{\partial}{\partial \mathbf{q}_{\mathbf{i}}} \frac{\partial \pi}{\partial \dot{\mathbf{q}}_{\mathbf{i}}} - \frac{\partial}{\partial \dot{\mathbf{q}}_{\mathbf{i}}} \frac{\partial \pi}{\partial \mathbf{q}_{\mathbf{i}}} \right) = 0$$

$$\text{Best:} \quad \Rightarrow \quad \frac{\partial \rho}{\partial \mathbf{q}} = -\dot{\pi} \nabla \rho$$

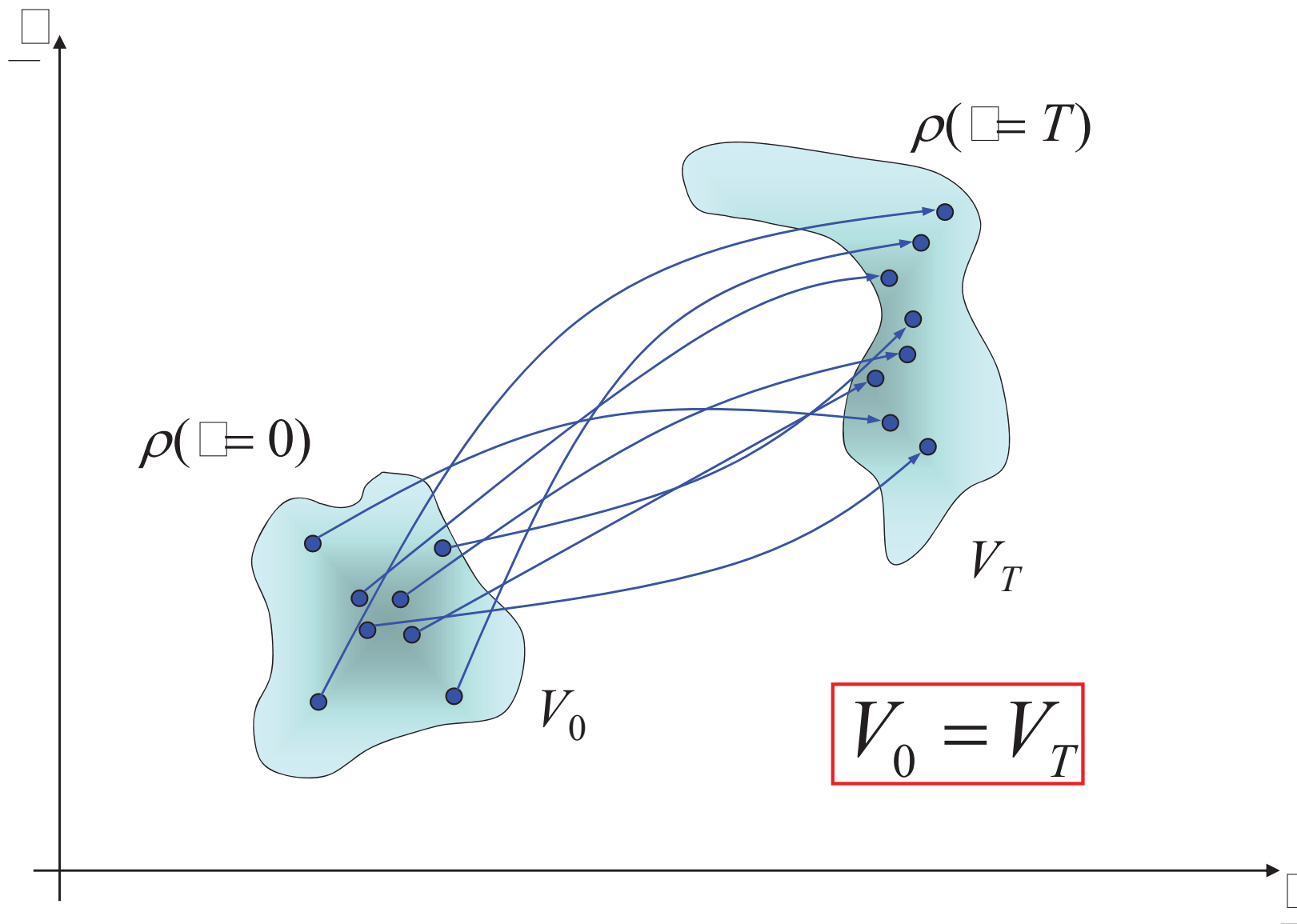
$$= \sum_{\mathbf{i}=1}^{3N} \left(-\dot{\pi}_{\mathbf{i}} \frac{\partial \rho}{\partial \mathbf{q}_{\mathbf{i}}} - \dot{\pi}_{\mathbf{i}} \frac{\partial \rho}{\partial \dot{\mathbf{q}}_{\mathbf{i}}} \right)$$

$$= \sum_{\mathbf{i}=1}^{3N} \left(-\frac{\partial \pi}{\partial \dot{\mathbf{q}}_{\mathbf{i}}} \frac{\partial \rho}{\partial \mathbf{q}_{\mathbf{i}}} + \frac{\partial \pi}{\partial \mathbf{q}_{\mathbf{i}}} \frac{\partial \rho}{\partial \dot{\mathbf{q}}_{\mathbf{i}}} \right) \Rightarrow \boxed{\frac{\partial \rho}{\partial \mathbf{q}} = -\{\rho, \pi\}}$$

Poisson-Gleichung

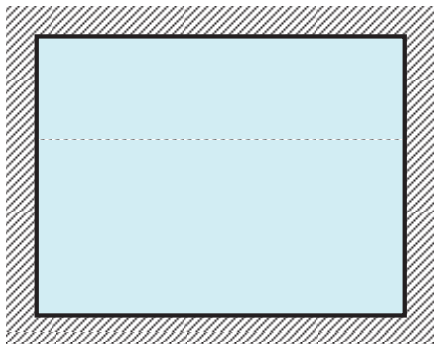
$$\text{Konserf:} \quad \text{Stationarität} \quad \rho = \rho(\mathbf{q}) \quad \Rightarrow \quad \{\rho, \pi\} = 0$$


$$\frac{\partial \rho}{\partial \mathbf{q}} = -\{\rho, \pi\} = 0 \quad \Rightarrow \quad \rho(\mathbf{q}(\mathbf{t}), \dot{\mathbf{q}}(\mathbf{t})) = \rho(\mathbf{q}(0), \dot{\mathbf{q}}(0))$$



zentrale Aufgabe der statistischen Mechanik: Bestimmung von ρ

Boltzmanns Hypothese der gleichen a-priori Wahrscheinlichkeit: das mikrokanonische Ensemble

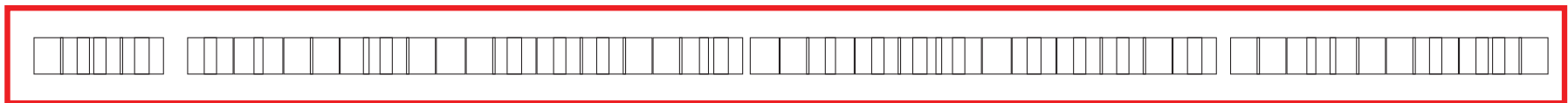


isoliertes System: 



vorgegebene Makroparameter: 

Mikrokanonisches (MK) Ensemble

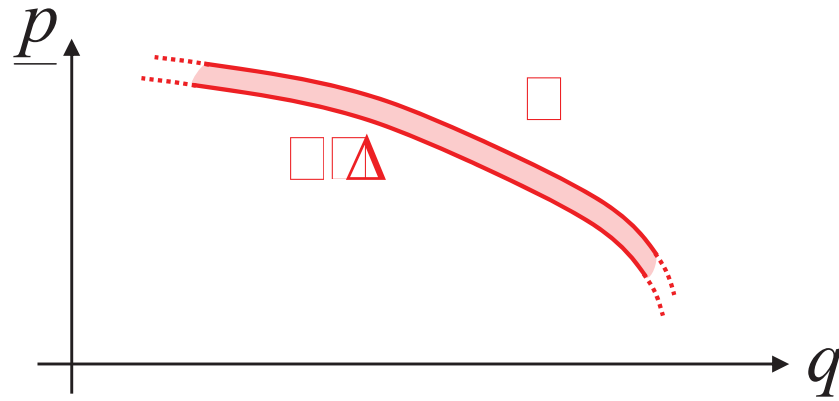


$$\underbrace{\rho_{\square\square}(\underline{q}\square\underline{p})}_{\text{microstate}} = \rho_{\square\square}(\square(\underline{q}\square\underline{p})) = \rho_0 \cdot \delta(\square - \square(\underline{q}\square\underline{p}))$$



const.

δ



$$\Omega(\square) = \square \cdot \int_{\square < \square < \square + \Delta} \square^{\square} q^{\square} p$$

$$\square(q, p) = \sum_{\square} \frac{p_{\square}}{\square}$$

$$\Phi(\square, V) = \int_{\square < \square} \square^{\square} q^{\square} p = V^{\square} \cdot \int_{\square < \square} \square^{\square} p = V^{\square} \cdot \frac{\pi^{\square}}{\Gamma(\square + \square)} (\square)^{\square}$$

$$\Omega(\square) = \Phi(\square) - \Phi(\square - \Delta) = \left[\Phi(\square) \left\{ \square - \left(\square - \frac{\Delta}{\square} \right)^{\square} \right\} \right] = \Phi(\square)$$

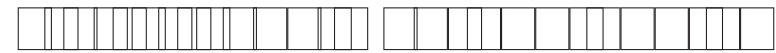
$$\Delta \rightarrow 0 \quad \frac{\Phi(\square) - \Phi(\square - \Delta)}{\Delta} = \frac{\partial \Phi}{\partial \square} = \frac{\Omega(\square)}{\Delta} = \square(\square)$$

Zustandsdichte

Entropie - mikrokanonisch



$$S = k_B \ln \Omega$$



$$S \propto \ln \Omega$$

$$S \propto \ln \Omega$$

$$S = k_B \ln \Omega$$

$$S = k_B \ln \Omega = k_B \ln \Omega \cdot \frac{1}{\Omega} \int_{\Omega} q p$$

$$= k_B \cdot \int \frac{1}{\Omega} \ln \Omega q p$$

$$= -k_B \cdot \int \rho \ln \rho q p = -k_B \langle \ln \rho \rangle$$

**S ist die generierende Funktion des mikrokanonischen Ensembles,
alle thermodynamischen Größen lassen sich aus ihr ableiten.**

$$\Omega(E, V, \mu) = \frac{\partial \Omega}{\partial E} E + \frac{\partial \Omega}{\partial V} V + \frac{\partial \Omega}{\partial \mu} \mu$$

$$\Omega(E, V, \mu) = T E - p V + \mu \mu$$

$$\Rightarrow \left(\frac{\partial \Omega}{\partial E} \right)_{V, \mu} = \frac{1}{T} \quad T \cdot \left(\frac{\partial \Omega}{\partial V} \right)_{E, \mu} = p \quad - T \cdot \left(\frac{\partial \Omega}{\partial \mu} \right)_{E, V} = \mu$$

$$\Omega(E, V, \mu) = \Omega(E, V, \mu)$$

$$\frac{1}{T} = \left(\frac{\partial \Omega}{\partial E} \right)_{V, \mu} \quad T \cdot \left(\frac{\partial \Omega}{\partial V} \right)_{E, \mu} = p \quad \dots$$

$$\rho = \frac{1}{\Omega(E, V, \mu)}$$

[illegible]

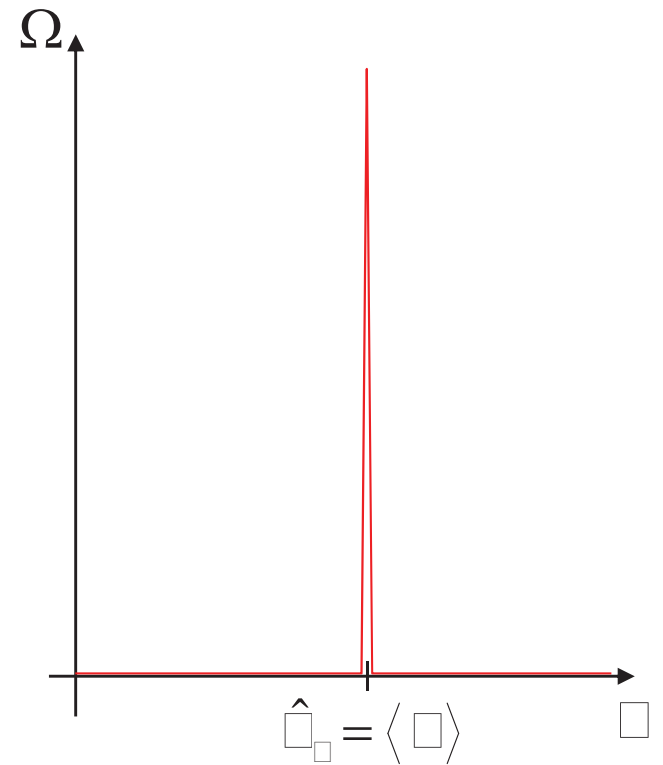
$$\frac{\partial \text{[Diagram: 3 boxes in a row]} \Omega}{\partial \text{[Diagram: 1 box]}_{\text{[Diagram: 1 box]}}} = \frac{\text{[Diagram: 1 box]}_{\text{[Diagram: 1 box]}}}{\text{[Diagram: 1 box]}_{\text{[Diagram: 1 box]}}} \left(\frac{\text{[Diagram: 1 box]}_{\text{[Diagram: 1 box]}}}{\text{[Diagram: 1 box]}_{\text{[Diagram: 1 box]}}} - \frac{\text{[Diagram: 1 box]}_{\text{[Diagram: 1 box]}}}{\text{[Diagram: 1 box]} - \text{[Diagram: 1 box]}_{\text{[Diagram: 1 box]}}} \right) = 0 \quad \Rightarrow \quad \text{[Diagram: 1 box]}_{\text{[Diagram: 1 box]}}^{\text{[Diagram: 1 box]}} = \hat{\text{[Diagram: 1 box]}_{\text{[Diagram: 1 box]}}} = \frac{\text{[Diagram: 1 box]}_{\text{[Diagram: 1 box]}}}{\text{[Diagram: 1 box]}} \text{[Diagram: 1 box]} \text{[Diagram: 1 box]} \quad \hat{\text{[Diagram: 1 box]}_{\text{[Diagram: 1 box]}}} = \frac{\text{[Diagram: 1 box]}_{\text{[Diagram: 1 box]}}}{\text{[Diagram: 1 box]}} \text{[Diagram: 1 box]}$$

[illegible]

$$\Omega = \Omega_0 + \frac{1}{\hbar} \left[\Omega_1 + \frac{\hbar}{2} \Omega_2 - \frac{\hbar^2}{6} \Omega_3 + \dots \right]$$

$$\Rightarrow \quad \Omega\left(\hat{\square}_{\square} + \varepsilon\right) \approx \Omega\left(\hat{\square}_{\square}\right) \cdot \square\square\square\square \left(- \frac{\square\varepsilon\square}{\square\hat{\square}\square} \frac{\square\square\square}{\square\square\square} \right)$$

$$\Rightarrow \sigma = \sqrt{\left(\frac{\varepsilon}{\hat{\sigma}} \right)} \sqrt{\frac{\sigma^2}{\sigma^2}} \frac{1}{\sqrt{\sigma^2}}$$



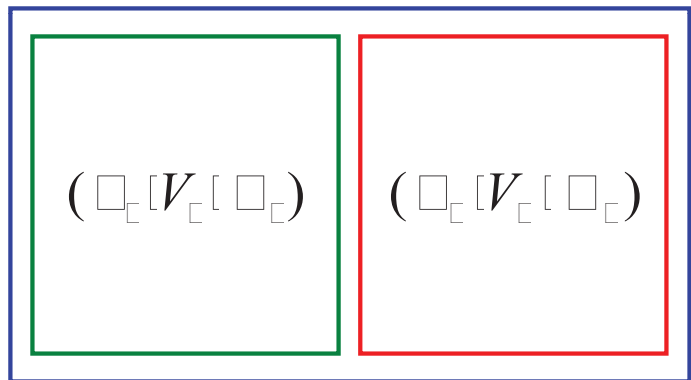
$$\Rightarrow \left(\Omega_1 \Omega_2 \right) = \frac{\partial \Omega_1}{\partial \epsilon_1} \bigg|_{\epsilon_2, V_1} \Omega_2 + \Omega_1 \frac{\partial \Omega_2}{\partial \epsilon_2} \bigg|_{\epsilon_1, V_2} = 0$$

$$\Rightarrow \frac{\epsilon_1}{\Omega_1} \frac{\partial \Omega_1}{\partial \epsilon_1} \bigg|_{\epsilon_2, V_1} + \frac{\epsilon_2}{\Omega_2} \frac{\partial \Omega_2}{\partial \epsilon_2} \bigg|_{\epsilon_1, V_2} = \frac{\partial (\epsilon_1 \epsilon_2 \Omega)}{\partial \epsilon_1} \bigg|_{\epsilon_2, V_1} - \frac{\partial (\epsilon_1 \epsilon_2 \Omega)}{\partial \epsilon_2} \bigg|_{\epsilon_1, V_2} = 0$$

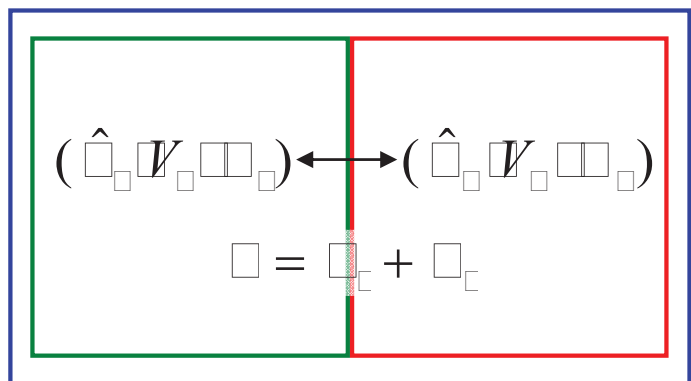
$$\frac{\partial \epsilon_1 (\hat{\epsilon}_2)}{\partial \epsilon_1} \bigg|_{\epsilon_2, V_1} = \frac{\partial \epsilon_2 (\hat{\epsilon}_1)}{\partial \epsilon_2} \bigg|_{\epsilon_1, V_2}$$

$$\epsilon_1 \epsilon_2 \Omega = T \epsilon_1 \frac{\partial \epsilon_1}{\partial \epsilon_1} \bigg|_{\epsilon_2, V_1} = \epsilon_1 \frac{\partial (\epsilon_1 \epsilon_2 \Omega)}{\partial \epsilon_1} \bigg|_{\epsilon_2, V_1} = \epsilon_1 \Omega \frac{\partial \Omega}{\partial \epsilon_1} \bigg|_{\epsilon_2, V_1}$$

0. Hauptsatz: In einem isolierten System herrscht im Gleichgewicht überall dieselbe Temperatur.



$$\begin{aligned}
 \Omega(V_c) &= \\
 &= \Omega(V_c) + \Omega(V_c)
 \end{aligned}$$



$$\begin{aligned}
 \Omega(E) &= \\
 &= \Omega(E_c) + \Omega(E_c) \\
 &\geq \Omega(E)
 \end{aligned}$$

$$\rightarrow \Omega(E) \rightarrow \boxed{\Delta \geq 0}$$

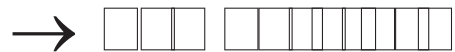
statistische Deutung des zweiten Hauptsatzes der Wärmelehre

Bestimmung der Dimension von k_B

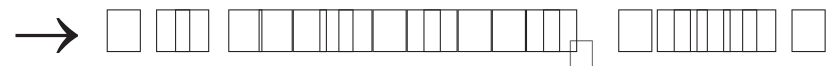


$$\square \square \square \square \square \quad \Phi = \square \cdot V^{\square} \cdot \frac{\pi^{\square \square \square \square}}{\Gamma(\square + \square \square \square \square)} (\square \square \square)^{\square \square \square \square}$$

$$\square = \square_{\square} \square \Omega \approx \square_{\square} \square \Phi = \square_{\square} \square \left[\square \cdot V^{\square} \cdot \frac{\pi^{\square \square \square}}{\Gamma(\square + \square \square \square)} (\square \square \square)^{\square \square \square} \right]$$




$$\frac{\square}{T} = \frac{\partial \square}{\partial \square} \bigg|_{V[\square]} = \frac{\partial \begin{array}{|c|c|c|} \hline \square & \square & \square \\ \hline \end{array}}{\partial \square} = \frac{\begin{array}{|c|c|} \hline \square & \square \\ \hline \end{array}}{\begin{array}{|c|c|} \hline \square & \square \\ \hline \end{array}} \Rightarrow \begin{array}{c} \begin{array}{|c|} \hline \square \\ \hline \end{array} = \frac{\begin{array}{|c|} \hline \square \\ \hline \end{array}}{\begin{array}{|c|} \hline \square \\ \hline \end{array}} \begin{array}{|c|c|c|} \hline \square & \square & \square \\ \hline \end{array} T \end{array}$$



Bestimmung des „Normierungsfaktors“ C :

$$\int_{-\infty}^{\infty} \int_{-\infty}^{\infty} |\Omega|^2 dq dp \rightarrow \Omega \quad \text{mit} \quad \int_{-\infty}^{\infty} \int_{-\infty}^{\infty} |\Omega|^2 dq dp = 1$$

$$\Omega = C \cdot \int_{-\infty}^{\infty} \int_{-\infty}^{\infty} q^{\frac{1}{2}} p^{\frac{1}{2}} dq dp \Rightarrow [C] = [qp]^{-\frac{1}{2}}$$



$$\Delta q \Delta p \approx 1 \quad \left(\int_{-\infty}^{\infty} \int_{-\infty}^{\infty} |\Omega|^2 dq dp = 1 \right)$$

$$\int_{-\infty}^{\infty} \int_{-\infty}^{\infty} |\Omega|^2 dq dp = 1 \quad \Rightarrow \quad C = \frac{1}{\sqrt{2\pi}}$$

$$S = S_{\text{trans}} + S_{\text{rot}} + S_{\text{vib}} + S_{\text{el}}$$

$$S = S_{\text{trans}} \Omega \approx S_{\text{trans}} \Phi$$

$$= S_{\text{trans}} \left\{ \frac{1}{\Gamma(\frac{3}{2} + \frac{N}{2})} \left[V \left(\frac{\pi^{3/2}}{h^3} \right)^N \right] \right\}$$

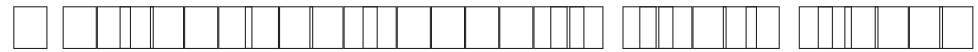
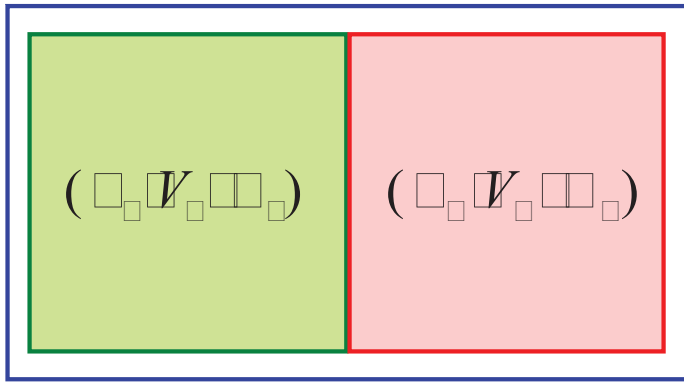
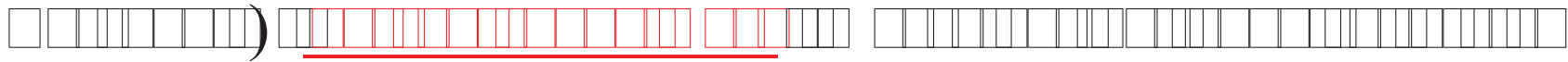
$$= S_{\text{trans}} \ln \left[\frac{1}{\Gamma(\frac{3}{2} + \frac{N}{2})} \left[V \left(\frac{\pi^{3/2}}{h^3} \right)^N \right] \right]$$

$$\approx S_{\text{trans}} \ln \left[\frac{1}{\Gamma(\frac{3}{2} + \frac{N}{2})} \right] + S_{\text{trans}} \ln \left[V \left(\frac{\pi^{3/2}}{h^3} \right)^N \right] \quad (1)$$

$$= S_{\text{trans}} \ln \left[\frac{1}{\Gamma(\frac{3}{2} + \frac{N}{2})} \right] + S_{\text{trans}} \ln \left[V \left(\frac{\pi^{3/2}}{h^3} \right)^N \right] + \frac{3}{2} N k_B$$

**Entropie des
idealen Gases** (S_{trans})

$\square\square)$



$$\square_{\square} = \square_{\square} = \square\square V_{\square} = V_{\square} = V\square\square_{\square} = \square_{\square} = \square$$

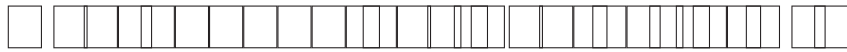
$$\begin{aligned} \square_{\square}^{(0)} &= \square_{\square}^{(0)} = \square_{\square} \square\square\square + \square_{\square} \square \left\{ \square \left[V \left(\frac{\square \pi \square}{\square\square\square} \right) \right] + \frac{\square}{\square} \right\} \\ &= \square_{\square} \square\square\square + \square_{\square} \square \left\{ \square [V\square] + \frac{\square}{\square} \right\} \end{aligned}$$



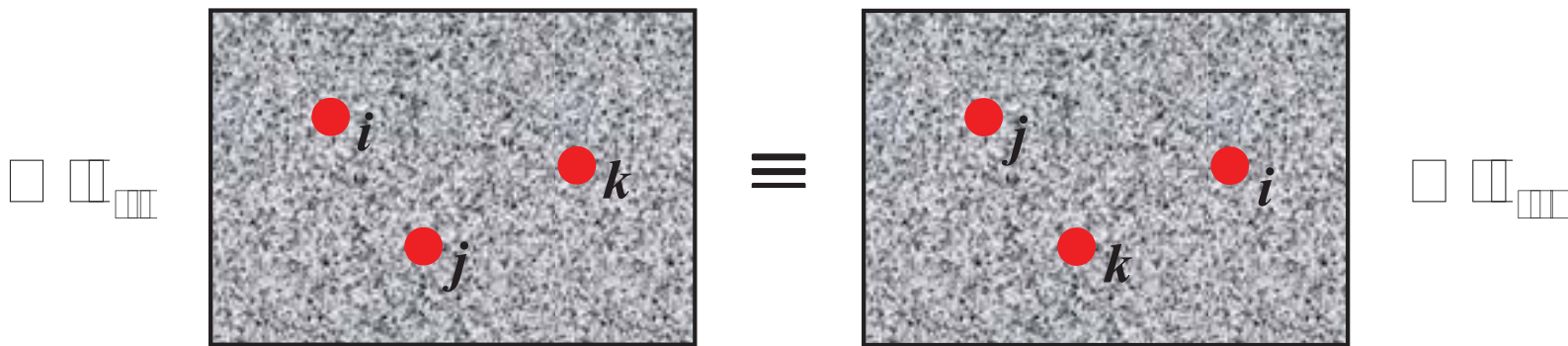
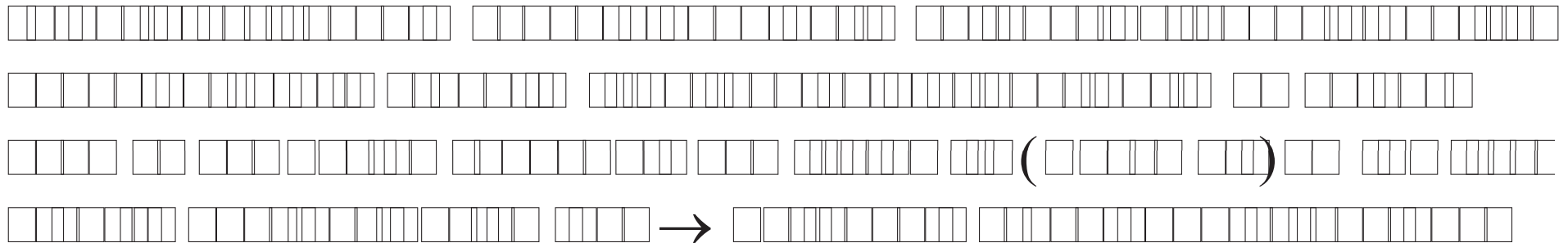
$$\square \square\square\square\square\square\square \square\square\square\square \rightarrow \Delta\square \square 0$$

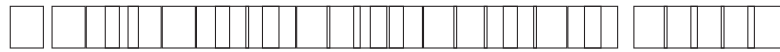
$$\square = \square_{\square} + \square_{\square} = \square\square_{\square} \square\square\square + \square_{\square} \square \left\{ \square [V\square] + \frac{\square}{\square} \right\} + \square_{\square} \square \left\{ \square [V\square] + \frac{\square}{\square} \right\}$$

$$\Rightarrow \Delta\square = \square - \left(\square_{\square}^{(0)} + \square_{\square}^{(0)} \right) = \square\square_{\square} \square \square\square\square > 0 \quad \text{Mischentropie}$$



„korrekte Boltzmann-Abzählung“





$$\Omega(V, N, T) = \frac{1}{N!} \left\{ \frac{1}{V^N} \left(\frac{\pi^{3N/2}}{(2\pi m k_B T)^{3N/2}} \right)^N + \frac{1}{V} \right\}$$

$$\frac{1}{T} = \frac{\partial \Omega}{\partial E} \bigg|_{V, N} = \frac{1}{N} \frac{\partial \Omega}{\partial E} \Rightarrow \frac{1}{T} = \frac{1}{N} \frac{\partial \Omega}{\partial E}$$

$$p = T \frac{\partial \Omega}{\partial V} \bigg|_{N, T} = \frac{N T}{V} \Rightarrow pV = N T$$

$$\frac{1}{T} = \frac{1}{N} \frac{\partial \Omega}{\partial E} \Rightarrow \left(\frac{1}{T} \right)^N = \frac{(\pi^{3N/2} (2\pi m k_B T)^{-3N/2})^N}{V^N} = \frac{1}{\lambda_T^3}$$

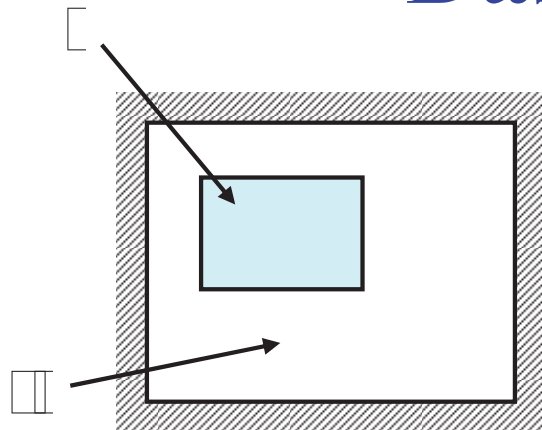
$$\Rightarrow \Omega(V, N, T) = \frac{1}{N!} \left\{ \frac{1}{V^N} \left(\frac{\pi^{3N/2}}{(2\pi m k_B T)^{3N/2}} \right)^N + \frac{1}{V} \right\}$$

Sackur-Tetrode-Gleichung

$$\frac{1}{V} = \frac{1}{V}$$

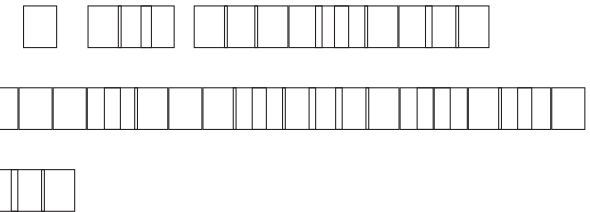
$$\frac{1}{V} = \pi^2 T$$

Das kanonische Ensemble



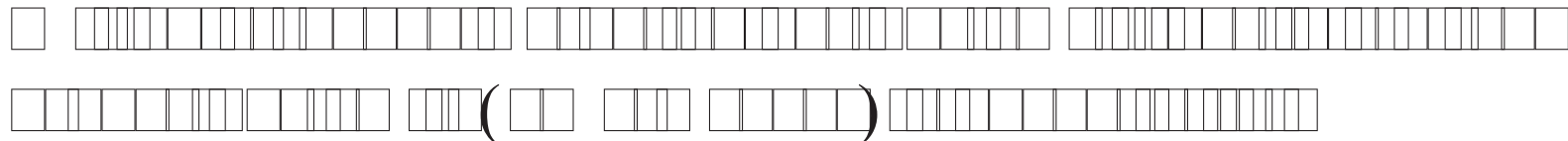
Gesamtsystem Σ

geschlossenes System:

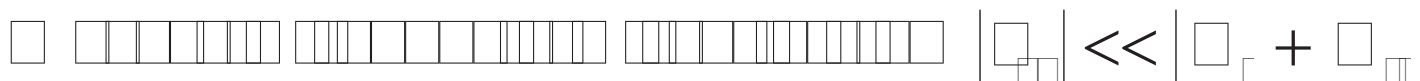


vorgegebene Makroparameter: T, V


Kanonisches (K) Ensemble




$$E_{\Sigma} = E_{\text{cl}} + E_{\text{int}} + E_{\text{ext}}(\{q_{\text{cl}}\}, \{q_{\text{int}}\})$$



$$\Rightarrow \quad \Omega_{\Sigma}(\underline{q}, \underline{p}) \approx \Omega_I(\underline{q}_I, \underline{p}_I) + \Omega_{II}(\underline{q}_{II}, \underline{p}_{II})$$



Mikrozustand
in System *I*



Mikrozustand
in System *II*

thermischer Kontakt, Energien der Teilsysteme nehmen Mittelwerte an
Zusammen bilden Systeme *I* + *II* ein mikrokanonisches Ensemble

Gesamtenergie: $E = \hat{E}_I + \hat{E}_{II} \approx \hat{E}_{II} ; \quad \hat{E}_I \ll \hat{E}_{II}$

Phasenraumvolumen:

$$\Omega(E, V, N) = \Omega_I(E_I, V_I, N_I) \cdot \Omega_{II}(E - E_I, V_{II}, N_{II})$$

$$\Omega_I \ll \Omega_{II}$$

Anzahl äquivalenter Realisierungen eines Mikrozustands $(\underline{q}_I, \underline{p}_I)$ im System *I* ist dem Phasenraumvolumen des Systems *II* proportional

$$\rho_I(E_I) \propto \Omega_{II}(E - E_I) = \exp(S_{II}(E - E_I) / k_B)$$

Entwicklung von S_{II} um E :

$$S_{II}(E - E_I) \approx S_{II}(E) - E_I \frac{\partial S_{II}(E)}{\partial E} + \square(E_I) \approx S_{II}(E) - \frac{E_I}{\square_{II}}$$

\square_{II} : Temperatur des Wärmebades

$$S_{II} = k_B \ln \Omega_{II} \Rightarrow \Omega_{II}(E_{II}) \approx \Omega_{II}(E) \cdot \square^{E_I/k_B \square}$$

Phasenraumvolumen sinkt sehr rasch mit wachsender Energie E_I

(Es ist für Gesamtsystem sehr ungünstig, viel Energie in I zu investieren)

$$\Rightarrow \rho_I(E_I) \propto \exp\left(\frac{S_{II}(E)}{k_B}\right) \cdot \exp\left(-\frac{E_I}{k_B \square}\right)$$

hängt nur von Größen des Systems II ab \rightarrow konstant
 \rightarrow wird durch Normalisierung verschwinden

\square : von System II vorgegebener Makroparameter

wir betrachten nur noch das Ω ntersystem I (Indizes weggelassen)

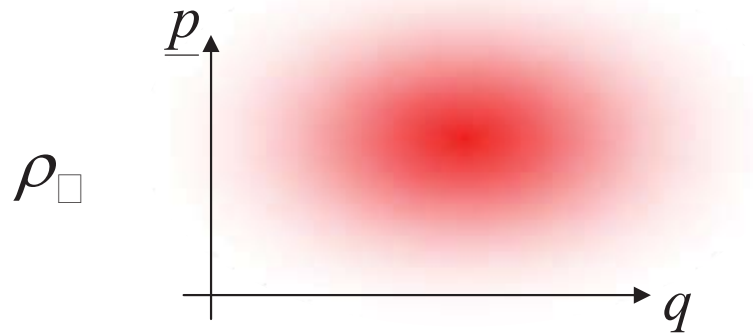
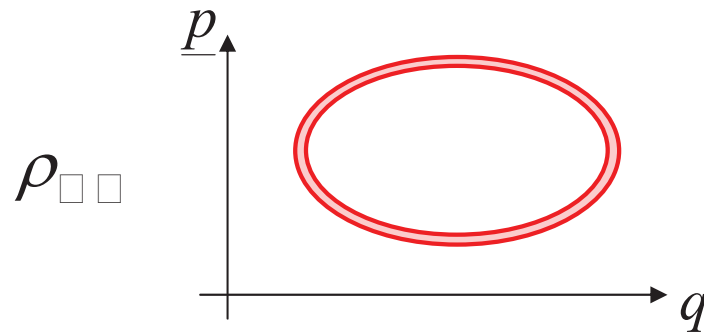
$$\Rightarrow \rho_{\Omega}(\underline{q}, \underline{p}) \propto \exp\left(-\frac{\Omega(\underline{q}, \underline{p})}{k_B \Omega}\right) = \exp\left(-\frac{E}{k_B \Omega}\right)$$

oltmannfaktor

Normierung von ρ_{Ω} ($\beta \Omega (k_B \Omega)^N$):

$$\int \rho_{\Omega}(\underline{q}, \underline{p}) \Omega^N q^N p = \Omega \Rightarrow \Omega = \Omega / \int \Omega^{-\beta \Omega(\underline{q}, \underline{p})} \Omega^N q^N p$$

$$\Rightarrow \rho_{\Omega}(\underline{q}, \underline{p}) = \frac{\Omega^{-\beta \Omega(\underline{q}, \underline{p})}}{\int \Omega^{-\beta \Omega(\underline{q}, \underline{p})} \Omega^N q^N p} = \frac{\Omega}{N \Omega^N} \frac{\Omega}{\Omega} \Omega^{-\beta \Omega(\underline{q}, \underline{p})}$$



$$\Omega_{\Omega}(\Omega, V, N) = \frac{\Omega}{N \Omega^N} \int \Omega^{-\beta \Omega(\underline{q}, \underline{p})} \Omega^N q^N p$$

kanonische Zustandssumme

**Z_K ist die erzeugende Funktion für das kanonischen Ensemble:
makroskopische thermodynamischen Größen des Systems können
von ihr abgeleitet werden**

$$\rightarrow \text{mittlere Energie: } \langle E \rangle = \frac{1}{N} \frac{1}{\Omega} \int \Omega(\underline{q}, \underline{p}) e^{-\beta \Omega(\underline{q}, \underline{p})} \Omega(\underline{q}, \underline{p}) d\underline{q} d\underline{p} = -\frac{\partial}{\partial \beta} \ln \Omega$$

$$\rightarrow \text{Entropie: } S = -k_B \langle \ln \rho \rangle$$

$$= -k_B \frac{1}{N} \int \Omega(\underline{q}, \underline{p}) \rho(\underline{q}, \underline{p}) \ln \rho(\underline{q}, \underline{p}) d\underline{q} d\underline{p}$$

$$= k_B \frac{1}{N} \int \Omega(\underline{q}, \underline{p}) \rho(\underline{q}, \underline{p}) \left[\frac{\Omega(\underline{q}, \underline{p})}{k_B} + \ln \Omega \right] d\underline{q} d\underline{p}$$

$$= k_B \ln \Omega + k_B \frac{\partial}{\partial \beta} \ln \Omega$$

$$= \left[\begin{array}{l} \beta = (k_B)^{-1} \\ \frac{\partial}{\partial \beta} = -\frac{1}{k_B} \frac{\partial}{\partial T} \end{array} \right] = k_B (\ln \Omega + \beta \langle E \rangle)$$

grundlegendes thermodynamisches Potential des kanonischen Ensembles: die (**Helmholtzsche**) **freie Energie** $F(T, V, N)$

$$\Omega = -k_B \ln \Omega$$

→ Entropie: $S = k_B \ln \Omega + k_B \frac{\partial}{\partial \Omega} \ln \Omega = - \frac{\partial \Omega}{\partial \Omega} \Big|_{V, N}$

Legendre Transformation

Behauptung: $\Omega = E - S \frac{\partial E}{\partial S} = E - S \Omega$

$$\Rightarrow \Omega = E - \Omega(S)$$

$$= \Omega S - p \Omega V + \mu \Omega N - S \Omega - \Omega S$$

$$= -S \Omega - p \Omega V + \mu \Omega N = \Omega(\Omega, V, N)$$

$$\Rightarrow \frac{\partial \Omega}{\partial \Omega} \Big|_{V, N} = -S; \quad \frac{\partial \Omega}{\partial V} \Big|_{\Omega, N} = -p; \quad \frac{\partial \Omega}{\partial N} \Big|_{\Omega, V} = \mu$$

$$\phi = -k_B T \ln \Omega \quad \Rightarrow \quad \Omega = \exp(-\phi / k_B T)$$

$$\text{vgl MK:} \quad \Omega = \exp(S / k_B T)$$

<u>MK</u>	\longrightarrow	<u>K</u>
Ω	\longrightarrow	Ω
S	\longrightarrow	ϕ

Berechnung von Ω für ideales Gas:

$$\begin{aligned}
 \Omega &= \frac{1}{N!} \int \prod_{i=1}^N q_i \prod_{i=1}^N p_i \exp(-\beta \phi) = \frac{V^N}{N!} \prod_{i=1}^N \int p_i \exp\left(-\beta \frac{p_i^2}{2m}\right) \\
 &= \frac{V^N}{N!} \prod_{i=1}^N \sqrt{\frac{2\pi m}{\beta}} \int q_i \exp(-\beta \frac{q_i^2}{2m}) \\
 &= \frac{V^N}{N!} \left(\frac{2\pi m}{\beta} \right)^{3N/2} = \frac{V^N}{N! \lambda^3}
 \end{aligned}$$

Berechnung thermodynamischer Größen aus $\Omega = \frac{V^N}{N!} \left(\frac{4\pi}{\beta} \right)^{3N/2}$

Druck: $p = -\frac{\partial \Omega}{\partial V} = k_B \frac{\partial \ln \Omega}{\partial V}$

$$= k_B \frac{\partial}{\partial V} [\ln \Omega + N \ln V] = k_B N \frac{1}{V} \Rightarrow pV = Nk_B T$$

Energie: $\langle E \rangle = -\frac{\partial \ln \Omega}{\partial \beta} = -\frac{\partial}{\partial \beta} \left[\ln \Omega - \frac{3N}{2} \ln \beta \right] = \frac{3N}{2} \cdot \frac{1}{\beta} = \frac{3}{2} Nk_B T$

Entropie: $S = k_B \ln \Omega + k_B \frac{\partial}{\partial T} \ln \Omega$

$$= k_B \ln \left[\frac{V^N}{N!} \left(\frac{4\pi}{\beta} \right)^{3N/2} \right] + k_B \frac{\partial}{\partial T} \left[\ln \Omega + \frac{3}{2} N \ln T \right]$$

$$= k_B N \left\{ \ln \left[\frac{V}{N} \left(\frac{4\pi}{\beta} \right)^{3/2} \right] + \frac{5}{2} \right\} + k_B \frac{3}{2} N = k_B N \left\{ \ln \left[\frac{4\pi}{3} \lambda_T^3 \right] + \frac{5}{2} \right\}$$

reduzierte kanonische Verteilungen im Phasenraum

$$\mathcal{H}(\underline{q}, \underline{p}) = \sum_{i=1}^N \frac{p_i^2}{2m_i} + V(\underline{q})$$

$$\rho(\underline{q}, \underline{p}) \propto \frac{\prod_i \exp(-p_i^2 / 2mk_B) \exp(-V(\underline{q}) / k_B)}{\int \prod_i p_i \prod_i \exp(-p_i^2 / 2mk_B) \int \prod_i q_i \exp(-V(\underline{q}) / k_B)}$$

$$\mathcal{H}(\underline{p}) = \int \rho(\underline{q}, \underline{p}) \prod_i q_i = \frac{\prod_i \exp(-p_i^2 / 2mk_B)}{\prod_i \int p_i \exp(-p_i^2 / 2mk_B)}$$

$$\mathcal{H}(\vec{p}) = \int \mathcal{H}(\underline{p}) \prod_{i=1}^{N-1} p_i = (\pi mk_B)^{-N/2} \exp\left(-\frac{p^2}{2mk_B}\right)$$

mit $\mathcal{H}(\vec{p}) \delta^N \vec{p} = \mathcal{H}(\vec{p}) \delta^N \vec{p} \Rightarrow \mathcal{H}(\vec{p}) = \left(\frac{1}{\pi mk_B}\right)^{N/2} \exp\left(-\frac{\vec{p} \cdot \vec{p}}{2mk_B}\right)$

Maxwell-Boltzmann-Verteilung

analog: $V(\underline{q}) = \sum_{i=1}^N V(\vec{r}_i)$

$$\Rightarrow \Omega(\underline{q}, \underline{p}) = \sum_{i=1}^N \Omega_i(\vec{q}_i, \vec{p}_i)$$

$$\rho_i(\underline{q}, \underline{p}) = \frac{\Omega_i}{N \Omega^N} \frac{\prod_j \exp(-\Omega_j / k_B T)}{\Omega(\underline{q}, V, N)}$$

Ausführung der Integrale und Produkte: $\Omega(\underline{q}, V, N)$

$$\Rightarrow \rho(\vec{r}) = \Omega(\vec{r}) \propto \exp\left(-\frac{V(\vec{r})}{k_B T}\right)$$

Beispiel: Gravitationspotential $V(\vec{r}) = m g h$

$$p = \frac{N}{V} k_B T = n k_B T \Rightarrow p(h) = p(0) \cdot \exp\left(-\frac{m g h}{k_B T}\right)$$

barometrische Höhenformel

Erst- und Hauptsatz der Thermodynamik

Sei eine beliebige Variable aus (q, p)

$$\begin{aligned} \Rightarrow \left\langle \frac{\partial}{\partial q} \right\rangle &= \frac{1}{N} \frac{1}{\Omega} \int \frac{\partial}{\partial q} \Omega^{\beta} \Omega^N q^N p \\ &= - \frac{1}{N} \frac{1}{\Omega} \int \frac{\partial \Omega^{\beta}}{\partial q} \Omega^N q^N p = k_B \delta_{q, \dots} \end{aligned}$$

→ **Erst- und Hauptsatz:**

$$\left\langle q \frac{\partial V}{\partial q} \right\rangle = k_B \delta_{q, \dots}$$

kinetische Energie:

$$E_{k, \dots} = \sum_k \frac{p_k^2}{2m} \Rightarrow \sum_k p_k \frac{\partial E_{k, \dots}}{\partial p_k} = \sum_k p_k \frac{p_k}{m} = E_{k, \dots}$$

$$\Rightarrow \left\langle \sum_k p_k \frac{\partial}{\partial p_k} \right\rangle = \langle E_{k, \dots} \rangle = N k_B$$

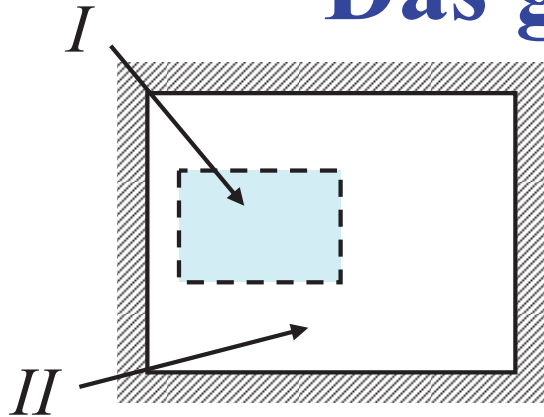
Gleichverteilungssatz

□) harmonischer □szillator

$$V = \sum_{\square} V_{\square} = \sum_{\square} \frac{\square \omega^{\square}}{\square} q_{\square}^2 \Rightarrow \langle V_{\square} \rangle = \frac{\square}{\square} k_B \square$$

Energie pro harmonischem □reiheitsgrad = $k_B \square$

Das großkanonische Ensemble



offenes System: Austausch von Energie und Teilchen zugelassen

vorgegebene Makroparameter: β , V , μ

Großkanonisches Ensemble (GK)

auch für Teilchenzahl kann nur Mittelwert bestimmt werden

$$N \rightarrow \langle N \rangle$$

analoge physikalische Argumente wie für die Herleitung von ρ_β

$$\rho_I(E_I, N_I) \propto \Omega_{II}(E - E_I, N - N_I) = \exp(S_{II}(E - E_I, N - N_I) / k_B)$$

Entwicklung
um E, N_β

$$\Rightarrow \rho_I(E_I) \propto \exp\left(\frac{S_{II}(E, N)}{k_B}\right) \cdot \exp\left(-\frac{E_I}{k_B \beta}\right) \cdot \exp\left(\frac{\mu N_I}{k_B \beta}\right)$$

$\beta\mu$: von System II vorgegebene Makroparameter

$$\Rightarrow \rho_{\square\square}(\underline{q}, \underline{p}) \propto \exp\left(-\frac{\square}{k_B\square} + \frac{\mu N}{k_B\square}\right) = \exp(-\beta(\square - \mu N))$$

μ : Gleichgewichtsparameter für Teilchenaustausch: μ ist die (neg.) Energie pro Teilchen, die erforderlich ist, um dem System ein Teilchen bei konstantem \square und V zuzuführen

Normierung von $\rho_{\square\square}$: $\Rightarrow \rho_{\square\square}(\underline{q}, \underline{p}) = \frac{\square}{N\square\square^N} \frac{\square}{\square\square} \square^{\beta(\square - \mu N)}$

$$\square_{\square\square}(\square, V, \mu) = \sum_{N=\square}^{\infty} \frac{\square}{N\square\square^N} \int \square^{\beta(\square - \mu N)} \square^{\square N} q^{\square N} p$$

**großkanonische
Ensemble**

$$= \sum_{N=\square}^{\infty} \square^{\beta\mu N} \square_{\square}(\square, V, N) = \sum_{N=\square}^{\infty} \square^N \square_{\square}(\square, V, N)$$

Chem. Pot. $\square = \square^{\beta\mu}$

$$\langle N \rangle = \frac{1}{\Omega} \sum_{N=0}^{\infty} \frac{\Omega_N}{\Omega} \int \Omega^N q \Omega^N p N \Omega^{\beta(\Omega - \mu N)}$$

→ mittlere Teilchenzahl: $\langle N \rangle = k_B \Omega \frac{\partial}{\partial \mu} \ln \Omega$

$$\langle E \rangle = \frac{1}{\Omega} \sum_{N=0}^{\infty} \frac{\Omega_N}{\Omega} \int \Omega^N q \Omega^N p \Omega \Omega^{\beta(\Omega - \mu N)}$$

$$\frac{\partial \ln \Omega}{\partial \Omega} = \frac{1}{\Omega} \sum_{N=0}^{\infty} \frac{\Omega_N}{\Omega} \int \Omega^N q \Omega^N p \frac{\Omega - \mu N}{k_B \Omega} \Omega^{\beta(\Omega - \mu N)} = \frac{\langle E \rangle - \mu \langle N \rangle}{k_B \Omega}$$

→ mittlere Energie: $\langle E \rangle = k_B \Omega \frac{\partial}{\partial \Omega} \ln \Omega + k_B \mu \frac{\partial}{\partial \mu} \ln \Omega$

Entropie: $S = -k_B \langle \ln \rho_{\Omega} \rangle$

$$= k_B \sum_{N=0}^{\infty} \frac{\Omega_N}{\Omega} \int \Omega^N q \Omega^N p \rho_{\Omega} (\beta \Omega - \mu \beta N + \ln \Omega)$$

$$= \frac{1}{\Omega} (\langle E \rangle - \mu \langle N \rangle) + k_B \ln \Omega = k_B \frac{\partial \ln \Omega}{\partial \Omega} + k_B \ln \Omega$$

Großkanonisches Potential: $\Omega(\beta, V, \mu) = -k_B \ln \Xi(\beta, V, \mu)$

$$\Xi(\beta, V, \mu) = \sum_{N=0}^{\infty} e^{\beta \Omega(\beta, V, \mu)}$$

→ Entropie:

$$S = k_B \ln \Xi + k_B \frac{\partial}{\partial \beta} \ln \Xi = - \frac{\partial \Omega}{\partial \beta} = k_B (\ln \Xi + \beta \langle E \rangle - \beta \mu \langle N \rangle)$$

aus Legendre Transformation: $\Omega(\beta, V, \mu) = \Omega(\beta, V, N) - \mu N = -p(\beta, \mu)V$

$$\Omega(\beta, V, \mu) = \Omega(\beta, V, N) - N\mu - \mu N = -S\beta - pV - N\mu$$

$$\left. \frac{\partial \Omega}{\partial \beta} \right|_{V, \mu} = -S; \quad \left. \frac{\partial \Omega}{\partial V} \right|_{\beta, \mu} = -p; \quad \left. \frac{\partial \Omega}{\partial \mu} \right|_{\beta, V} = -N$$

großkanonische Zustandssumme des idealen Gases:

$$\begin{aligned}\Omega(\beta, V, \mu) &= \sum_{N=0}^{\infty} e^{\beta \mu N} \Omega(\beta, V, N) \\ &= \sum_{N=0}^{\infty} \frac{V^N}{N! \lambda^N} = \sum_{N=0}^{\infty} \frac{(V \lambda^{-1})^N}{N!} = e^{V \lambda^{-1}}\end{aligned}$$

daraus abgeleitete thermodynamische Größen:

Großkanonisches Potential: $\Omega = -k_B \ln \Omega = -k_B \frac{V}{\lambda}$

Teilchenzahl: $\langle N \rangle = k_B \frac{\partial}{\partial \mu} \ln \Omega = \frac{V}{\lambda}$

Druck: $p = -\frac{\Omega}{V} = k_B \frac{\partial \ln \Omega}{\partial V} = k_B \frac{1}{\lambda} = \frac{\langle N \rangle k_B}{V}$

chemisches Potential: $\mu = k_B \ln \Omega = -k_B \ln \left(\frac{V}{\langle N \rangle} \lambda^{-1} \right)$

Entropie: $S = -\frac{\partial \Omega}{\partial T} = \frac{1}{k_B T} \frac{\partial \Omega}{\partial \beta} = -\frac{1}{k_B T} \frac{\partial (\beta^{-1} V \lambda^{-1})}{\partial \beta}$

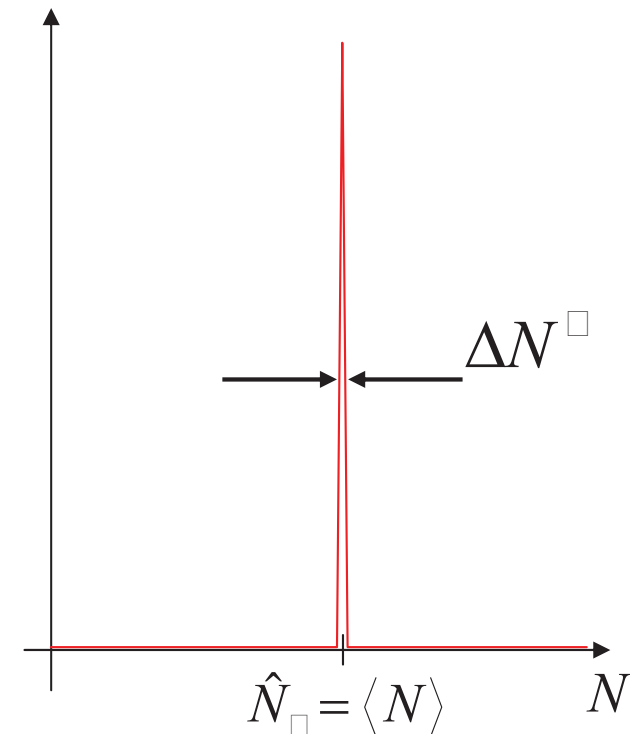
$$= -\frac{1}{k_B T} \left[\beta^{-1} V \lambda^{-1} \cdot \mu - \frac{1}{\beta} \beta^{-1} V \lambda^{-1} \right] = k_B \langle N \rangle \left[\ln \left(\frac{1}{\lambda} \right) + \frac{1}{\beta} \right]$$

Energie: $\langle E \rangle = \frac{1}{\beta} + S T + \mu \langle N \rangle = \langle N \rangle k_B T \left(-\frac{1}{\beta} + \frac{1}{\beta} \right) = \frac{1}{\beta} \langle N \rangle k_B T$

Teilchenfluktuationen:

$$\text{eig.: } \Delta N = \langle N^2 \rangle - \langle N \rangle^2$$

Ges.: $\frac{1}{\Omega} \cdot \sum_N \int N^2 \rho_{\text{eq}}^{(N)} q_{\text{eq}}^{(N)} p$
 $-\left[\frac{1}{\Omega} \cdot \sum_N \int N \rho_{\text{eq}}^{(N)} q_{\text{eq}}^{(N)} p \right]^2$



vermutlich von der Form $\frac{\partial}{\partial \mu} \ln \Omega$

erste Ableitung produziert Mittelwert von N , zweite Ableitung sollte nach der Kettenregel die erwartete Form haben

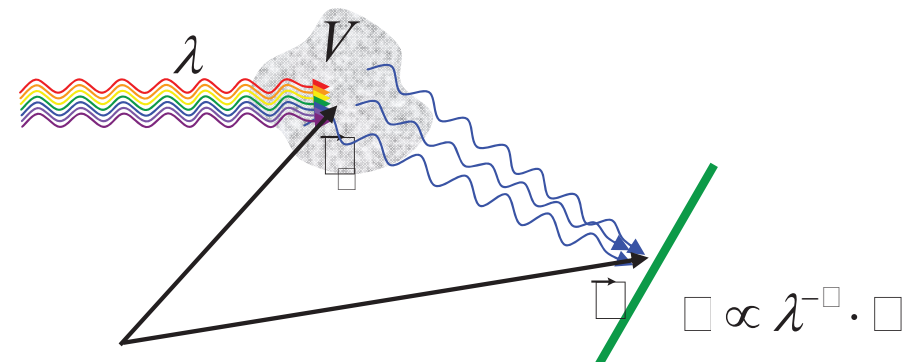
$$\begin{aligned} \frac{\partial \langle N \rangle}{\partial \mu} &= k_B \frac{\partial}{\partial \mu} \ln \Omega = k_B \frac{\partial}{\partial \mu} \left[\frac{1}{\Omega} \sum_N \beta N \Omega^N \right] \\ &= k_B \left[- \frac{1}{\Omega^2} \left(\sum_N \beta N \Omega^N \right)^2 + \frac{1}{\Omega} \sum_N (\beta N)^2 \Omega^N \right] = \beta (\Delta N) \end{aligned}$$

Beispiel: ideales Gas

$$\frac{\partial \langle N \rangle}{\partial \mu} = \frac{\partial}{\partial \mu} \left(\frac{V}{\lambda^3} \right) = \beta \left(\frac{V}{\lambda^3} \right) = \beta \langle N \rangle \Rightarrow \frac{\Delta N}{\langle N \rangle} = \frac{1}{\sqrt{N}}$$

Anwendung: Lichtstreuung

Rayleigh-Streuung



für Punktquelle:
$$E(\vec{r}, \omega) \propto \frac{e^{ik|\vec{r}-\vec{r}_0|}}{|\vec{r}-\vec{r}_0|} \omega^3 N(\vec{r}_0) e^{-i\omega t_0}$$

$$= \omega^3 \frac{e^{i(k-\omega t_0)}}{|\vec{r}-\vec{r}_0|} \int_V d\vec{r}' \underbrace{e^{i\vec{k}(\vec{r}-\vec{r}')} \delta(\vec{k})}_{\delta(\vec{k})} (\langle N \rangle + \Delta N(\vec{r}'))$$

Mittelung über Gas mit linearer Ausdehnung $\propto \text{groß } (k \ll \omega)$

$$E(\vec{r}, \omega) \propto \omega^3 \frac{e^{i(k-\omega t_0)}}{|\vec{r}-\vec{r}_0|} \int_V d\vec{r}' \underbrace{e^{i\vec{k}(\vec{r}-\vec{r}')} \delta(\vec{k})}_{\delta(\vec{k})} (\langle N \rangle + \Delta N(\vec{r}'))$$

$$\propto \omega^3 \frac{e^{i(k-\omega t_0)}}{|\vec{r}-\vec{r}_0|} \int_V d\vec{r}' e^{i\vec{k}(\vec{r}-\vec{r}')} \Delta N(\vec{r}')$$

$$I = \langle |E(\vec{r}, \omega)|^2 \rangle \propto \frac{\omega^6}{|\vec{r}-\vec{r}_0|^2} \int_V d\vec{r}' \int_V d\vec{r}'' e^{i\vec{k}(\vec{r}-\vec{r}')-i\vec{k}(\vec{r}-\vec{r}'')} \langle \Delta N(\vec{r}') \Delta N(\vec{r}'') \rangle$$

$$\langle \Delta N(\vec{r}') \Delta N(\vec{r}'') \rangle = \langle \Delta N(\vec{r}')^2 \rangle \delta(\vec{r}' - \vec{r}'')$$

$$I = \langle |E(\vec{r}, \omega)|^2 \rangle \propto \frac{\omega^6}{|\vec{r}-\vec{r}_0|^2} \int_V d\vec{r}' \langle \Delta N(\vec{r}')^2 \rangle$$

Korrespondenzen

klassische Mechanik

(\vec{q}, \vec{p}) im Phasenraum

Observable ist eine reelle Funktion von (\vec{q}, \vec{p})

Phasenraumdichte $\rho(\vec{q}, \vec{p})$

Ensemble-Erwartungswerte:

$$\langle \square \rangle = \int_{\Gamma} \rho \square^N q \square^N p$$

Zeitentwicklungen:

$$\frac{\square}{\square} \square = -\{\square, \square\}$$

$$\frac{\square}{\square} \rho = +\{\square, \rho\}$$

Quantenmechanik

$|\psi\rangle$ im Hilbertraum

Observable beschrieben durch selbstadjungierten Operator $\square = \square^\dagger$

Dichtematrix (Operator) ρ

$$\overline{\langle \square \rangle} = Sp(\rho \square)$$

$$\hbar \frac{\square}{\square} \square = -[\square, \square]$$

$$\hbar \frac{\square}{\square} \rho = +[\square, \rho]$$

Postulate der QuantenStatMech

Boltzmann: Postulat der **gleichen a priori Wahrscheinlichkeit**

klassische Statistische Mechanik:

$$\rho_{\text{cl}}(\vec{r}, \vec{p}) = \rho_{\text{cl}}(\Omega(\vec{r}, \vec{p})) = \begin{cases} \rho_{\text{cl}} = \text{const}, & \text{falls } E < \Omega < E + \Delta \\ 0 & \text{sonst} \end{cases}$$

in Korrespondenz: QuantenStatistische Mechanik:

$$\rho_{\text{cl}}^q(\Omega) = \sum_{\alpha} |\alpha\rangle\langle\alpha|; \quad |\alpha\rangle = E_{\alpha} |\alpha\rangle, \quad E \leq E_{\alpha} \leq E + \Delta$$

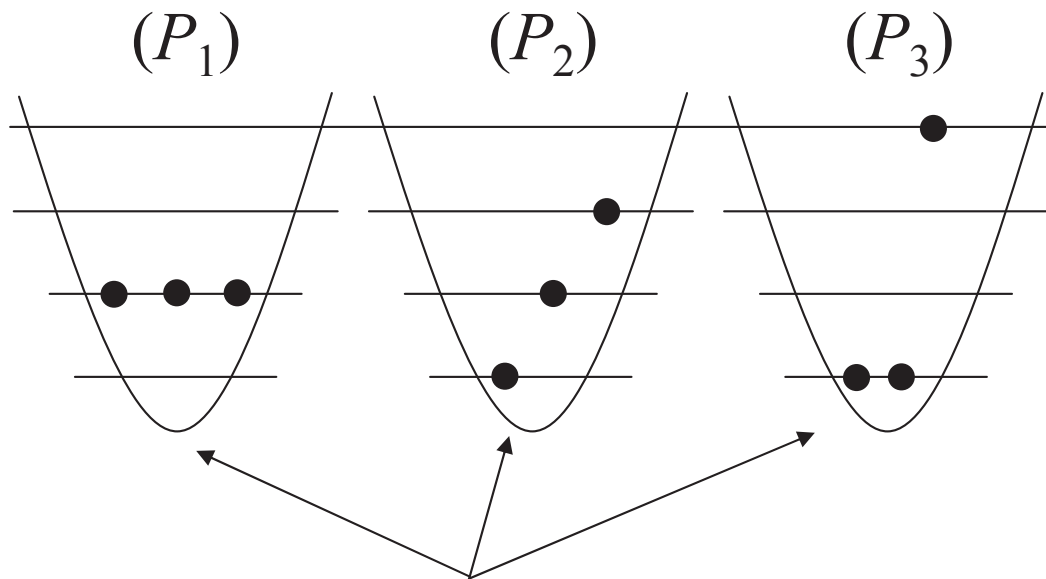
ρ_{cl}^q ist diagonal in Energie-Eigenbasis

Gleichbesetzung aller Eigenzustände, deren Eigenenergie in der mikrokanonischen Energieschale liegen
(ρ_{cl}^q unabhängig von Ω)

Beispiel:

System von N identischen harmonischen Oszillatoren mit

Makrozustand $E = \sum_i (n_i + \frac{1}{2}) \hbar \omega = \frac{N}{2} \hbar \omega$



$$P_1 = P_2 = P_3$$

mögliche Mikrozustände zu festem E

Beschreibung durch **Dichtematrix** (statistische Matrix)

Folgerungen:

1) Entropie - mikrokanonisch

analog zur klassischen Statistischen Mechanik erwarten wir:

$$\overline{\langle S \rangle} = k \ln \Omega_{qm}$$

Beweis:

Korrespondenzprinzip für Entropieoperator:

$$\begin{aligned}\hat{S} &= -k \ln \hat{\rho}_{MK} = -k \sum_{E \leq E_n \leq E + \Delta E} |n\rangle \ln \frac{1}{\Omega_{qm}} \langle n| \\ \overline{\langle S \rangle} &= Sp(\hat{\rho} \hat{S}) = \sum_m \langle m | \left(\sum_{E \leq E_n \leq E + \Delta E} \frac{1}{\Omega_{qm}} |n\rangle \langle n| \right) \hat{S} | m \rangle \\ \overline{\langle S \rangle} &= k \ln \Omega_{qm}\end{aligned}$$

2) 3. Hauptsatz (Stern'sches Theorem)

$$S = 0 \quad (\text{unabhängig von anderen Zustandsgrößen})$$

Beweis

Für $T \rightarrow 0$ befindet sich ein System im Grundzustand E_0

falls nicht entartet

$$\lim_{T \rightarrow 0} \sum (\text{Zustände}) = 1 = \Omega_{qm}$$

$$S = k \ln \Omega_{qm} = k \ln 1 = 0$$

Beispiel: 2 Spin-1 Teilchen: $\square = \square_1 \square_2$

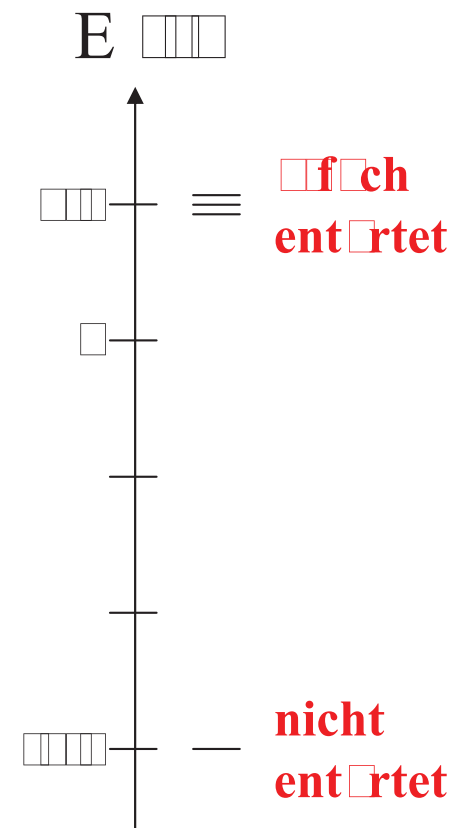
Eigenzustände:

$$|S = 0, M = 0\rangle = \frac{1}{\sqrt{2}} \left(\left| \frac{1}{2}, \frac{1}{2} \right\rangle \left| \frac{1}{2}, -\frac{1}{2} \right\rangle - \left| \frac{1}{2}, -\frac{1}{2} \right\rangle \left| \frac{1}{2}, \frac{1}{2} \right\rangle \right)$$

$$|S = 1, M = 0\rangle = \frac{1}{\sqrt{2}} \left(\left| \frac{1}{2}, \frac{1}{2} \right\rangle \left| \frac{1}{2}, -\frac{1}{2} \right\rangle + \left| \frac{1}{2}, -\frac{1}{2} \right\rangle \left| \frac{1}{2}, \frac{1}{2} \right\rangle \right)$$

$$|S = 1, M = \pm 1\rangle = \left(\left| \frac{1}{2}, \pm \frac{1}{2} \right\rangle \left| \frac{1}{2}, \pm \frac{1}{2} \right\rangle \right)$$

$$\square |SM\rangle = \frac{\square}{2} (S^2 - \square_1^2 - \square_2^2) |SM\rangle = \begin{cases} -\frac{3\square}{2} & S = 0 \\ \square & S = 1 \end{cases}$$



Besetzungszahl-Formel

Der Teilchenindex verliert seine Bedeutung als Unterscheidungsmerkmal. Kombination von Ununterscheidbarkeit und Symmetrisierungspostulat führt zur Besetzungszahl-Formel

Basistransformation zu **Fockzustand**:

$$\Phi_{\alpha}(\varphi_1 \dots \varphi_N) = \sum_{\alpha} \Phi_{\alpha}(\varphi_1 \dots \varphi_N) \phi_{\alpha_1}(\varphi_1) \phi_{\alpha_2}(\varphi_2) \dots$$

$$\Rightarrow \Phi_{\alpha} = \sum_{n_1 \dots n_N} \langle \alpha | n_1 \dots n_N \rangle | n_1 \dots n_N \rangle$$

Formel eines Fockzustandes:

$$|\psi\rangle = |n_1 n_2 \dots n_i \dots\rangle$$

Indizes für Einteilchenzustände

Besetzungszahl des Einteilchenzustandes

Besetzungszahlen $n_i = \begin{cases} 0, 1 & \text{Fermionen} \\ 0, 1, 2, \dots & \text{Bosonen} \end{cases}$

N : Gesamtzahl der Teilchen des Systems

Der Zustand $|\square\square\square\square\square\dots\rangle \equiv |\square\rangle$ wird **Vakuuzustand** genannt

Vektoren sind orthonormiert

$$\langle n_1 \dots n_i \dots | n'_1 \dots n'_i \dots \rangle = \delta_{n_1 n'_1} \dots \delta_{n_i n'_i} \dots$$

Insbesondere ist der Vakuumzustand orthonormiert

$$\langle \square | \square \rangle = 1$$

Teilchenzahloperator ist diagonal

$$\hat{N} |n_1 \dots n_i \dots\rangle = N |n_1 \dots n_i \dots\rangle \quad N = \sum_i n_i$$

Die Bose-Systeme

Bose-Einstein-Statistik: **Besetzungszahl nicht beschränkt**

falls $\mu < \epsilon_0$ und $\epsilon_0 \geq 0$
 konvergiert geometrische Reihe: $\sum_{n=0}^{\infty} x^n = \frac{1}{1-x} \quad x < 1$

$$\prod_i \sum_{n_i} x^{\beta(\epsilon_i - \mu)n_i} = \prod_i \left(\frac{1}{1 - x^{\beta(\epsilon_i - \mu)}} \right) = Z_K$$

\Rightarrow thermisches Potential $\Phi(\beta, \mu) = -k_B \ln Z_K(\beta, \mu)$

Benutzung von $\ln(\prod) \rightarrow \sum(\ln)$

$$\Rightarrow \Phi(\beta, \mu) = k_B \sum_i \ln(1 - x^{\beta(\epsilon_i - \mu)})$$

Lösung der Einteilchen-Schrödingergleichung liefert ϵ_i

$\Rightarrow \Phi(\beta, \mu)$ eindeutig bestimmt

Herleitung thermodynamischer Größen:

$$-\frac{\partial \Omega}{\partial \mu} \Big|_{T,V} = \langle N \rangle = \sum_i \left(\frac{1}{e^{\beta(\varepsilon_i - \mu)} - 1} \right) = \sum_i \langle N_i \rangle$$

$$\langle N_i \rangle = \frac{1}{e^{\beta(\varepsilon_i - \mu)} - 1} = \frac{e^{-\beta \mu}}{e^{\beta \varepsilon_i} - 1}$$

Definition der Fugazität $z = e^{\beta \mu}$

$$\varepsilon_i \geq 0 \Rightarrow 1 \leq e^{\beta \varepsilon_i} \leq \infty$$

$$\langle N_i \rangle \geq 0: \mu \leq 0 \Rightarrow 0 \leq z \leq 1$$

$$\varepsilon_0 = 0: \langle N_0 \rangle = \frac{z}{1 - z}$$

$$\mu \rightarrow 0: \langle N_0 \rangle = \frac{e^{-\beta \mu}}{1 - e^{-\beta \mu}} \rightarrow \infty$$

für $\mu \rightarrow 0 \Rightarrow$ Singularität: Grundzustand makroskopisch besetzt

Bose-Einstein-Kondensation

ideale Bose Gas

ϵ : Summe der kinetischen Energien $\epsilon = \sum_i \epsilon_i \cdot n_i = \sum_i \epsilon_i$

Energie als Funktion des Wellenvektors (Dispersionsrelation)

$$\epsilon_i = \frac{\hbar^2 k_i^2}{2m}$$

Kasten mit Volumen V (periodische Randbedingungen) \Rightarrow

$$k_x = 2\pi n_x / L_x, \quad k_y = 2\pi n_y / L_y, \quad k_z = 2\pi n_z / L_z$$

$$\Rightarrow \Omega(\epsilon, \mu) = \frac{V}{(2\pi)^3} \sum_{n_x, n_y, n_z} \ln \left\{ 1 - e^{-\beta \left(\frac{\hbar^2 k^2}{2m} - \mu \right)} \right\}$$

$$\sum_{n_x, n_y, n_z} \dots = \sum_{k_x, k_y, k_z} \dots \rightarrow \int \dots \frac{V}{(2\pi)^3} k^3 dk = \int \Omega(\epsilon) d\epsilon \quad \Omega(\epsilon) \dots \text{Zustandsdichte}$$

Umwandlung der Summe in Integral (V sehr groß)

$$U(V, T, \mu) = k_B V \frac{1}{(2\pi)^3} \int d^3k \ln \left\{ 1 - e^{\beta \left[-\frac{\hbar^2 k^2}{2m} - \mu \right]} \right\}$$

Rotationssymmetrie des Hamiltonoperators $\Rightarrow \int d^3k \rightarrow 4\pi \int k^2 dk$

$$U(V, T, \mu) = k_B V \frac{1}{2\pi^2} \int_0^\infty k^2 dk \ln \left\{ 1 - e^{\beta \left[-\frac{\hbar^2 k^2}{2m} - \mu \right]} \right\}$$

Änderung der Integrationsvariablen $k \rightarrow \varepsilon$:

$$\varepsilon = \frac{\hbar^2}{2m} k^2 \Rightarrow k^2 dk = \frac{1}{2} \left(\frac{2m}{\hbar^2} \right)^{3/2} \sqrt{\varepsilon} d\varepsilon$$

$$\Omega(\Omega, \mu) = k_B \frac{1}{\pi^2} \left(\frac{2m}{\hbar^2} \right)^{3/2} \int_0^\infty d\varepsilon \sqrt{\varepsilon} \ln \{ 1 - e^{-\beta(\varepsilon - \mu)} \}$$

partielle Integration liefert

$$\Omega(\Omega, \mu) = - \frac{1}{\pi^2} \left(\frac{2m}{\hbar^2} \right)^{3/2} \frac{2}{3} \int_0^\infty d\varepsilon \frac{\varepsilon^{3/2}}{e^{-\beta(\varepsilon - \mu)} - 1}$$

wegen $\Omega(\Omega, \mu) = E - \Omega S - \mu \Omega = -p \Omega$

\Rightarrow Zustandsgleichung des idealen Bose Gases

$$p \Omega = \frac{1}{\pi^2} \left(\frac{2m}{\hbar^2} \right)^{3/2} \frac{2}{3} \int_0^\infty d\varepsilon \frac{\varepsilon^{3/2}}{e^{-\beta(\varepsilon - \mu)} - 1}$$

explizite Lösung des Integrals zur Bestimmung der Zustandsgleichung des Bose-Gases nicht notwendig:
 Umweg über Berechnung des Ensemblemittelwerts von

$$\langle \Omega \rangle = -\partial_{\mu} \ln(\Xi(\beta, \mu)) = \frac{1}{\pi^2} \left(\frac{2m}{\hbar^2} \right)^{3/2} \int_0^{\infty} d\varepsilon \frac{\varepsilon^{1/2}}{e^{\beta(\varepsilon - \mu)} - 1}$$

$$\langle \Omega \rangle = \int d\varepsilon \Omega(\varepsilon) \cdot \langle n(\varepsilon) \rangle = \int \langle \Omega(\varepsilon) \rangle d\varepsilon$$

$$\langle \Omega \rangle = E = \int d\varepsilon \varepsilon \langle \Omega(\varepsilon) \rangle = \frac{1}{\pi^2} \left(\frac{2m}{\hbar^2} \right)^{3/2} \int_0^{\infty} d\varepsilon \frac{\varepsilon^{3/2}}{e^{\beta(\varepsilon - \mu)} - 1}$$

\Rightarrow Zustandsgleichung: $p = \frac{2}{3} E$ sieht aus wie klassische Gleichung aber $E \neq \frac{3}{2} kT$

klassischer Grenzwert: $\lambda \rightarrow \infty$: $\mu = -k\lambda \ln \left[\frac{\lambda}{\langle \lambda \rangle} \cdot \left(\frac{2\pi m k\lambda}{h^2} \right)^{3/2} \right]$

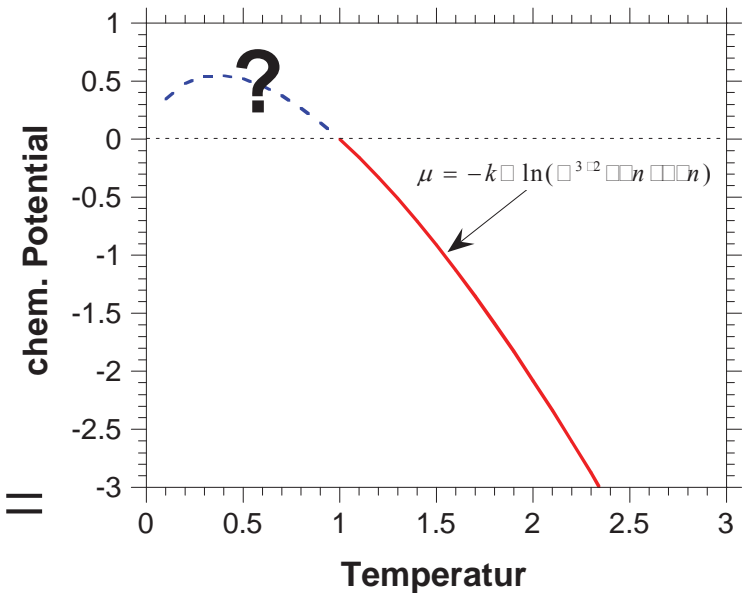
(klassische) Annahme: $\frac{\mu(\lambda)}{\lambda} \xrightarrow{\lambda \rightarrow \infty} -\infty$

$$E = \frac{1}{\pi^2} \left(\frac{2m}{h^2} \right)^{3/2} \int_0^\infty \epsilon \epsilon^{3/2} e^{-\beta(\epsilon-\mu)} d\epsilon$$

$$E = \frac{1}{\pi^2} \left(\frac{2m}{h^2} \right)^{3/2} e^{\beta\mu} \int_0^\infty \epsilon \epsilon^{3/2} e^{-\beta\epsilon} d\epsilon =$$

$$= \frac{1}{\pi^2} \left(\frac{2m}{\beta h^2} \right)^{3/2} \frac{e^{\beta\mu}}{\beta} \int_0^\infty x x^{3/2} e^{-x} dx =$$

$$= \frac{1}{\pi^2} \left(\frac{2m}{\beta h^2} \right)^{3/2} \frac{e^{\beta\mu}}{\beta} \Gamma(5/2) = \langle \epsilon \rangle$$



ähnlich für N :

$$\langle N \rangle = \dots = \frac{V}{4\pi^2} \left(\frac{2m}{\beta \hbar^2} \right)^{3/2} e^{\beta \mu} \Gamma(3/2)$$

$$\mu = \frac{1}{\beta} \ln \left[\frac{4\pi^2}{\Gamma(3/2)} \left(\frac{\beta \hbar^2}{2m} \right)^{3/2} \frac{\langle N \rangle}{V} \right] \quad \Gamma(3/2) = \frac{1}{2} \sqrt{\pi}$$

$$\Rightarrow \mu = -kT \ln \left[\frac{V}{\langle N \rangle} \frac{(2\pi m kT)^{3/2}}{h^3} \right]$$

$$\langle H \rangle = \frac{\Gamma(5/2)}{\Gamma(3/2)} kT \langle N \rangle = \frac{3}{2} kT \langle N \rangle$$

$$\Gamma(z+1) = z\Gamma(z)$$

für i in r i r i i ch:

$$\square = -\partial_T \square(T, V, \mu) = \left[\partial_T = -\frac{\beta}{T} \partial_\beta \right] = -\frac{2}{3} \frac{\beta}{T} \partial_\beta \langle H \rangle$$

$$\square = -\frac{2}{3} \frac{\beta}{T} \frac{\Gamma(5/2)}{\beta^{5/2}} \left(\frac{2m}{\hbar^2} \right)^{3/2} \frac{V}{4\pi^2} e^{\beta\mu} \left[\mu - \frac{5}{2\beta} \right]$$

$$\square = \frac{2}{3} \frac{1}{T} \frac{\Gamma(5/2)}{\Gamma(3/2)} \langle N \rangle \left[\frac{5}{2\beta} + kT \ln \frac{V}{\langle N \rangle} \frac{(2\pi mkT)^{3/2}}{h^3} \right]$$

$$\square = \langle N \rangle k \left[\frac{5}{2} + \ln \frac{V}{\langle N \rangle} \frac{(2\pi mkT)^{3/2}}{h^3} \right] = \langle N \rangle k \left[\frac{5}{2} + \ln \left(\frac{1}{\langle n \rangle \lambda_T^3} \right) \right]$$

(klassische) Sackur-Tetrode-Gleichung

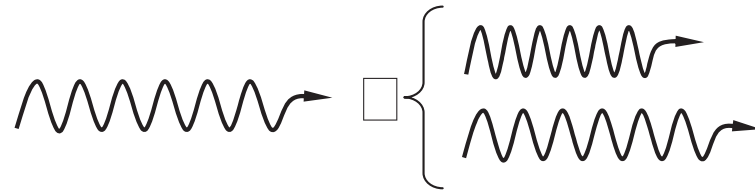
\hbar r i ch \square \square ll n l n \square \square

Schwarzkörperstrahlung: Das Photonengas

Quanten: $\text{Photonen} \leftrightarrow \text{Strahlung}$

Photonenrelation: $\omega = ck$

In der Quantenmechanik für Teilchen gilt $E = \hbar\omega$



Elektronen sind fermionen, Photonen sind bosonen $\mu = 0$

Relativistisch \rightarrow nicht wechselwirken

Chemisches Potenzial (μ) ist gleich Null: $\partial_N \Omega = \mu = 0$

$$H = \sum_{\vec{k}, \sigma} \left(N_{\vec{k}, \sigma} + \frac{1}{2} \right) \hbar \omega_k$$

$\sigma = 1, 2$: Polarisationsrichtungen

$$\Omega = k_B T \sum_{\text{ph}} \ln(1 - e^{-\beta(\hbar\omega - \mu)}) = k_B T \sum_{\text{ph}} \ln(1 - e^{-\beta\hbar\omega}) =$$

$$\rightarrow \Omega \propto k_B T \int_0^\infty \ln(1 - e^{-\beta\hbar\omega}) g(\varepsilon) d\varepsilon$$

$$\text{für } k \ll k_F: \vec{k} = \frac{\pi}{V^{1/3}} \cdot \begin{pmatrix} n_x \\ n_y \\ n_z \end{pmatrix} = \frac{\pi}{V^{1/3}} \cdot \begin{pmatrix} n_x \\ n_y \\ n_z \end{pmatrix}$$

$$n_{\text{ph}} \hbar k \ll n_{\text{ph}} \hbar k_F < \hbar\omega :$$

$$\hbar k < \hbar c k(\omega) = \hbar c \frac{\pi}{V^{1/3}} \cdot \sqrt{n_x^2 + n_y^2 + n_z^2}$$

$$\rightarrow \Phi(\hbar k) = \frac{1}{\hbar k} \cdot \frac{4\pi}{3} \cdot \frac{V k(\omega)^3}{\pi^3} \rightarrow \Phi(\hbar k) = \frac{V}{2\pi^2} \cdot \frac{\omega^2}{\hbar c^3}$$

$$\rightarrow \Omega = \frac{V k_B T}{\pi^2 c^3} \int_0^\infty \omega^2 \ln(1 - e^{-\beta\hbar\omega}) d\omega$$

$$\rightarrow U = \frac{V k_B T}{\pi^2 c^3} \int_0^\infty \omega^2 \ln(1 - e^{-\beta \hbar \omega}) d\omega$$

$$U = U + T \left(\frac{\partial U}{\partial T} \right) = U - T \frac{\partial U}{\partial T} = \frac{\partial(\beta U)}{\partial \beta}$$

$$\rightarrow U = \frac{V \hbar}{\pi^2 c^3} \int_0^\infty \frac{\omega^3 e^{-\beta \hbar \omega}}{1 - e^{-\beta \hbar \omega}} d\omega = \frac{V \hbar}{\pi^2 c^3} \frac{1}{(\beta \hbar)^4} \int_0^\infty \frac{x^3 e^{-x}}{1 - e^{-x}} dx = \frac{V k_B^4 T^4}{\pi^2 \hbar^3 c^3} \cdot \frac{\pi^4}{15}$$

→ **Stefan-Boltzmann-Gesetz:** $\frac{U}{V} = e(T) = \sigma T^4$

→ **spezielle Konstante:** $\epsilon_V = \partial_T U|_V = \frac{4\pi^2 k_B^4}{15(\hbar c)^3} V T^3$

Plancksches Strahlungsgesetz:

$$\frac{\partial}{\partial \omega} \frac{\square}{V} = e(\omega \square T) = \frac{\hbar}{\pi^2 c^3} \frac{\omega^3}{e^{\beta \hbar \omega} - 1}$$

En rön: rullen i en rullen:

$$e(T) = \int_{-\infty}^{\infty} e(\omega T) \delta(\omega) d\omega = \int_{-\infty}^{\infty} e(\lambda T) \delta(\lambda) d\lambda$$

$$e(T) = \frac{\hbar}{\pi^2 c^3} \int_0^\infty \frac{\omega^3}{e^{\beta \hbar \omega} - 1} d\omega = \frac{\pi^5}{15} \frac{k_B^4 T^4}{\hbar^3 c^2}$$

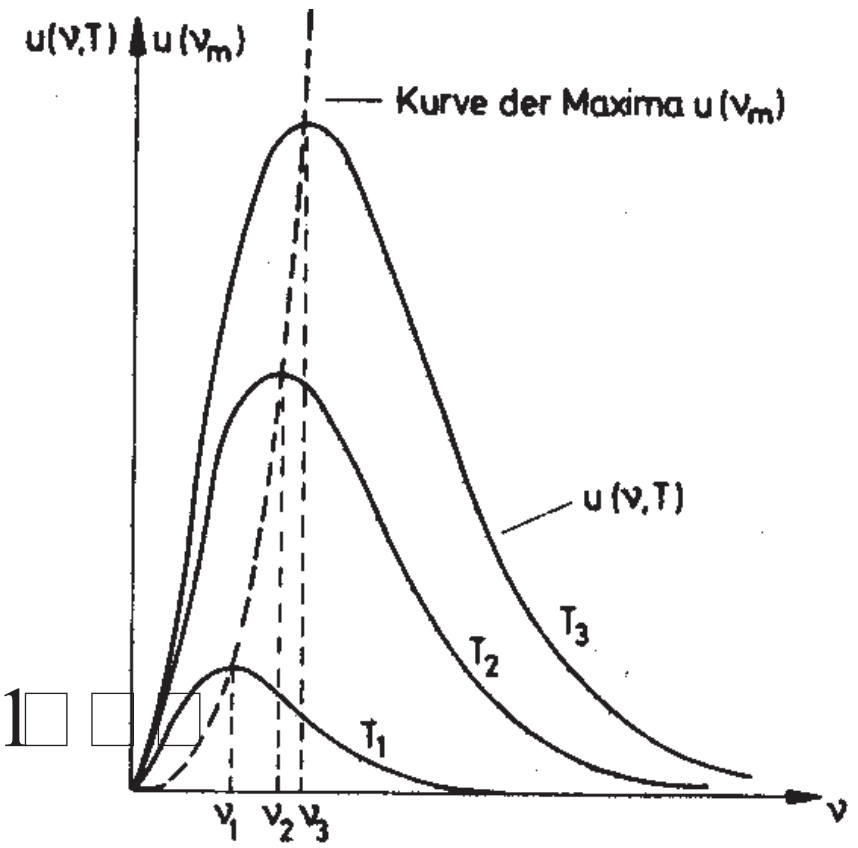
$$e(\lambda \square T) = \square \pi h c \frac{\lambda^{-5}}{e^{\beta h c / \lambda} - 1}$$

Plancksches Verschiebungsgesetz:

$$\frac{\partial e(\omega, T)}{\partial \omega} = [\quad = \beta \hbar \omega]$$

$$= \frac{\hbar \omega^2}{\pi^2 c^3} \left[\frac{3}{e^{\quad} - 1} - \frac{e^{\quad}}{(e^{\quad} - 1)^2} \right] = \quad$$

$$\Rightarrow 3 = \frac{e^{\quad}}{e^{\quad} - 1} \Rightarrow \quad = 2.82144 \quad$$



$$\quad = 2.82144 \quad = \frac{\hbar \omega}{kT}$$

$$\lambda_{\quad} T = \frac{hc}{4.965 \cdot k_{\quad}} = 2.89777 \text{ cm K}$$

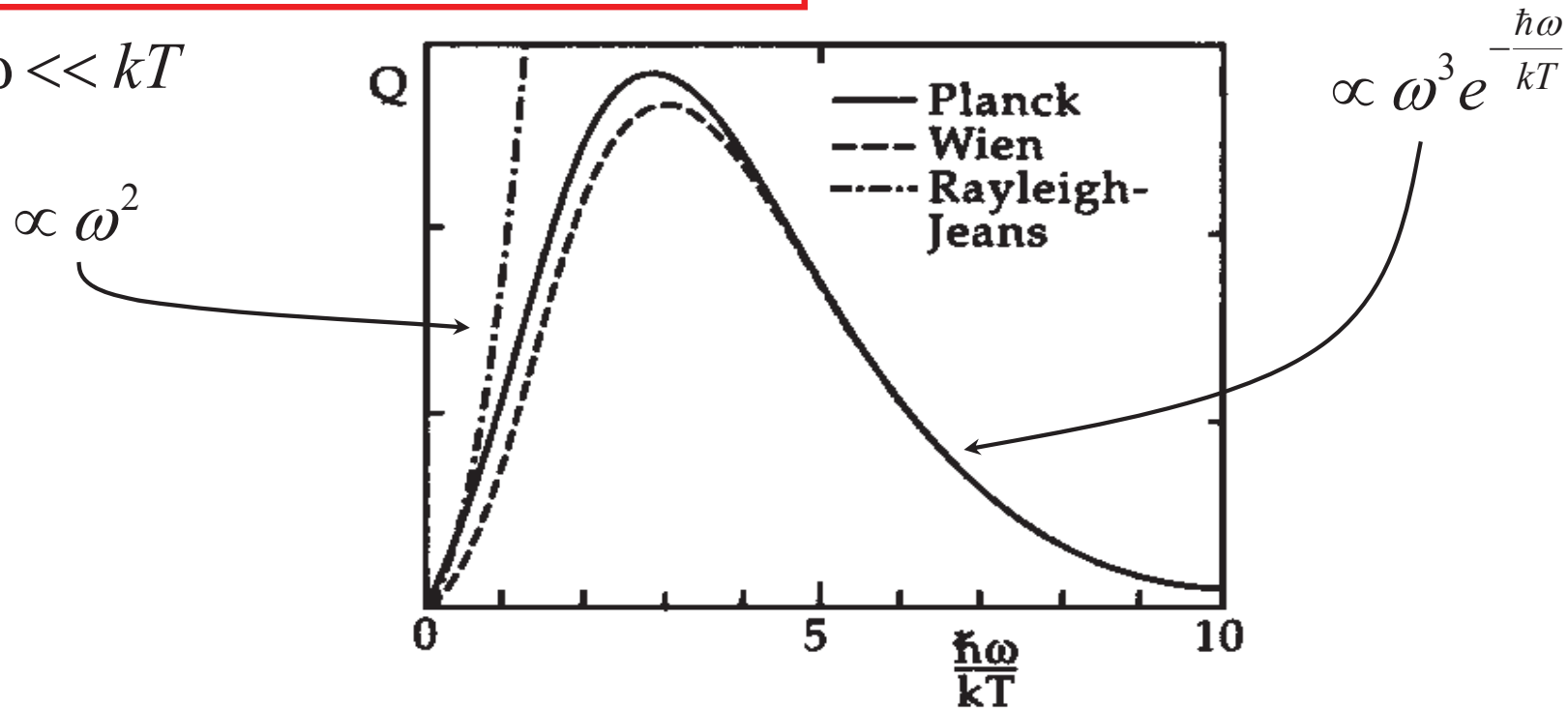
Rayleigh-Jeans-Gesetz

klassisch
 in der Form $\propto kT$
 klassisch
 kontinuierlich

Wien'sches Gesetz

$$\hbar\omega \gg kT$$

$$\hbar\omega \ll kT$$



Plancksches Strahlungsgesetz

h
 kontinuierlich
 in der Form
 in der Form

Zustandsgleichung des Photonengases:

$$p = - \partial_V \Phi(T, V) = -2 \partial_V \sum_{\vec{k}} \left[\hbar \omega_k / 2 + kT \ln(1 - e^{-\beta \hbar \omega_k}) \right]$$

isotropie: $\omega_k = ck = c \frac{2\pi}{V^{1/3}} (n_x^2 + n_y^2 + n_z^2)^{1/2}$

$$\Rightarrow \frac{\partial \omega_k}{\partial V} = -\frac{1}{3} \frac{2\pi c}{V^{4/3}} (n_x^2 + n_y^2 + n_z^2)^{1/2} = -\frac{1}{3V} \omega_k$$

$$p = \frac{2}{3V} \sum_{\vec{k}} \left[\hbar \omega_k / 2 + \frac{\hbar \omega_k e^{-\beta \hbar \omega_k}}{1 - e^{-\beta \hbar \omega_k}} \right]$$

$$\Rightarrow p = \frac{1}{3} \rho$$

Entropie des Photonengases:

$$S = -\partial_T (T W) = -2 \partial_T \sum_{\vec{k}} \left[\hbar \omega_k / 2 + k_B T \ln(1 - e^{-\beta \hbar \omega_k}) \right]$$

Problem: fließen in reinen nicht

$$S = - \left[2k_B \sum_{\vec{k}} \ln(1 - e^{-\beta \hbar \omega_k}) + 2k_B T \sum_{\vec{k}} \frac{\hbar \omega_k e^{-\beta \hbar \omega_k}}{1 - e^{-\beta \hbar \omega_k}} \partial_T \beta \right]$$

$$S = -2k_B \sum_{\vec{k}} \left[\ln(1 - e^{-\beta \hbar \omega_k}) - \frac{\hbar \omega_k}{k_B T} \frac{e^{-\beta \hbar \omega_k}}{1 - e^{-\beta \hbar \omega_k}} \right]$$

Nullpunktsentropie:

$$T \rightarrow 0 \quad \beta \rightarrow \infty \quad e^{-\beta \hbar \omega_k} \rightarrow 0$$

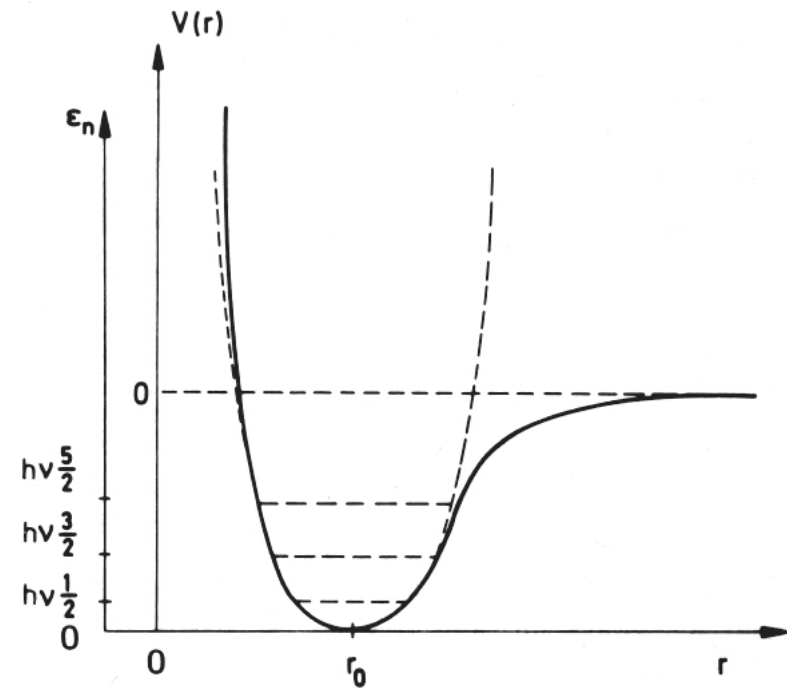
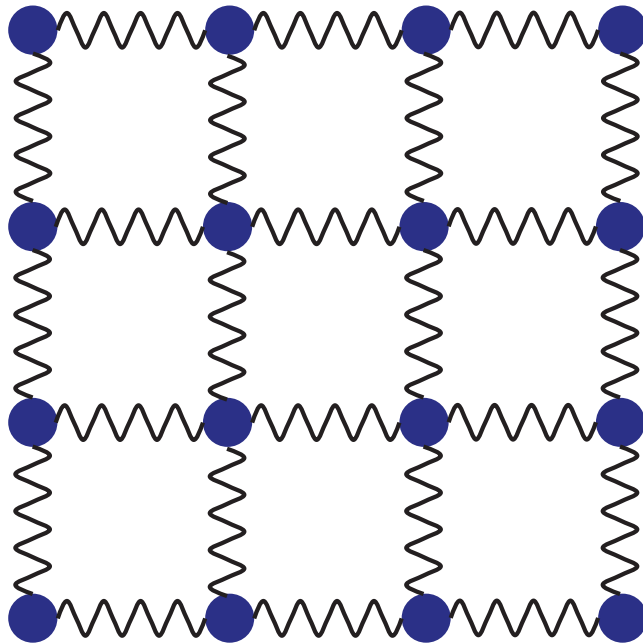
**Planckscher
Satz**

Phononen (Gitterschwingungen):

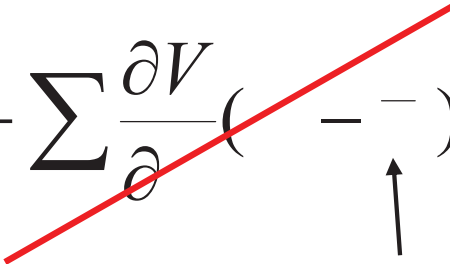
Einsteine-Debye-Modell der spezifischen Wärme

Einatomiges Gittermodell

→ Harmonischer Oszillator



$$V(\mathbf{r}) = V(\mathbf{r}_0) + \sum_{\mathbf{r}} \frac{\partial V}{\partial \mathbf{r}} (\mathbf{r} - \mathbf{r}_0) + \frac{1}{2} \sum_{\mathbf{r}, \mathbf{r}'} \frac{\partial^2 V}{\partial \mathbf{r} \partial \mathbf{r}'} (\mathbf{r} - \mathbf{r}_0) (\mathbf{r}' - \mathbf{r}_0) + \dots$$



 Gleichgewichtslage

→ Hilbertfunktion:

$$H(\xi) = \sum_{i=1}^{3N} \frac{1}{2} m \dot{\xi}_i^2 + \sum_{i,j=1}^{3N} \kappa_{ij} \xi_i \xi_j$$

renormierte Funktion:

$$H(x) = \sum_{i=1}^{3N} \frac{1}{2} m \left(\dot{x}_i^2 + \omega^2 x_i^2 \right)$$

einachser Fall (Einstein-Modell):

1D-System mit N Teilchen \rightarrow $3N$ Freiheitsgrade

Normierung des Hamiltonians mit ω

$$E = 3N \hbar \omega \left(\frac{1}{2} + \frac{1}{e^{\beta \hbar \omega} - 1} \right) = 3N \hbar \omega \left(\frac{1}{2} + \langle n \rangle \right)$$

$\langle n \rangle$: mittlere Anzahl an Quanten (Phononen) pro Freiheitsgrad
 im thermischen Gleichgewicht bei Temperatur T (mit $\beta = 1/(k_B T)$)

härn:

$$\propto \sum_k \left[\hbar \omega_k / 2 + \hbar \omega_k \frac{e^{-\beta \hbar \omega_k}}{1 - e^{-\beta \hbar \omega_k}} \right]$$

$$\sum_k \rightarrow \int_0^\infty \rho(\omega_k) \omega_k$$

är i ur och r
r r n in ill r

härn: $3N$ ill r n r in r n

$$\Rightarrow \rho(\omega_k) = 3N \delta(\omega_k - \omega_0)$$

$$\Rightarrow = 3N \hbar \omega_0 \left(\frac{1}{2} + \frac{1}{e^{\beta \hbar \omega_0} - 1} \right)$$

är i ä:

$$_V = \partial_T \big|_V = 3Nk \frac{(\beta \hbar \omega_0)^2 e^{\beta \hbar \omega_0}}{(e^{\beta \hbar \omega_0} - 1)^2}$$

Verbesserung: Frequenzspektrum (Debye-Modell)

(folgt) ist die Zahl der Freiheitsgrade:

$$g(\omega) = \frac{V\omega^2}{2\pi^2 c^3} \quad \text{mit:}$$

Erhaltungssatz: $\int_0^{\omega_c} g(\omega) d\omega = 3N$

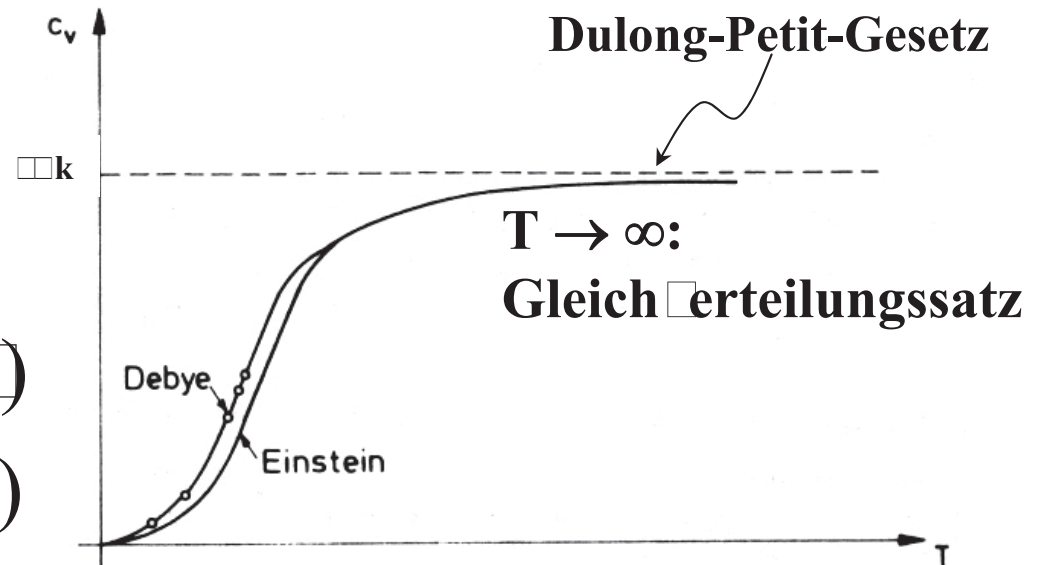
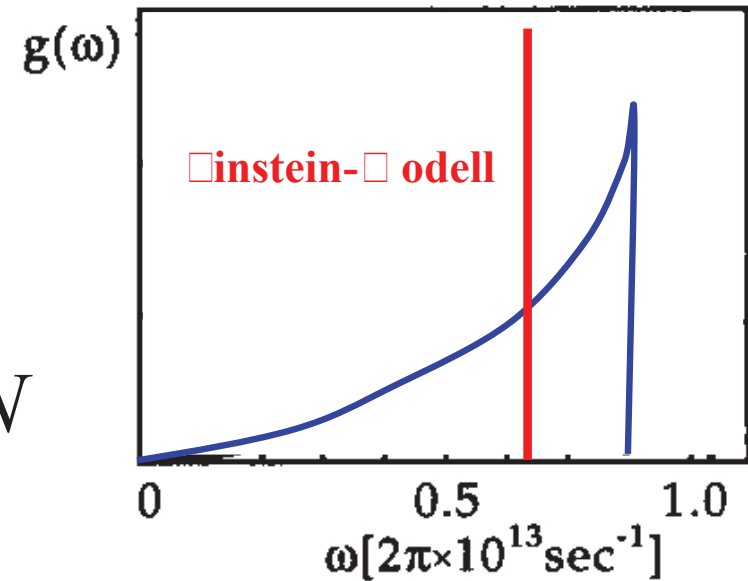
$$C_V = 3Nk \int_0^{\omega_c} \frac{\omega^4 e^{-\beta\hbar\omega}}{(e^{-\beta\hbar\omega} - 1)^2} d\omega = 3Nk \theta_D(\theta_c)$$

Debye-Funktion

$$\theta_D(\theta_c) := \frac{3}{\theta_c^3} \int_0^{\theta_c} \frac{x^4 e^{-x}}{(e^{-x} - 1)^2} dx$$

$$T \rightarrow 0: C_V \propto T^3 \quad (\text{Debye})$$

$$C_V \propto e^{-\theta_D/T} \quad (\text{Einstein})$$



$T \rightarrow 0$: Bose-Einstein condensation

richtig oder falsch für $T < T_c$

$$\mu_{k=0} = -kT \ln \left[\frac{V}{\langle N \rangle} \frac{(2\pi mkT)^{3/2}}{h^3} \right] = 0$$

$$\Rightarrow \frac{V}{\langle N \rangle} \frac{(2\pi mkT_c)^{3/2}}{h^3} = 1$$

λ_T : mittlere Wellenlänge in πkT

$$d \leq \lambda_T$$

d stand zwischen Teilchen

m (^4He): $T_c \approx 3\text{K}$

^4He nur für $T < T_c$ flüssig in ^4He : $T_c \approx 2\text{K}$
 flüssig in ^4He i.d. räumlichen (für räumlich chr. n. n. ü. n. ch. l. ir. n. l. i. i. n. r. ch. r. n.)

$$\begin{aligned}
 \langle N(\varepsilon > \varepsilon_0) \rangle &= \frac{V}{4\pi^2} \left(\frac{2m}{\hbar^2} \right)^{3/2} \int_{\varepsilon > \varepsilon_0} d\varepsilon \frac{\varepsilon^{1/2}}{e^{\beta\varepsilon} / z - 1} \\
 &= \frac{4\pi V}{h^3} \int_{\varepsilon > \varepsilon_0} d\varepsilon \frac{\varepsilon^2}{e^{\beta\varepsilon^2/2m} / z - 1} = \frac{V}{\lambda_T^3} g_{3/2}(z)
 \end{aligned}$$

$$g_s(z) := \frac{1}{\Gamma(s)} \int_0^\infty \frac{\varepsilon^{s-1} d\varepsilon}{e^{\beta\varepsilon} / z - 1} = \sum_{v=1}^\infty \frac{z^v}{v^s} \quad |z| \leq 1$$

$$\frac{\varepsilon^2}{e^{\beta\varepsilon^2/2m} - 1} \xrightarrow{\varepsilon \rightarrow \varepsilon_0} 1 \rightarrow \text{numerisch kann man abschätzen}$$

$$\text{man hat: } \langle N \rangle = \langle N(\varepsilon > \varepsilon_0) \rangle \quad z = 1$$

numerisch kann man abschätzen, hier funktionen
 \rightarrow in der Tat für $N_0 \rightarrow \infty$ rückt sich

$$\langle N \rangle = - \frac{\partial \Xi}{\partial \mu} \bigg|_{T, V} = \sum_{\epsilon} \left(\frac{1}{e^{\beta(\epsilon - \mu)} - 1} \right) = \sum_{\epsilon} \langle N_{\epsilon} \rangle$$

$$= \langle N_{\epsilon_0} \rangle + \langle N(\epsilon > \epsilon_0) \rangle$$

$$= \frac{z}{1-z} + \frac{V}{4\pi^2} \left(\frac{2m}{\hbar^2} \right)^{3/2} \int_{\epsilon > \epsilon_0} d\epsilon \frac{\epsilon^{1/2}}{e^{\beta(\epsilon - \mu)} - 1}$$


 singulär für $z \rightarrow 1$ ($\mu \rightarrow \epsilon_0$), entspricht Phasenübergang

wegen $\epsilon_0 = p^2 / 2m = 0 \rightarrow$ Bose-Einstein-Kondensation (BEC)
 in 3D pulsraus

$$\langle \mathbf{r} | \mathbf{n} | \ddot{\mathbf{u}} | \mathbf{r} | \mathbf{n} | \mu \rightarrow \langle \mathbf{r} | \mathbf{i} | \mathbf{n} | V/N \Rightarrow T_c:$$

$$T_c \left(\frac{V}{\langle N \rangle} \right) = T \left[\frac{\langle N \rangle}{V} \frac{\lambda_T^3}{\zeta_{3/2}(1)} \right]^{2/3}$$

$$= \frac{\hbar^2}{mk} \underbrace{\frac{2\pi}{(\zeta_{3/2}(1))^{2/3}}}_{3.1205} \left(\frac{\langle N \rangle}{V} \right)^{2/3} \quad \zeta_{3/2}(1) = 2.6124$$

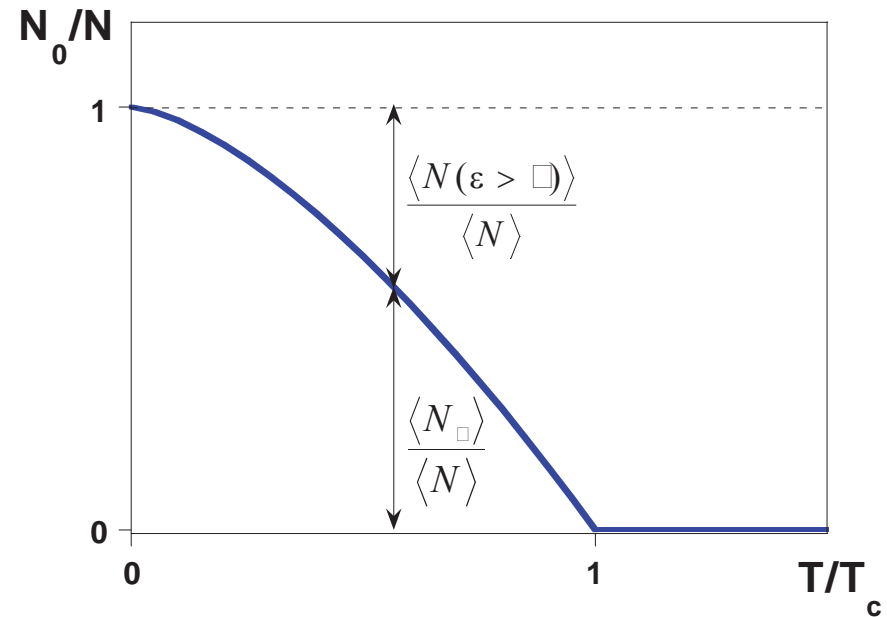
$$\Rightarrow \langle N \rangle = \langle N_{\square} \rangle + \langle N \rangle \left(\frac{T}{T_c} \right)^{3/2} \frac{\zeta_{3/2}(z)}{\zeta_{3/2}(1)}$$

$$\langle N \rangle = \langle N_{\square} \rangle + \langle N \rangle \cdot \zeta(T/V / \langle N \rangle z)$$

$$\langle N_{\square} \rangle = \langle N \rangle \cdot (1 - \zeta) \quad \zeta \leq 1$$

$$\lim_{V \rightarrow \infty} \frac{\langle N \rangle}{V} = \text{const}$$

$$\rho = \begin{cases} 1 & T > T_c \\ \left(\frac{T}{T_c}\right)^{3/2} & T < T_c \end{cases}$$



$$\langle N_0 \rangle \text{ reaches } 0 \text{ für } T \rightarrow T_c \quad \frac{\langle N_0 \rangle}{\langle N \rangle} \ll 1$$

an T_c : **akroskopische** Kondensation

$$\varepsilon_0 \text{ (Schwelle)} \quad \langle N_0 \rangle / V \rightarrow \text{endlich}$$

$$\text{ich} \Rightarrow \text{rennend} \quad \eta$$

η fällt i ch n T n i l r f l i T_c :
 \rightarrow n in i rlich r r n (2 r n n)

Ginzburg-Landau Theorie (siehe Seester):

ri ch n n:

r n r r (β n n): $\eta = \xi_{\beta} (-\varepsilon)^{\beta}$

in r n: $\eta_c = \sqrt{\frac{(\quad)}{2\alpha_4(\quad)}} (T_c - T)^{1/2} \Rightarrow \beta = \frac{1}{2}$

in in n n: $\eta_c = const \cdot \left(1 - \left(\frac{T}{T_c} \right)^{3/2} \right)$

$$\approx \eta(T)|_{T=T_c} + \frac{3}{2} \cdot const \cdot \frac{T_c - T}{T_c} + \dots \Rightarrow \beta = 1$$

Wärmekapazität ist $\propto T^\alpha$ (α temperaturabhängig):

$$C_V = C_\alpha (\pm \varepsilon)^{-\alpha}$$

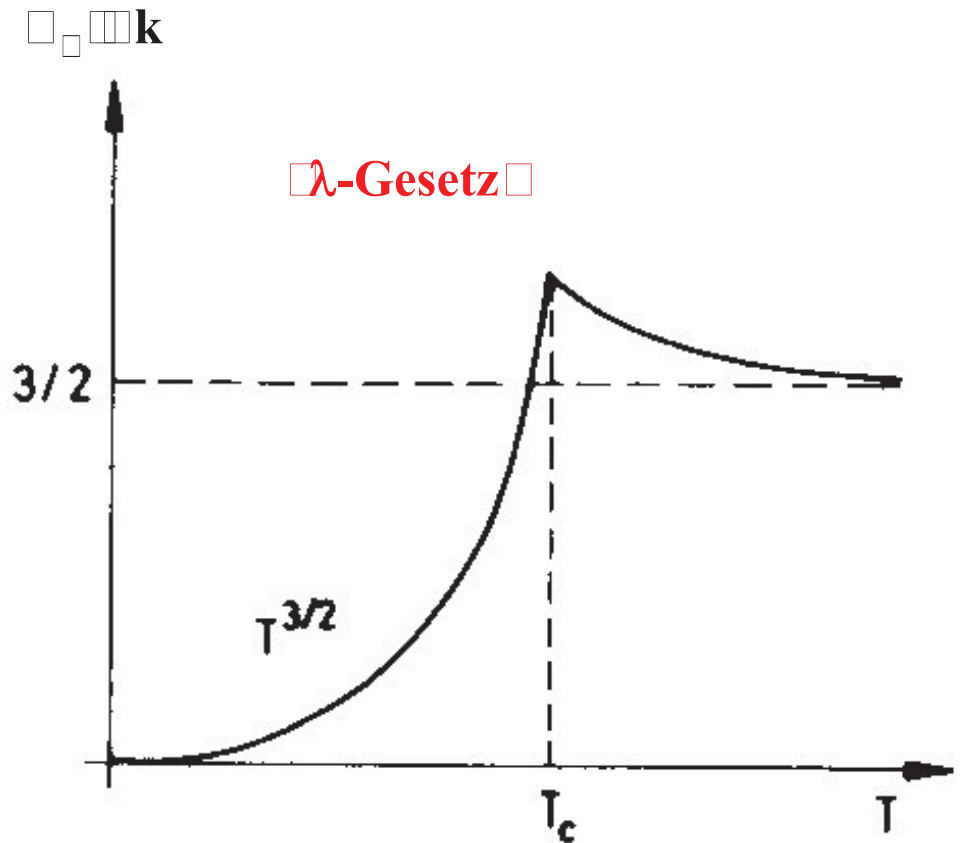
in 3D: $C_V = \begin{cases} C_{V,0} & T > T_c \\ C_{V,0} + \frac{C_4 T^4}{2\alpha_4} & T \leq T_c \end{cases} \Rightarrow \alpha = 4$

Wärmekapazität in 2D:

$$C = \text{const} \cdot \int_0^\infty \varepsilon \frac{\varepsilon^{3/2}}{e^{\beta(\varepsilon-\mu)} - 1} d\varepsilon$$

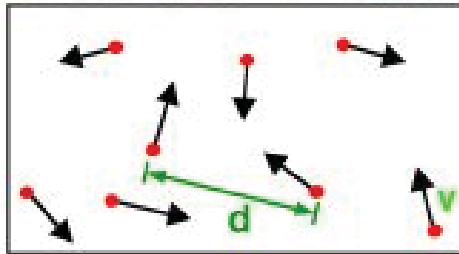
$$C = \text{const} \cdot T^{5/2}$$

$$\Rightarrow C_V = \frac{5}{2} \frac{C}{T} \propto T^{3/2} \Rightarrow \alpha = 3/2$$

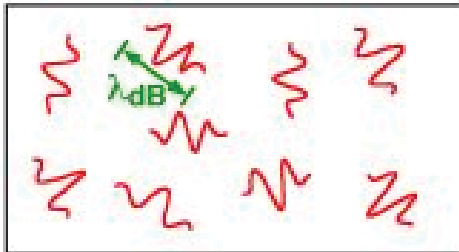


Erzeugung eines Bose-Einstein-Kondensats

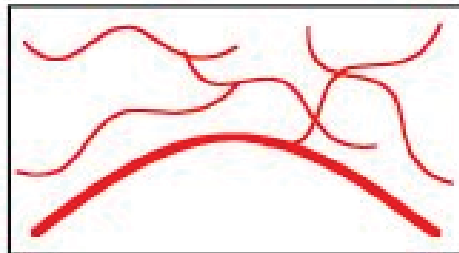
Die ersten Experimente (1995, 1996) wurden mit ^{87}Rb durchgeführt. In diesen Experimenten wurde ein Bose-Einstein-Kondensat (BEK) erzeugt, indem ein Gas von ^{87}Rb -Atomen in einem optischen Gitter (ein Array von Laserstrahlen) gefangen wurde. Die Temperatur des Gases wurde dann auf $T \approx 5 \text{ nK}$ abgesenkt, was zur Bildung des BEK führte.



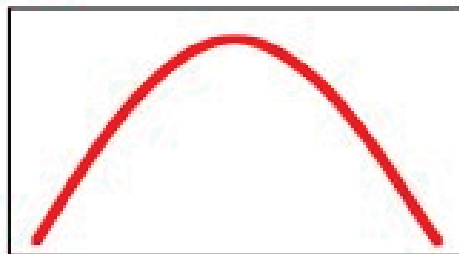
Die Erzeugung des BEK erfolgt durch das Erhitzen des Gases auf eine Temperatur $(T \approx 5 \text{ nK})$, die niedriger ist als die kritische Temperatur $n \lambda_T^3 \approx 1$. Die kritische Temperatur ist durch die Gleichung $n \lambda_T^3 \approx 1$ gegeben.



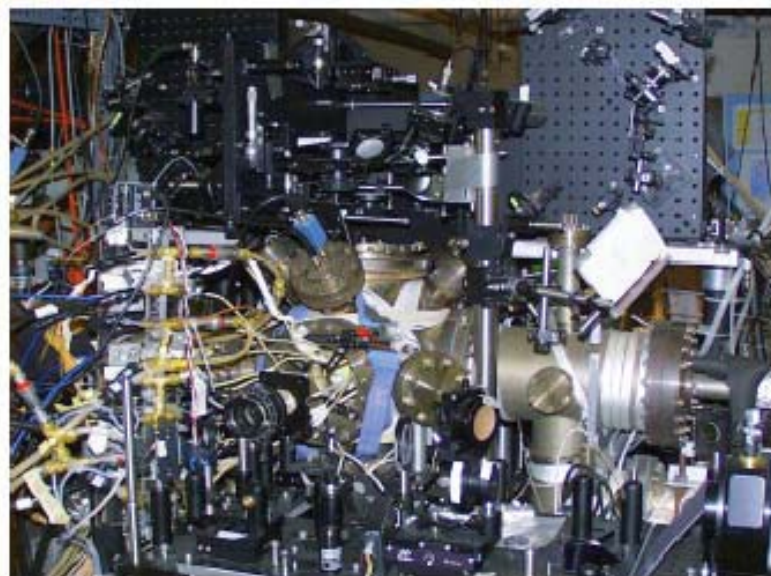
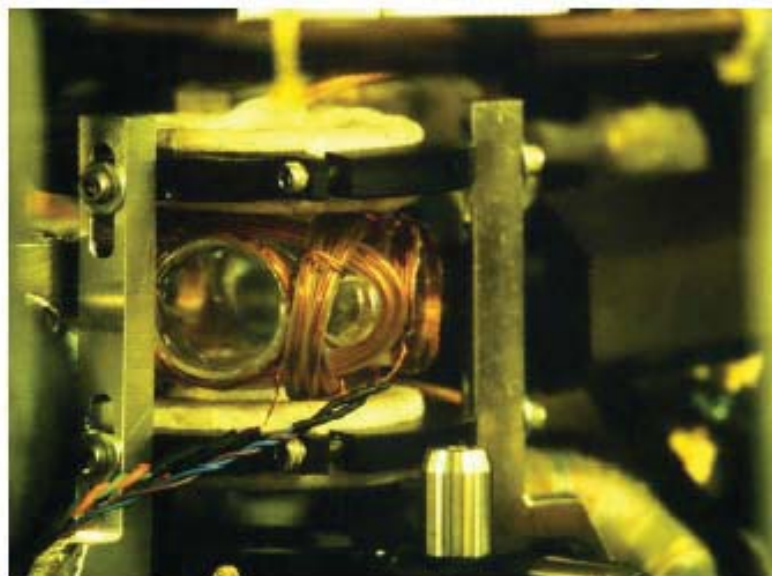
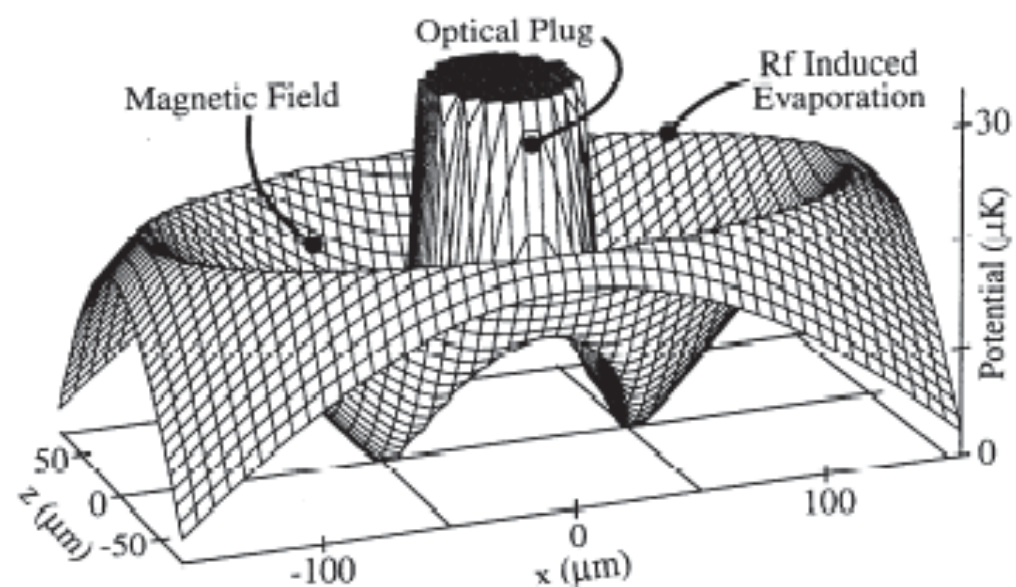
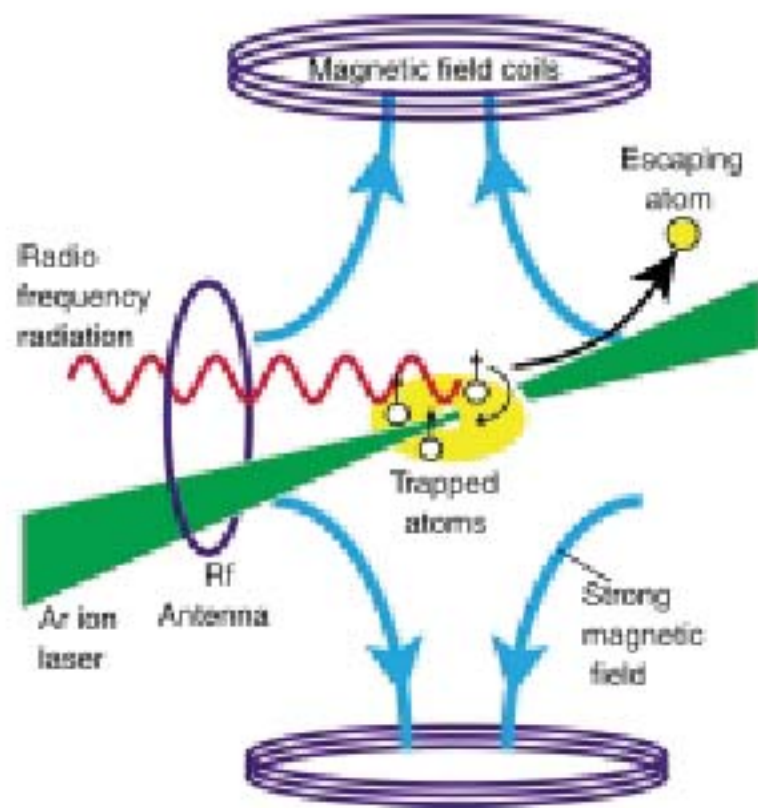
Die Erzeugung des BEK erfolgt durch das Erhitzen des Gases auf eine Temperatur $(T \approx 5 \text{ nK})$, die niedriger ist als die kritische Temperatur $n \lambda_T^3 \approx 1$. Die kritische Temperatur ist durch die Gleichung $n \lambda_T^3 \approx 1$ gegeben.



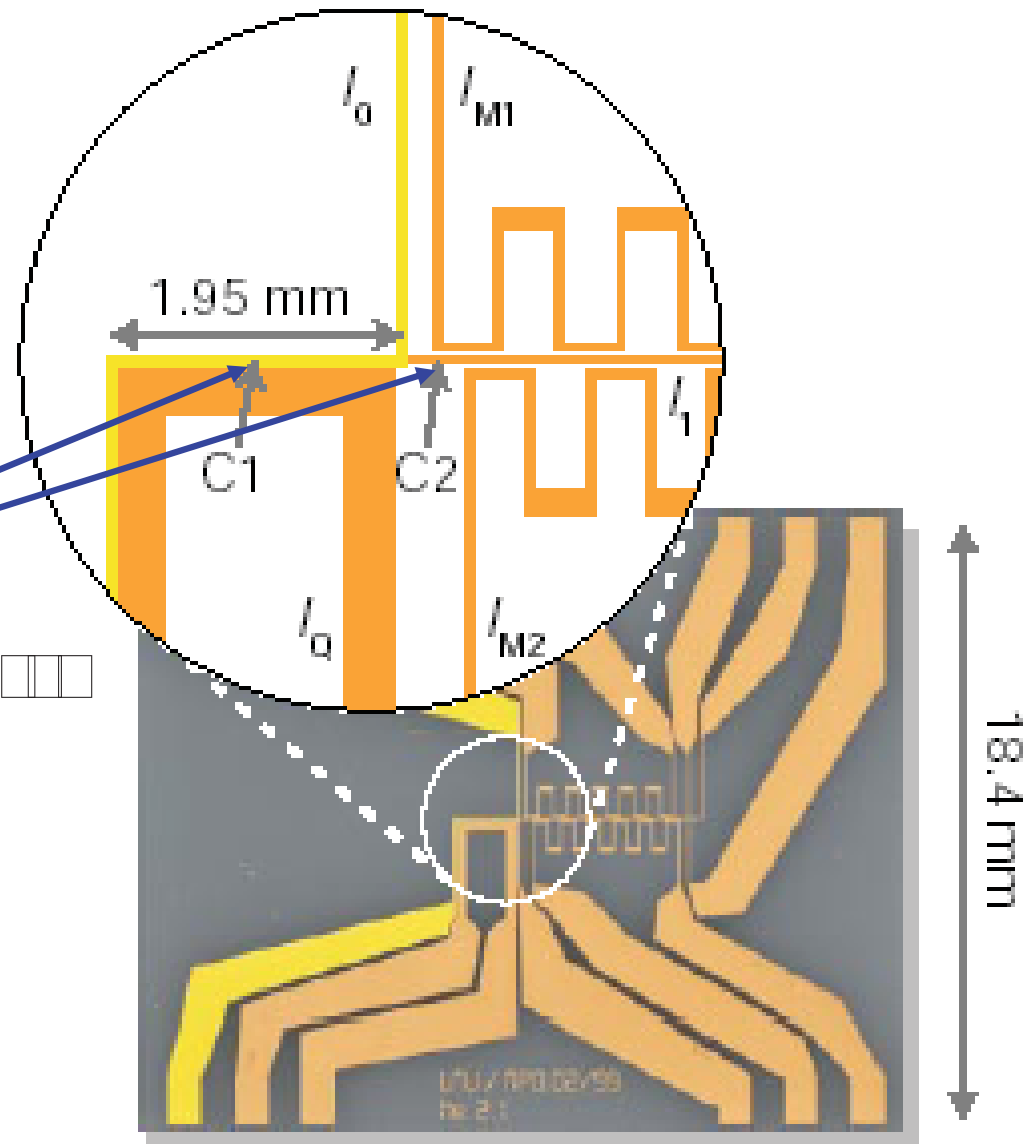
Die Erzeugung des BEK erfolgt durch das Erhitzen des Gases auf eine Temperatur $(T \approx 5 \text{ nK})$, die niedriger ist als die kritische Temperatur $n \lambda_T^3 \approx 1$. Die kritische Temperatur ist durch die Gleichung $n \lambda_T^3 \approx 1$ gegeben.



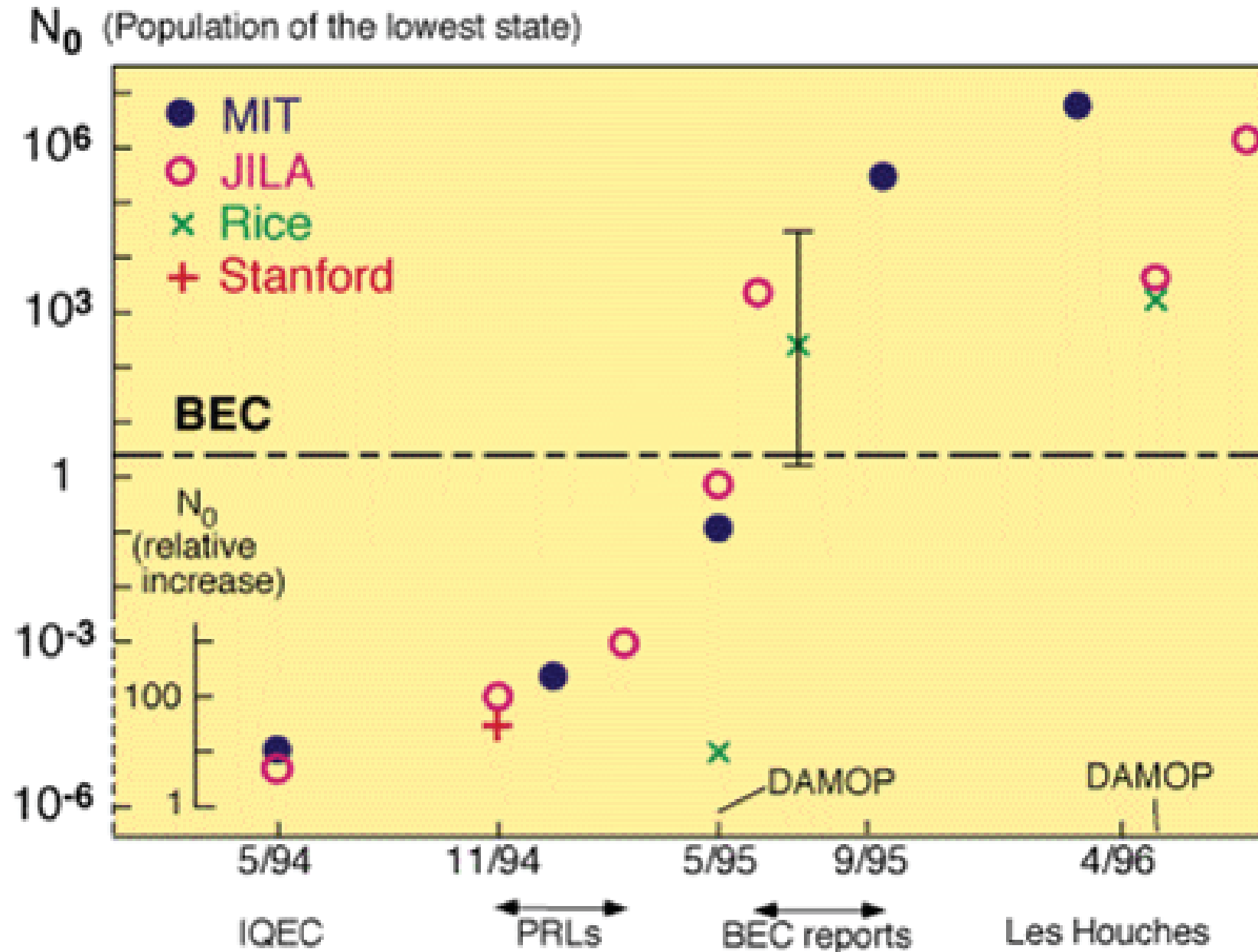
Die Erzeugung des BEK erfolgt durch das Erhitzen des Gases auf eine Temperatur $(T \approx 5 \text{ nK})$, die niedriger ist als die kritische Temperatur $n \lambda_T^3 \approx 1$. Die kritische Temperatur ist durch die Gleichung $n \lambda_T^3 \approx 1$ gegeben.



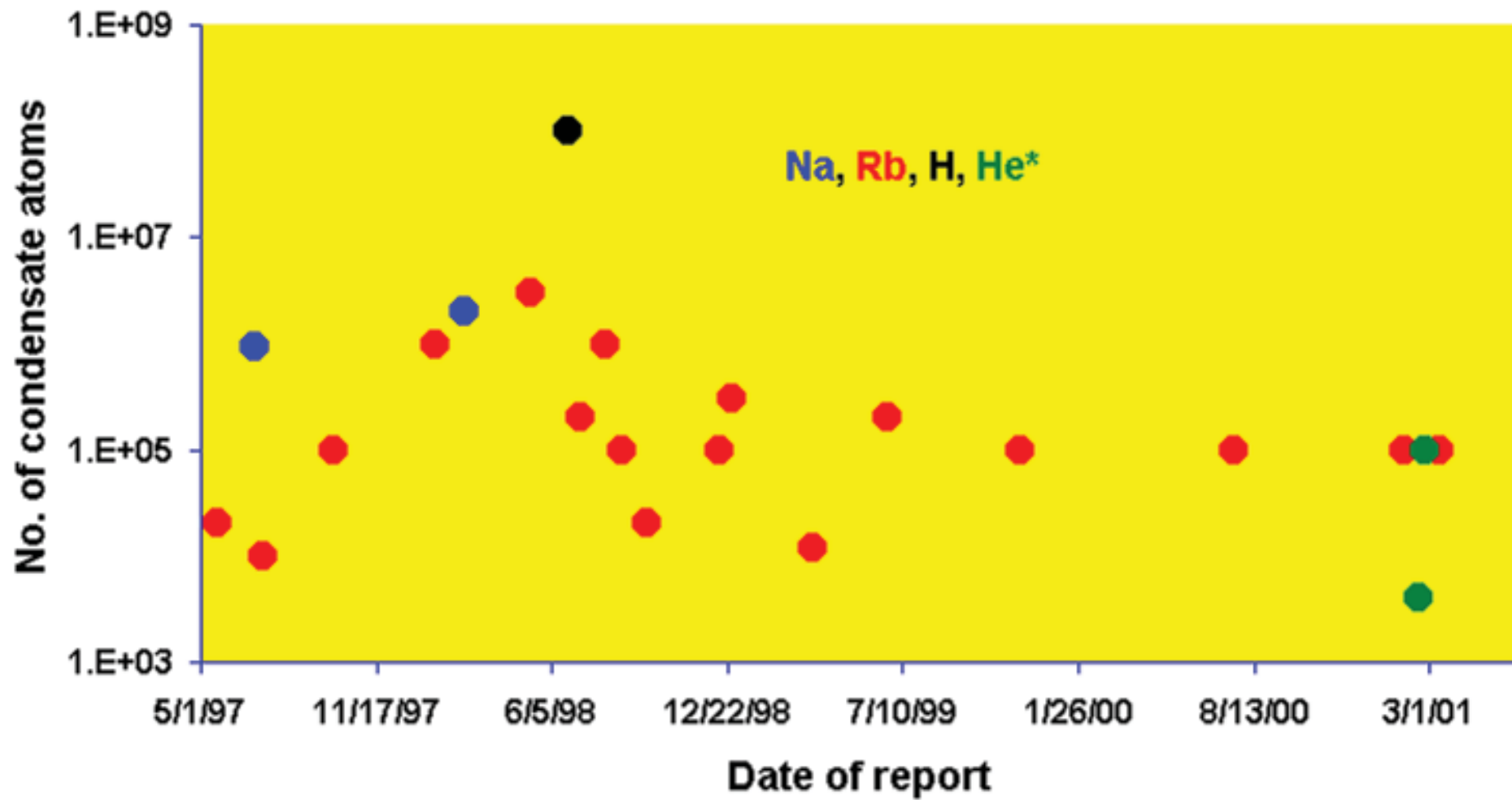
□□□□n i □□□□f für □□n□□n□□□□



Evaporative cooling of alkali atoms

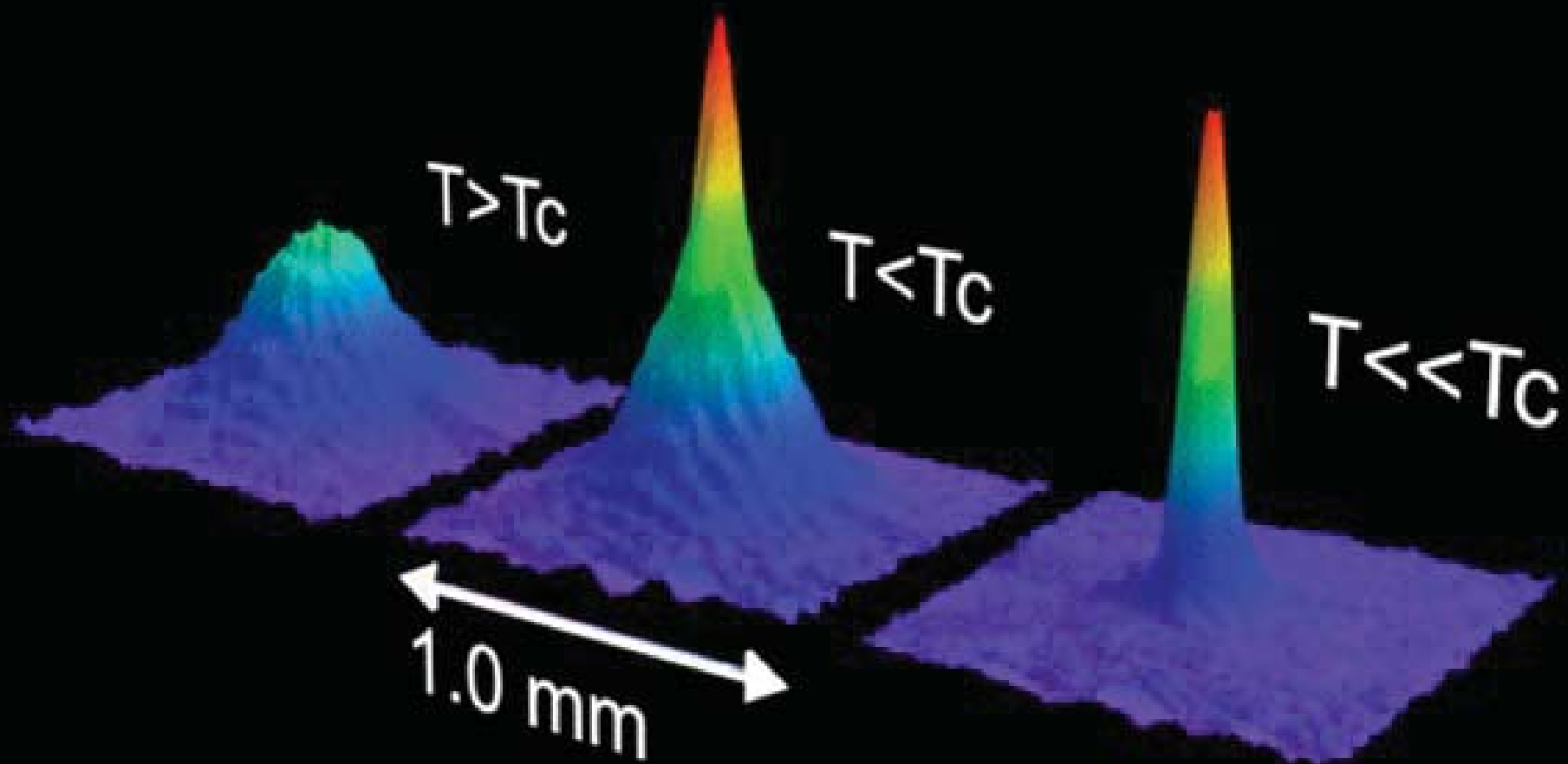


Der ☐ ettlau ☐ zu ☐ ersten ☐ ose- ☐ instein- ☐ ondensat

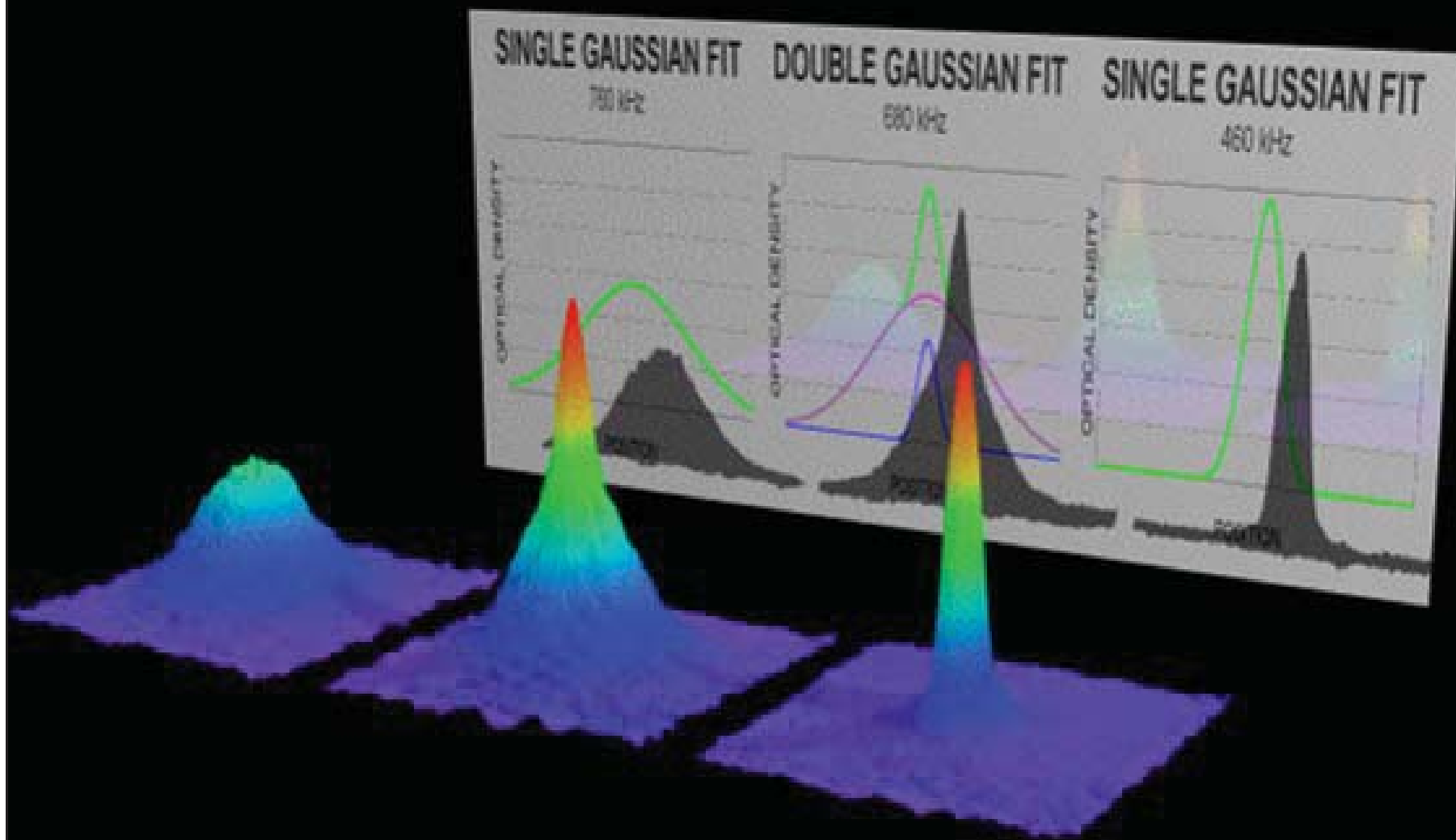


t_p Teilchenzahlen von Systemen, für die erreicht wurde

Expansion of a Bose-Einstein Condensate

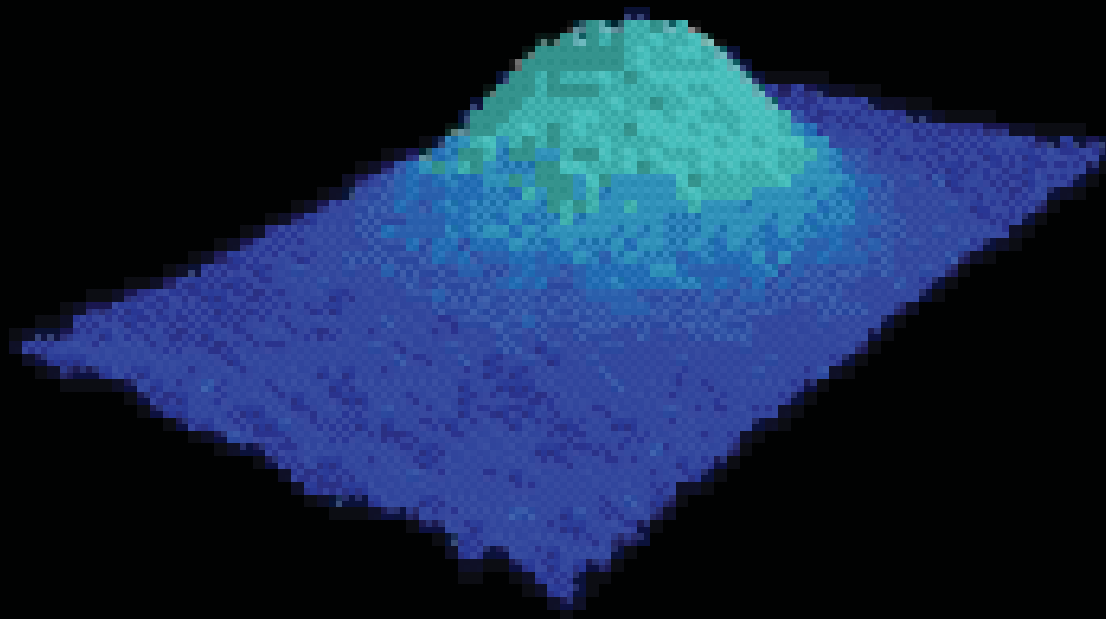


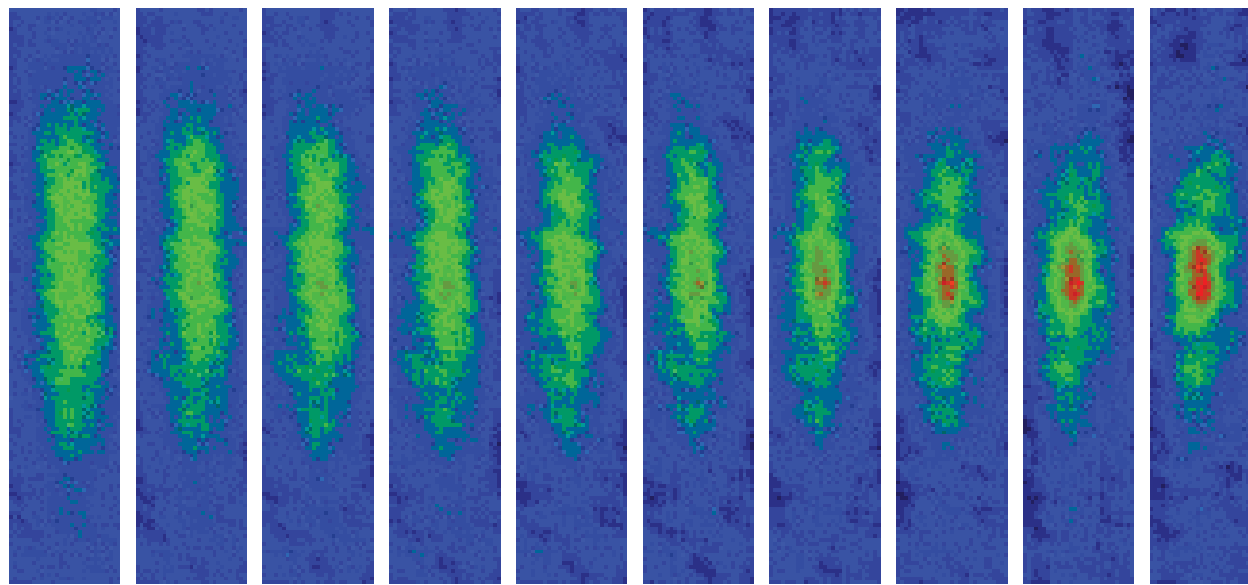
MIT Sodium Trap
September/October 1995
rf evaporation + 6ms free expansion



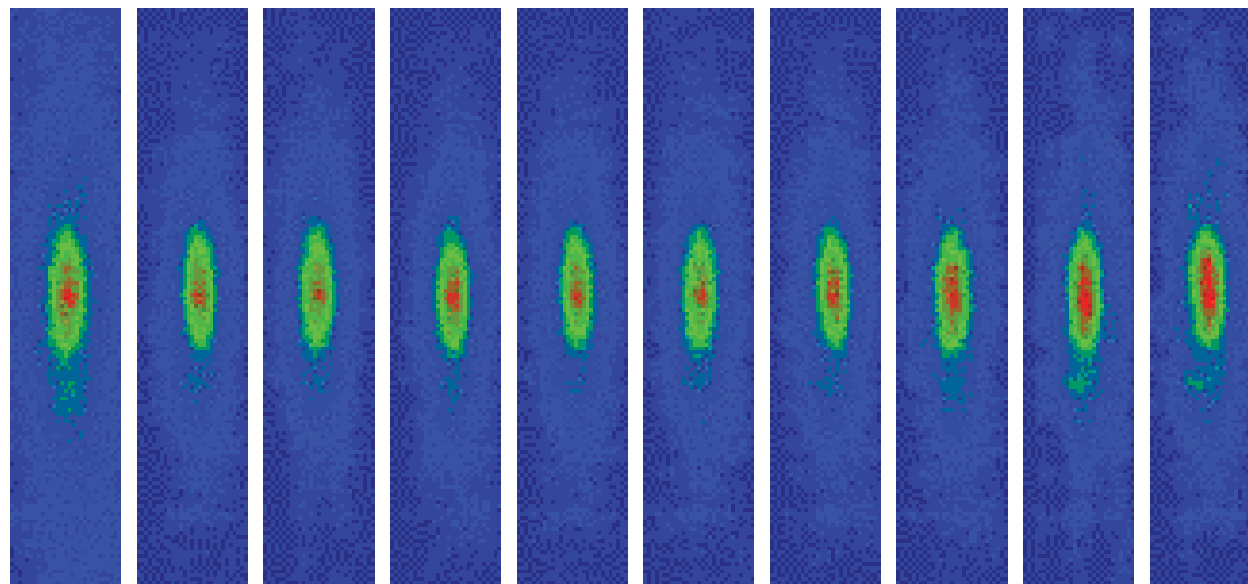
MIT Sodium Trap
September/October 1995
rf evaporation + 6ms free expansion

1280KHz





☐ Beobachtung der
☐ Kondensation durch
☐ Adsorption im Aging



☐ Beobachtung zerstört
☐ Kondensat nicht (keine
☐ Ueberhitzung durch Laser)

to aser

to aser

optischer aser

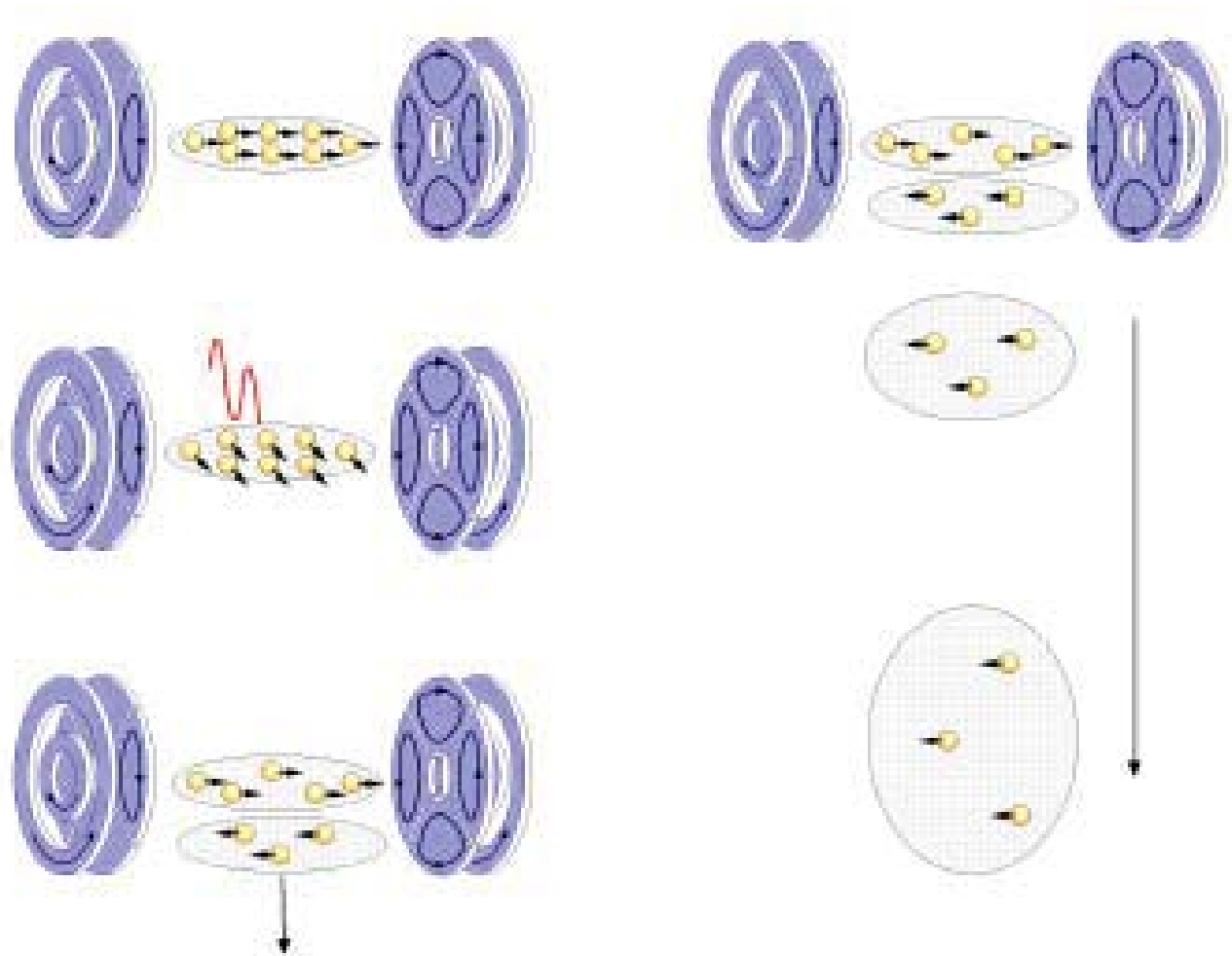
h
ilch n ll n
ll
i
h r i ch
r f n ühl n
i li r n
 T_c r n n i n

h n n
ll n
r n r
h n n i l in
r är r i
nr n r är r i
i li r h n n i i n
r r n r

(gepulster) to user

Anregung durch rf-Welle
Spinzustand $\alpha|\uparrow\rangle + \beta|\downarrow\rangle$

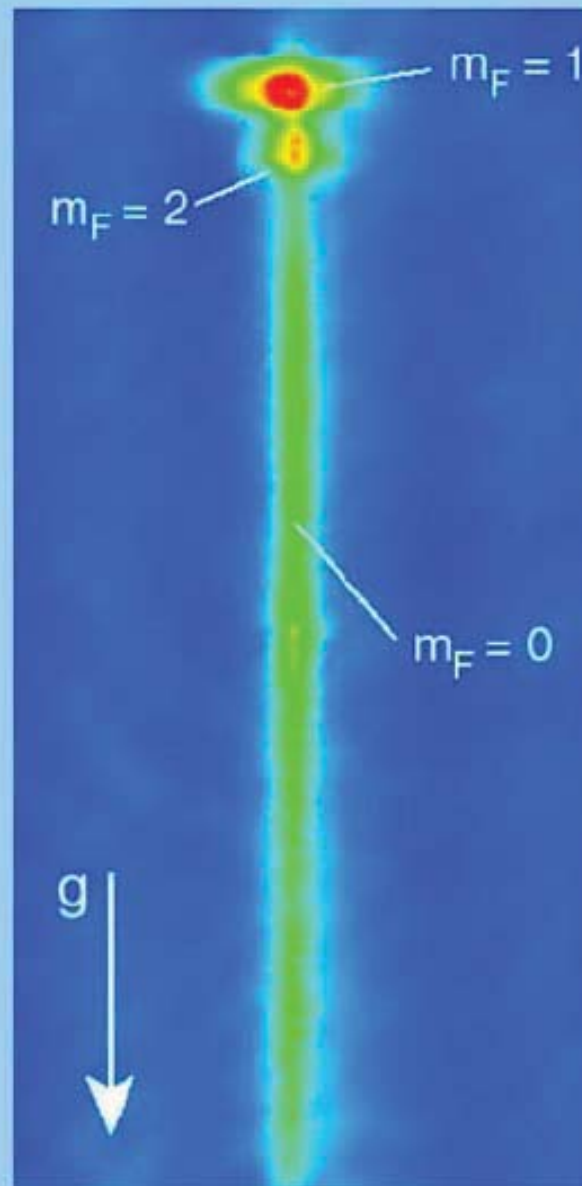
Atome im Zustand $|\downarrow\rangle$ fallen aus Atomfalle



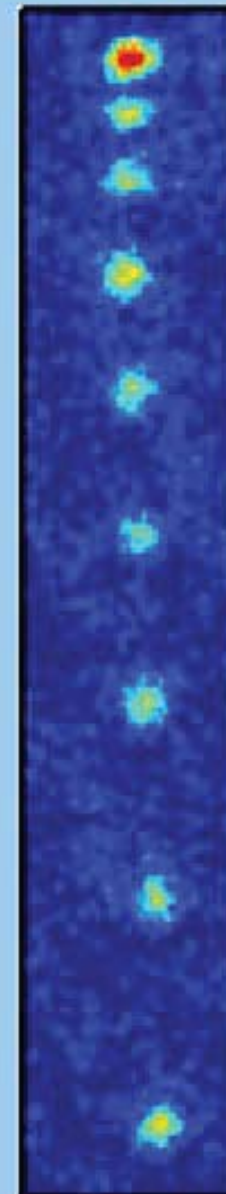
Atom laser gallery



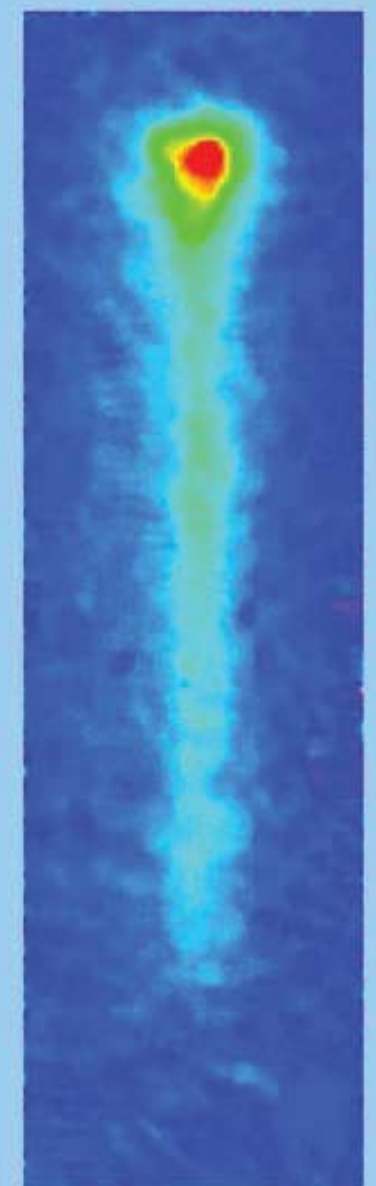
MIT '97



Munich '99

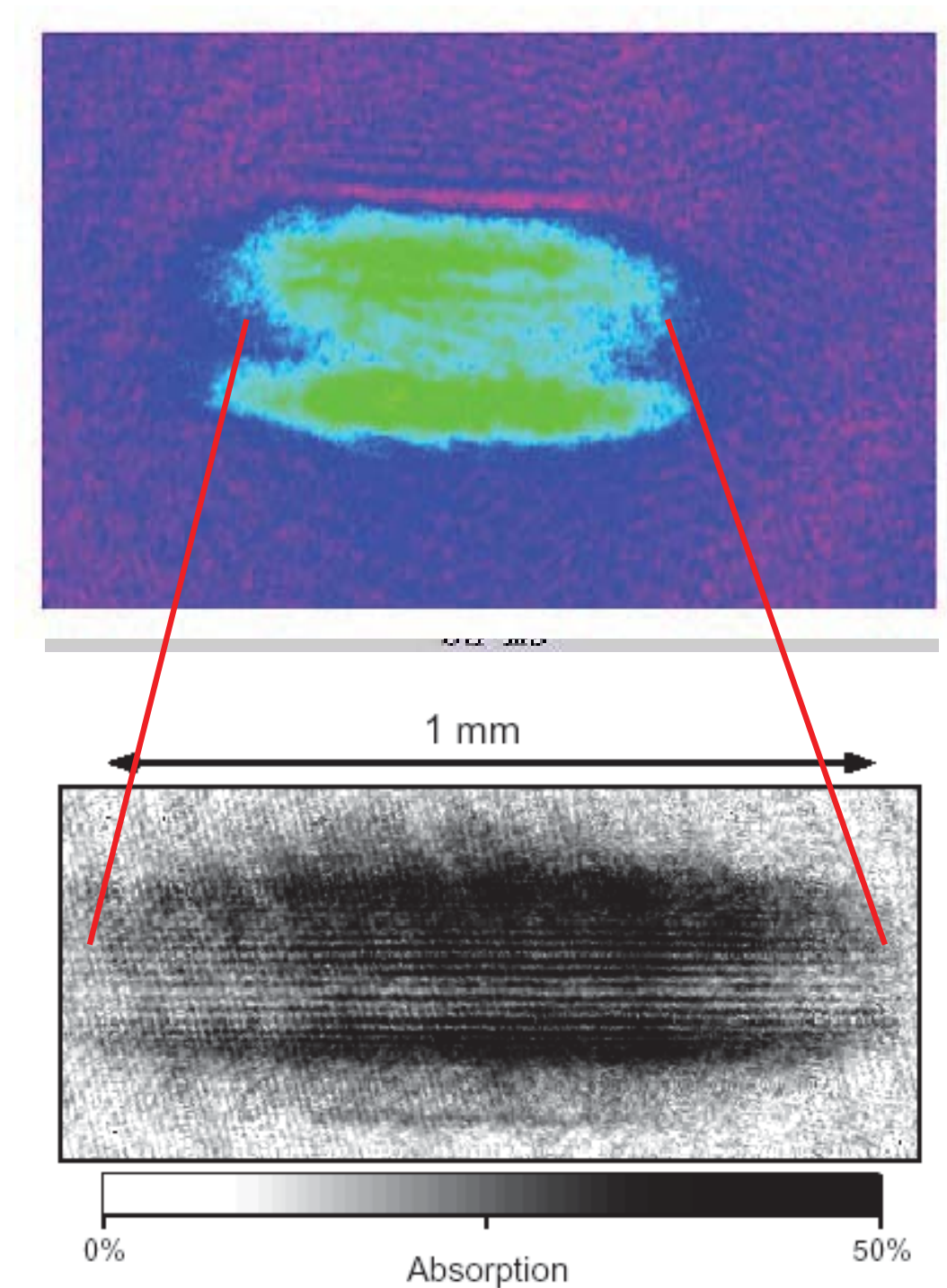
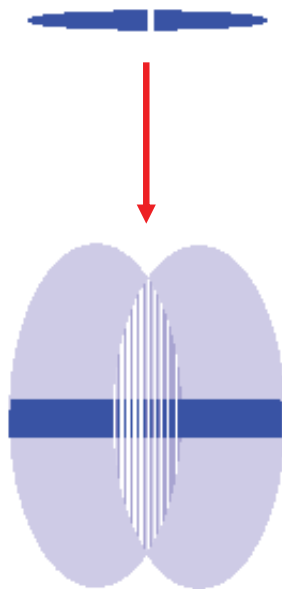


Yale '98



NIST '99

Kohärenz des Lichts
 Expansion und Interferenz zweier Lichtstrahlen



Ideale Fermigase

Fermistatistik Besetzungszahl beschränkt auf $n_i = 0, 1$

$$Z_{GK}(T, V, \mu) = \prod_i \left(\sum_{n_i=0}^1 \langle n_i | e^{-\beta(\epsilon_i - \mu)n_i} | n_i \rangle \right)$$

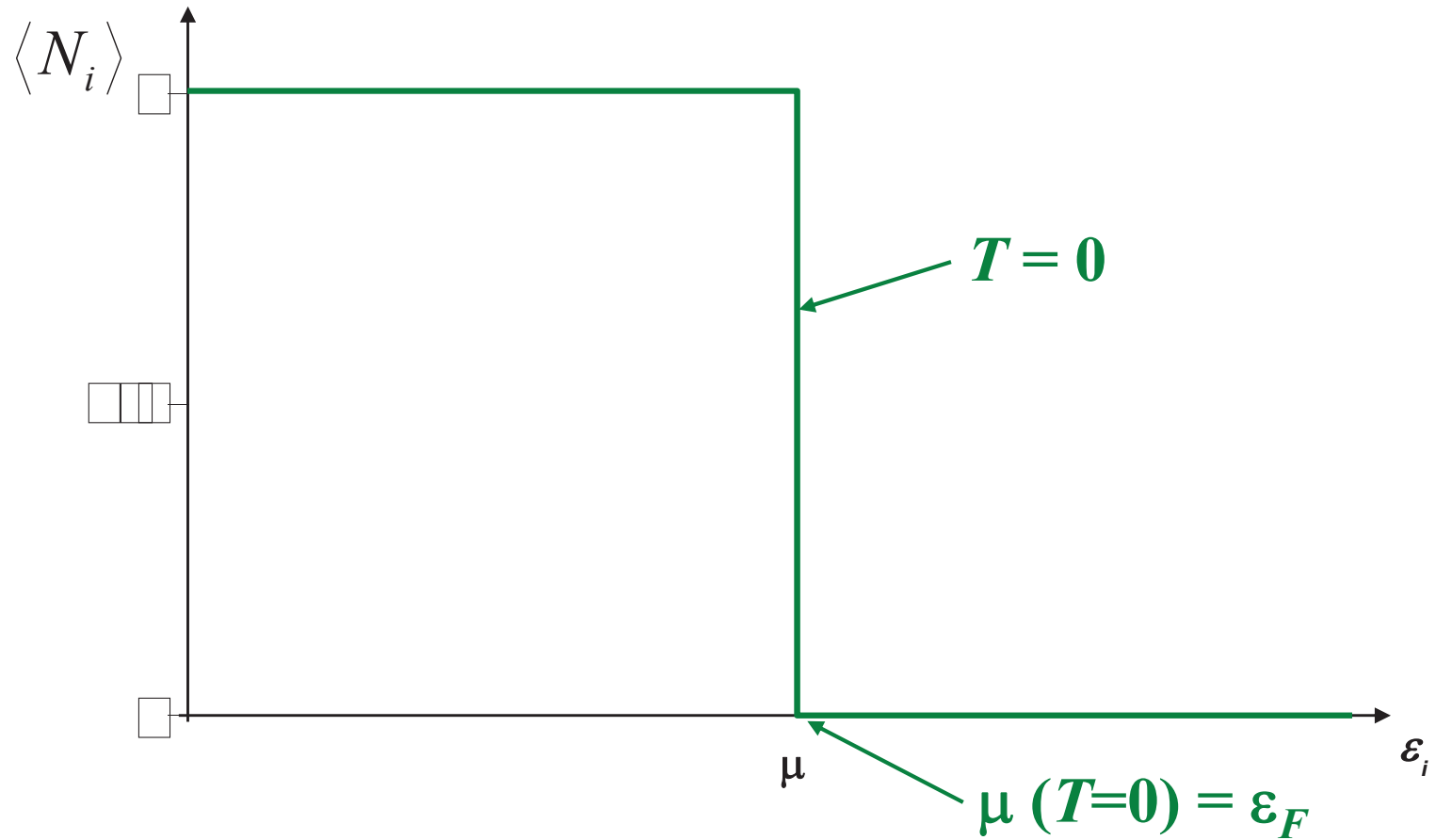
$$J(T, V, \mu) = -kT \ln Z_{GK} = -kT \sum_i \ln [1 + e^{\beta(\mu - \epsilon_i)}]$$

$$\langle N \rangle = -\partial_{\mu} J(T, V, \mu)$$

$$= \sum_i \frac{e^{\beta(\mu - \epsilon_i)}}{e^{\beta(\mu - \epsilon_i)} + 1} = \sum_i \langle N_i \rangle$$

Fermi- (Verteilungs-) funktion

erhalten der Fermifunktion



→

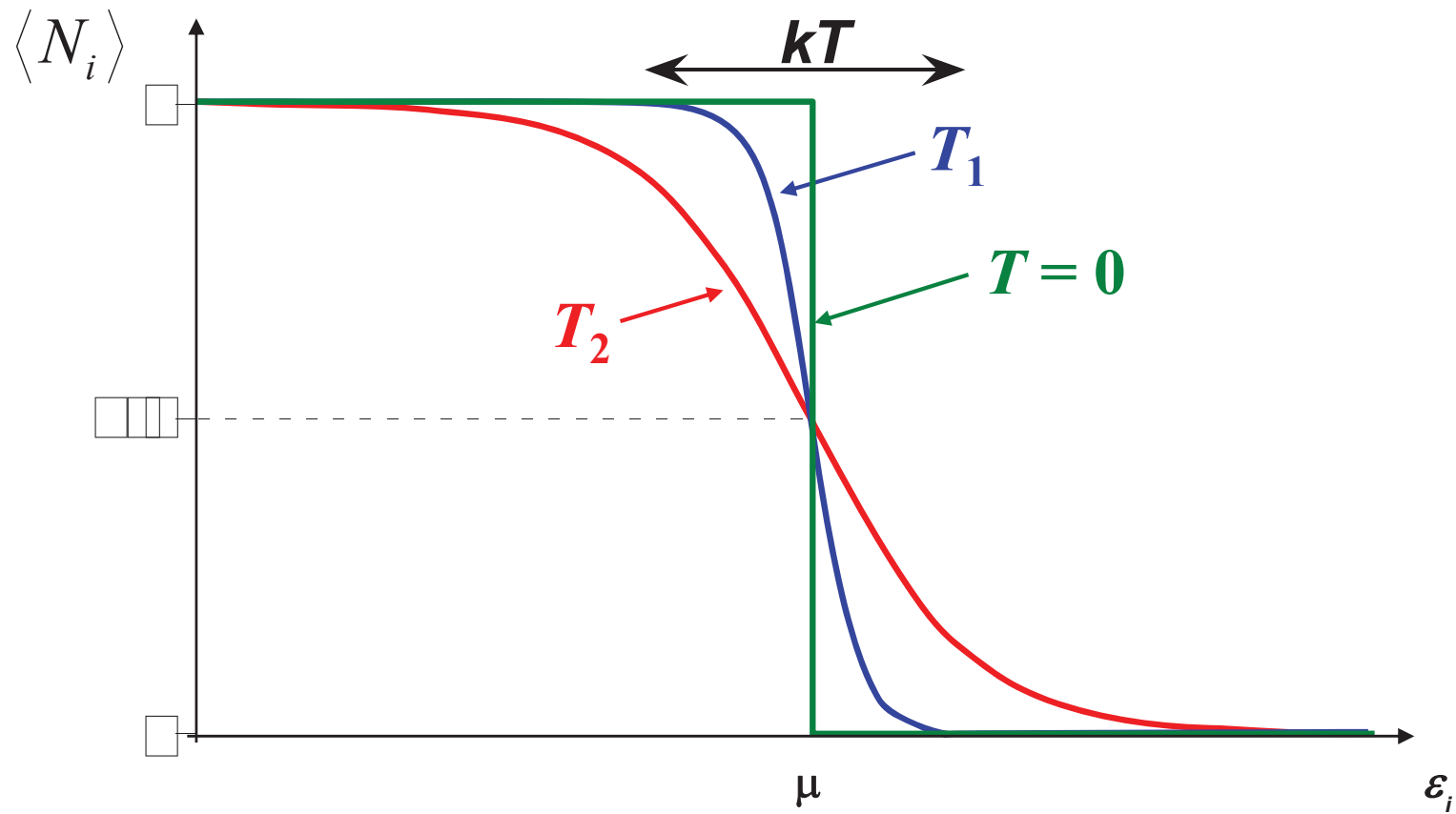
$$\frac{1}{e^{\beta(\epsilon_l - \mu)} + 1} \rightarrow \Theta(\mu - \epsilon_l)$$

\square alle Zustände besetzt für $\varepsilon_l < \mu(T) = \varepsilon_F$
 und besetzt für $\varepsilon_l > \mu(T) = \varepsilon_F$

$\square \mu(T) = \varepsilon_F \equiv \text{Fermienergie}$

\square direkte Konsequenz des Pauliprinzips alle
 Einteilchenzustände bis zur Energie ε_F sind
 einfach besetzt

\square falls $\{\varepsilon_l\}$ positiv $\Rightarrow \mu(T) = \varepsilon_F$ positiv



$$\epsilon_i > 0$$

$$\mu \approx \epsilon_i \quad \text{mit} \quad \langle N_i \rangle = \frac{1}{e^{\beta(\epsilon_i - \mu)} + 1}$$

$$\langle N_i \rangle \text{ fällt innerhalb von } kT \text{ von } 1 \text{ auf } 0 \text{ ab}$$

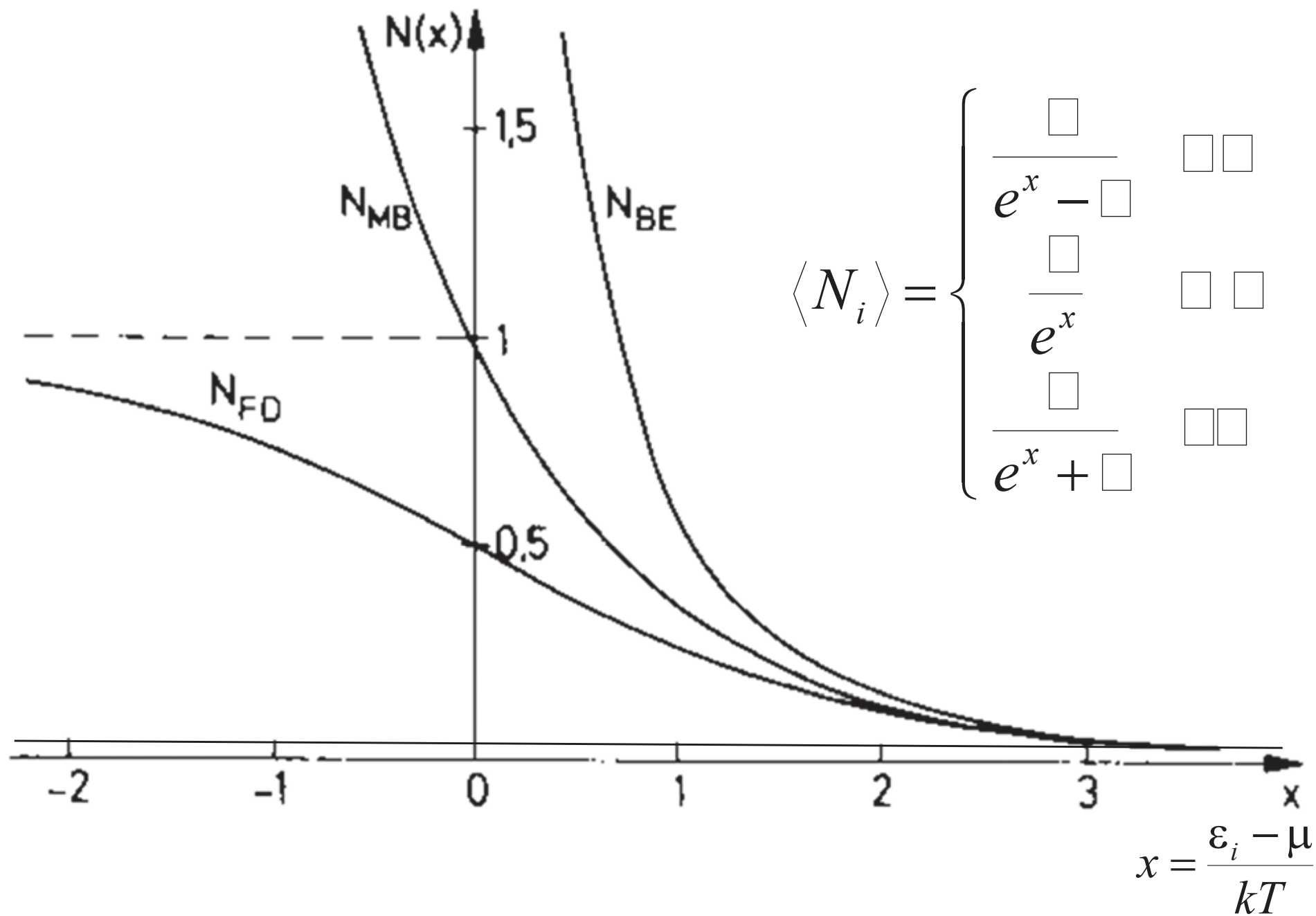
$$\text{auf } \approx 0$$

$$N \rightarrow \infty$$

$$\langle N_l \rangle \propto e^{-\beta \epsilon_l - \mu}$$

$$\mu \rightarrow \mu_{kl} = -kT \ln \left[\frac{V}{\langle N \rangle} \frac{(\pi m k T)^{3/2}}{h^3} \right] \rightarrow -\infty$$

die Bose-Einstein-Statistik



Ableitung der Zustandsgleichung für ideales Fermi-gas

$$\sum \rightarrow \int_0^{\infty} D(\varepsilon) d\varepsilon \quad \text{mit} \quad D(\varepsilon) = \frac{V}{\pi} \left(\frac{m}{\hbar} \right)^3 \sqrt{\varepsilon}$$

$$J(T, V, \mu) = - \frac{V}{\pi} \left(\frac{m}{\hbar} \right)^3 \int_0^{\infty} d\varepsilon \frac{\varepsilon}{e^{\beta(\varepsilon - \mu)} + 1}$$

$$\langle N \rangle = -\partial_{\mu} J(T, V, \mu) = \frac{V}{\pi} \left(\frac{m}{\hbar} \right)^3 \int_0^{\infty} d\varepsilon \frac{\varepsilon}{e^{\beta(\varepsilon - \mu)} + 1}$$

$$\langle H \rangle = E = \int d\varepsilon \varepsilon \langle N(\varepsilon) \rangle = \frac{V}{\pi} \left(\frac{m}{\hbar} \right)^3 \int_0^{\infty} d\varepsilon \frac{\varepsilon^2}{e^{\beta(\varepsilon - \mu)} + 1}$$

⇒ Zustandsgleichung:

$$pV = \frac{1}{3} E$$

Relation zwischen Fermienergie, Fermi-Wellenzahl
und Teilchendichte

$$T \rightarrow \frac{1}{e^{\beta(\varepsilon - \mu)} + 1} \rightarrow \Theta(\mu - \varepsilon) = \Theta(\varepsilon_F - \varepsilon)$$

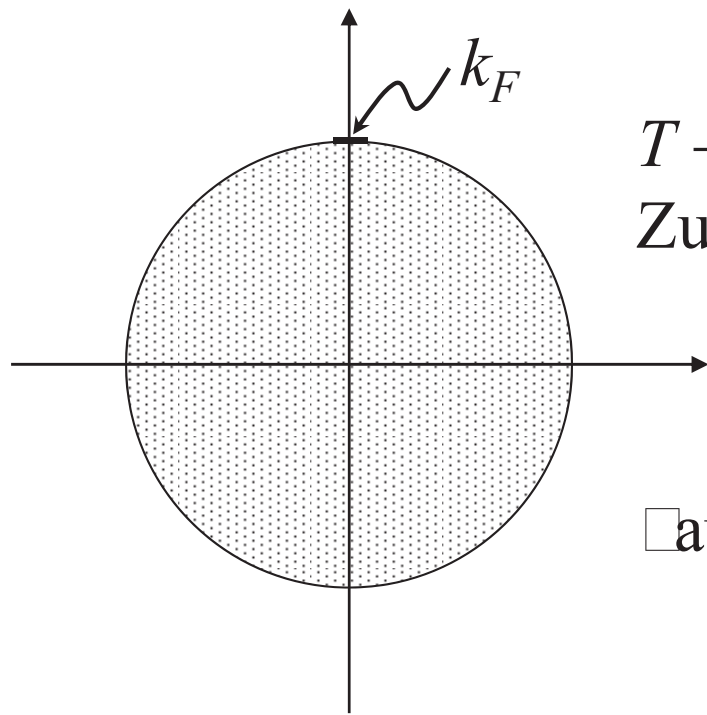
$$\frac{\langle N \rangle}{V} = \frac{1}{\pi} \left(\frac{m}{\hbar} \right) \int_0^\mu d\varepsilon \varepsilon = \frac{1}{\pi} \left(\frac{m}{\hbar} \right) \frac{1}{2} \mu^2$$

$$\mu(T) = \left(\pi \left(\frac{\hbar}{m} \right) \langle n \rangle \right) = \frac{\hbar}{m} \left(\pi \langle n \rangle \right)$$

$$\mu(T) = \varepsilon_F = \frac{\hbar^2 k_F^2}{2m} \Rightarrow k_F = \left(\pi \langle n \rangle \right)$$

Fermi-Wellenzahl $\hbar k_F$ Fermi-Impuls

■arstellung durch ■ugel im ■impulsraum■



$T \rightarrow$ ■alle Zustände $k \leq k_F$ sind ■esetzt■
Zustände höherer ■nergie sind un■esetzt

■auliprinzip ■er■n■pft ■ichte und ■ermi-■nergie

■eine ■ondensation in Zustand p ■ ■aufgrund des ■auli■er■ots

Emergenzkorrektur für Spinartung g_s

$$\frac{\langle N \rangle}{V} = \frac{g_s}{4\pi} \left(\frac{m}{\hbar} \right)^3 \mu$$

$$\mu T = \left(\frac{4\pi}{g_s} \left(\frac{\hbar}{m} \right)^3 \langle n \rangle \right)^{-1} = \frac{\hbar}{m} \underbrace{\left(\frac{4\pi}{g_s} \langle n \rangle \right)^{-1}}_{k_F} = \frac{\hbar k_F}{m}$$

Energiedichte der Fermikugel

$$\frac{E}{V} = \frac{\langle H \rangle}{V} = \frac{g_s}{4\pi} \left(\frac{m}{\hbar} \right)^3 \int_0^\mu d\varepsilon \varepsilon^3 = \frac{g_s}{4\pi} \left(\frac{m}{\hbar} \right)^3 \frac{1}{4} \mu^4$$

$$E = \frac{1}{4} \langle N \rangle \varepsilon_F \quad \Rightarrow \quad pV = \frac{1}{4} E = \frac{1}{4} \langle N \rangle \varepsilon_F$$

$$p(T) = \frac{\langle N \rangle}{V} \varepsilon_F = \frac{\langle N \rangle}{V} \frac{\hbar^3}{m} \left(\frac{\pi \langle N \rangle}{g_s V} \right)^{2/3} \propto V^{-5/3}$$

$\langle N \rangle$ festgehalten

$$V = \frac{\pi R^3}{6} \Rightarrow p = \frac{\hbar^3}{m} \left(\frac{\pi}{g_s} \right)^{2/3} \left(\frac{\langle N \rangle}{\pi R^3} \right)^{2/3}$$

$$= \frac{\hbar^3}{m \pi} \left(\frac{1}{g_s} \right)^{2/3} \frac{\langle N \rangle^{2/3}}{R^3}$$

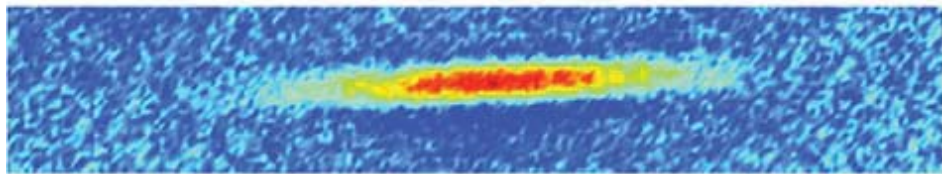
harmonisches \square allenpotential $F = KR = m\omega^2 R$

\square allendruck $p = \frac{F}{A} = \frac{m\omega^2 R}{\pi R^3} = \frac{m\omega^2}{\pi R^2}$

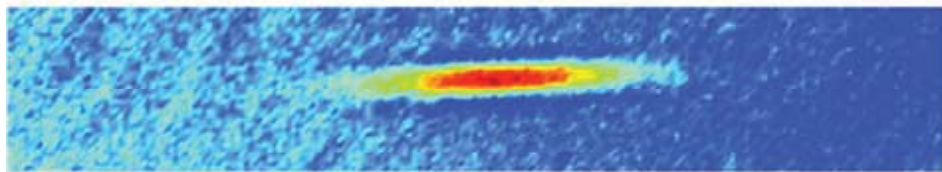
gleichsetzen liefert $R = \sqrt{\frac{\hbar^3 \langle N \rangle}{m \omega^2} \left(\frac{\pi \langle N \rangle}{g_s} \right)^{2/3}}$

Entartungsdruck des Fermigas für $T \rightarrow 0$

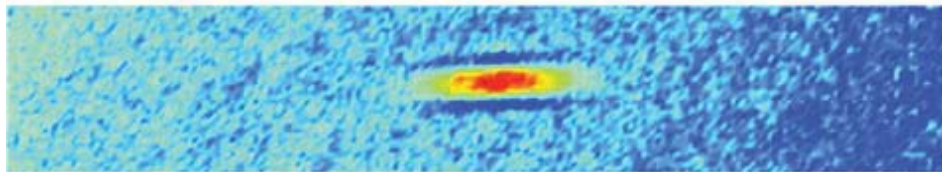
^7Li



$T = 810 \text{ nK}$

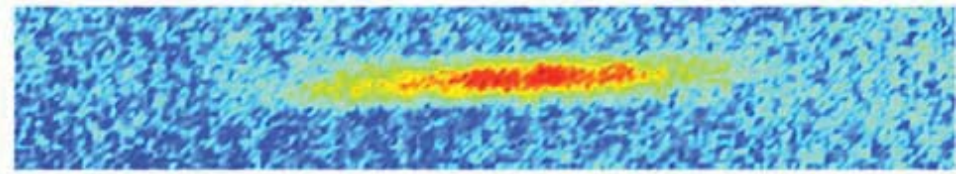


$T = 510 \text{ nK}$

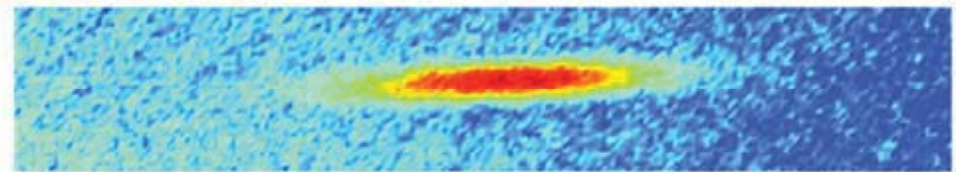


$T = 240 \text{ nK}$

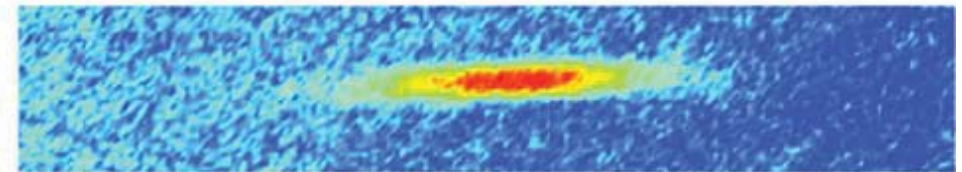
^6Li



$T/T_F = 1.0$



$T/T_F = 0.56$

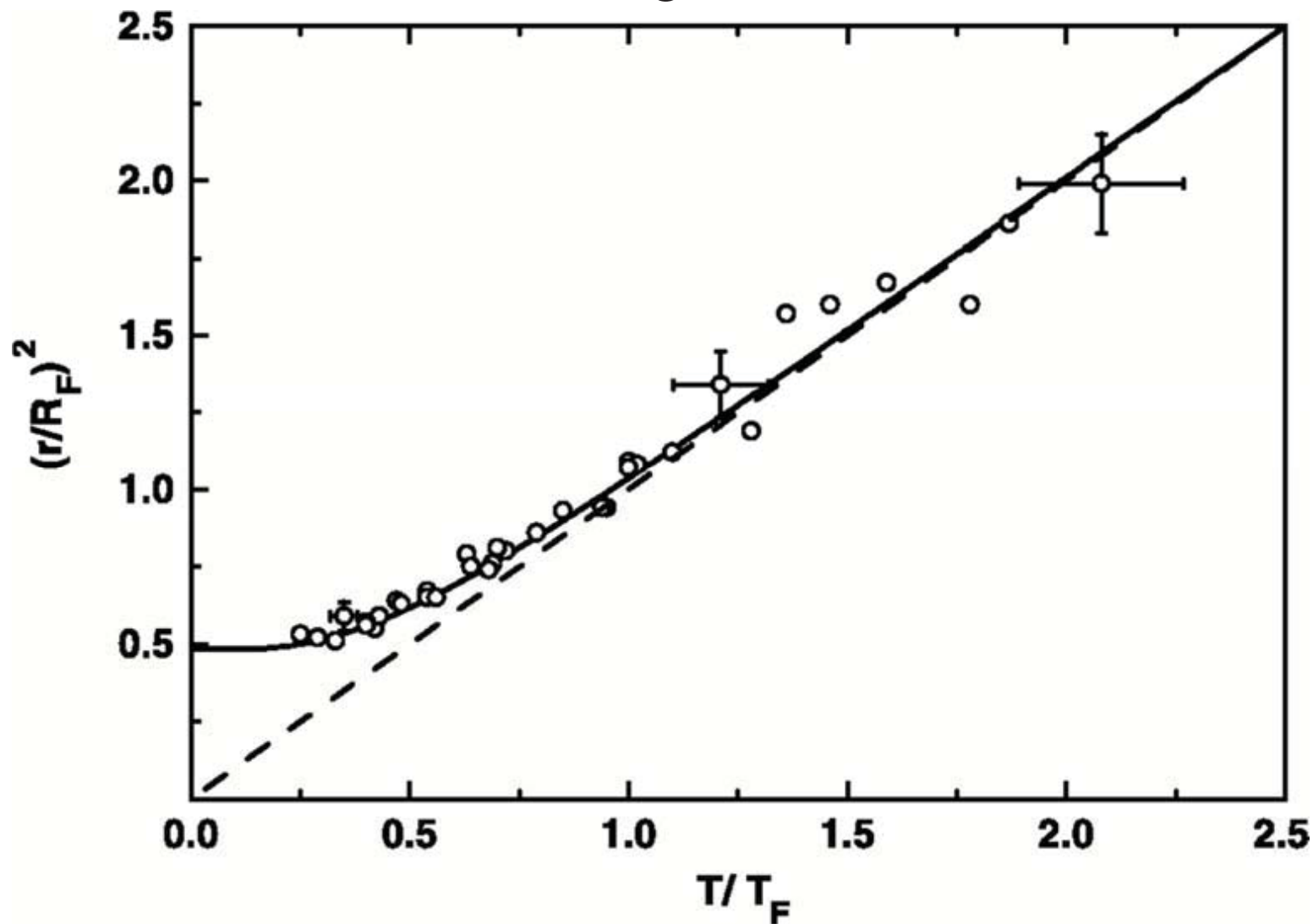


$T/T_F = 0.25$

Bose- (^7Li ; $T_c = 540 \text{ nK}$) und Fermi- (^6Li) Gas: Bose-Gas kontrahiert, Fermi-Gas verändert aufgrund des Entartungsdrucks Form bei $T < T_F$ nicht elliptische Form des Gemischs aufgrund des Fallenpotentials

Quelle Science

Entartungsdruck \rightarrow Volumen des Fermigas kann
nicht beliebig klein werden



relative Oberfläche eines idealen Fermi-Gases:
durchgezogene Linie \rightarrow Vorhersage für ideales Fermi-Gas;
unterbrochene Linie \rightarrow klass. Theorie; Kreise \rightarrow Experiment

Elektronengas in Festkörpern typ. Werte für
Austrittsarbeit - Fermienergie ≈ 5 eV

$$kT = 5 \text{ eV} \approx 50000 \text{ K} \Rightarrow \frac{kT}{\epsilon_F} \ll 1$$

\Rightarrow thermodynamische Eigenschaften des Elektronengases
durch Näherung für tiefe Temperaturen bestimmt

$$pV = \frac{2}{3} E = \frac{g_s V}{\pi^2} \left(\frac{m}{\hbar} \right)^3 \int_0^\infty d\epsilon \frac{\epsilon^3}{e^{\beta(\epsilon - \mu)} + 1}$$

$$\alpha \equiv \beta\mu \approx \frac{\epsilon_F}{kT} \rightarrow \infty \quad \text{Lorentztransformation } x = \beta(\epsilon - \mu)$$

$$pV = \frac{g_s V}{\pi^2} \left(\frac{m}{\hbar} \right)^3 kT \int_{-\alpha}^{\infty} dx \frac{(x + \alpha)^3}{e^x + 1}$$

Leibniz-Integration / Auswertung des Integrals

$$I(\alpha) = \int_{-\alpha}^{\alpha} dx \frac{x + \alpha}{e^x + 1}$$

$$I(\alpha) = \int_{-\alpha}^0 dx \frac{x + \alpha}{e^x + 1} + \int_0^{\alpha} dx \frac{x + \alpha}{e^x + 1} + \underbrace{\int_{\alpha}^{\infty} dx \frac{x + \alpha}{e^x + 1}}_{\rightarrow 0}$$

$$x \rightarrow -x \quad \frac{1}{e^{-x} + 1} = 1 - \frac{1}{e^x + 1}$$

$$I(\alpha) = \int_0^{\alpha} dx \frac{\alpha - x}{e^{-x} + 1} + \int_0^{\alpha} dx \frac{x + \alpha}{e^x + 1}$$

$$= \int_0^{\alpha} dx (\alpha - x) + \int_0^{\alpha} dx \frac{x + \alpha - \alpha + x}{e^x + 1}$$

$$= -\frac{1}{2}(\alpha - x)^2 \Big|_0^{\alpha} + \underbrace{\int_0^{\alpha} dx \frac{x\alpha}{e^x + 1}}_{\alpha \rightarrow \infty \quad I \rightarrow \frac{\pi^2}{6} \alpha} = -\frac{1}{2}\alpha^2 + \frac{\pi^2}{6}\alpha$$

$$\Rightarrow pV = \frac{g_s V}{\pi} \left(\frac{m}{\hbar} \right)^3 \left[-\mu + \frac{\pi}{kT} \mu^2 \right] + O(T^3)$$

Berechnung von μ

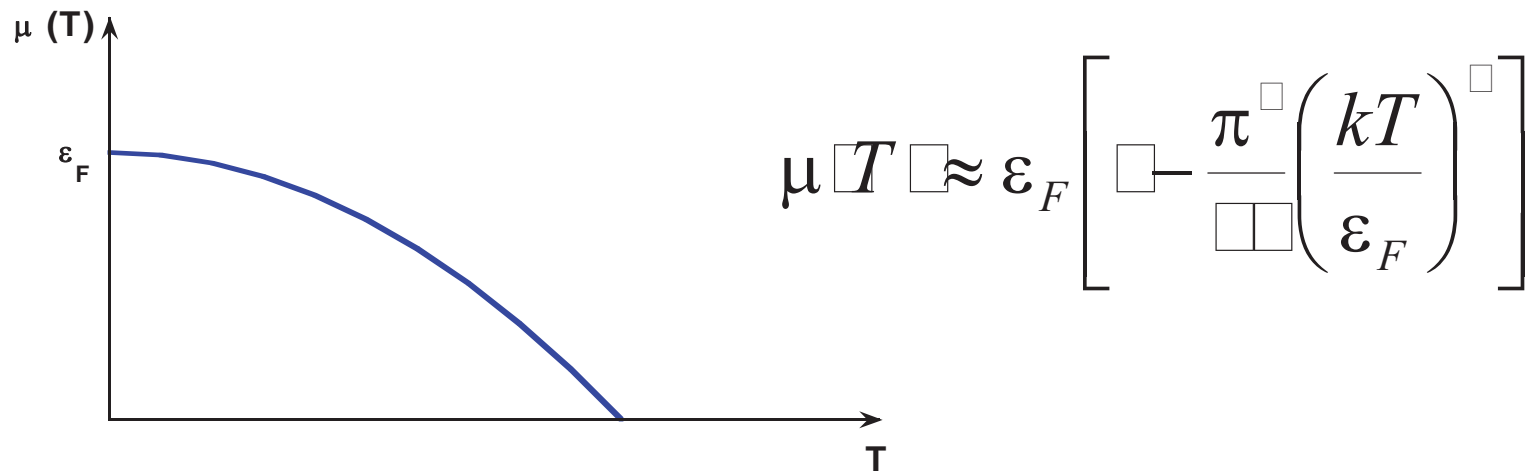
$$\langle N \rangle = \partial_\mu pV = \frac{g_s V}{\pi} \left(\frac{m}{\hbar} \right)^3 \mu \left[1 + \frac{\pi}{kT} \mu \right]$$

Auflösung nach μ bis zur Ordnung kT/μ

$$\mu T = \underbrace{\frac{\hbar^3}{m} \left(\frac{\pi \langle n \rangle}{g_s} \right)^{1/3}}_{\varepsilon_F} \left[1 + \frac{\pi}{kT} \mu \right]^{-1}$$

$\mu(T) \approx \mu(0) = \varepsilon_F$

$$\mu T \approx \varepsilon_F \left[1 + \frac{\pi}{kT} \varepsilon_F \right]^{-1} \approx \varepsilon_F \left[1 - \frac{\pi}{kT} \varepsilon_F \right]$$



$$\Rightarrow pV = \frac{1}{2} \langle N \rangle \varepsilon_F \left[1 + \frac{\pi^2}{6} \left(\frac{kT}{\varepsilon_F} \right)^2 + O \left(\frac{kT}{\varepsilon_F} \right)^4 \right]$$

$$S = \frac{1}{T} (E + pV - \mu \langle N \rangle) = \frac{1}{T} \left(\frac{1}{2} pV - \mu \langle N \rangle \right)$$

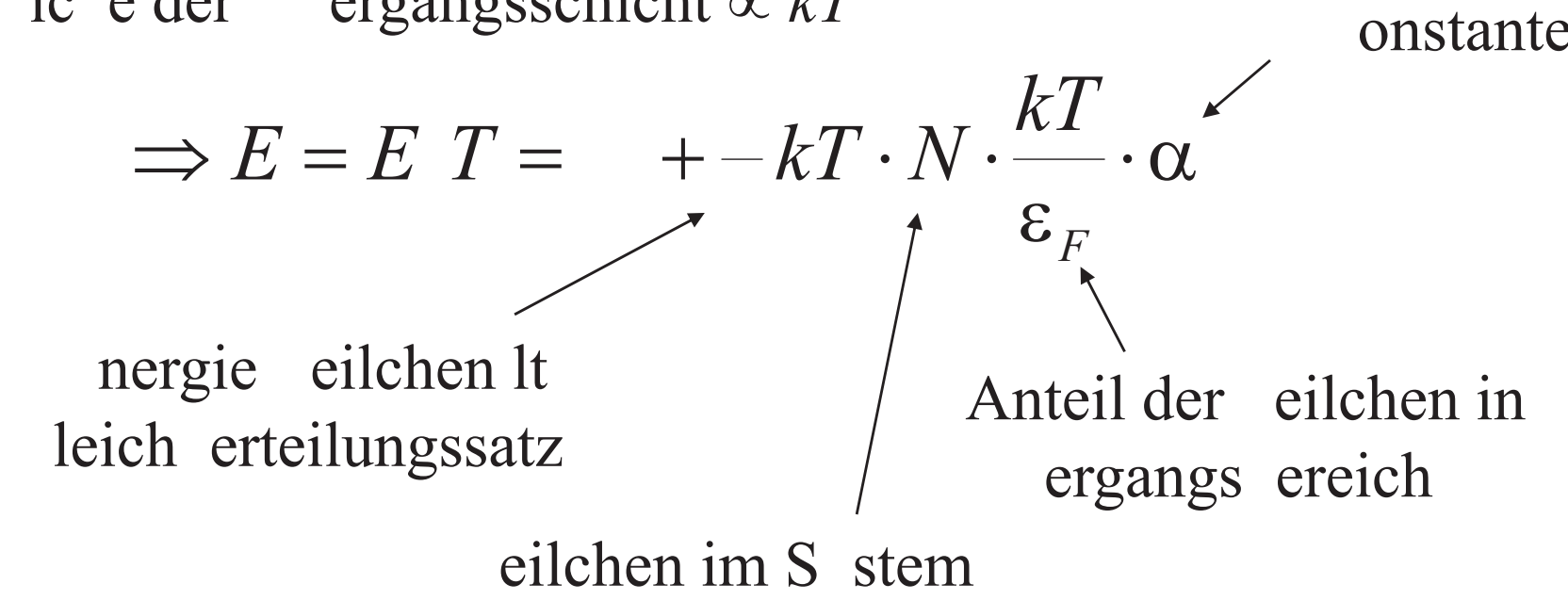
$$S = \frac{1}{T} \langle N \rangle \varepsilon_F \left\{ \left[1 + \frac{\pi^2}{6} \left(\frac{kT}{\varepsilon_F} \right)^2 \right] - \left[1 - \frac{\pi^2}{6} \left(\frac{kT}{\varepsilon_F} \right)^2 \right] \right\} = \langle N \rangle k \left(\frac{\pi^2}{6} \frac{kT}{\varepsilon_F} \right)$$

$$C_V = T \partial_T S = T \langle N \rangle k \left(\frac{\pi^2}{6} \frac{k}{\varepsilon_F} \right) = S$$

zur Wärmekapazität

Abschätzung für $C_V \propto T$

Dicke der Übergangsschicht $\propto kT$

$$\Rightarrow E = E(T) = \frac{1}{2} + \frac{1}{2} kT \cdot N \cdot \frac{kT}{\epsilon_F} \cdot \alpha$$


Energie pro Teilchen lt.
Gleichverteilungssatz

Teilchen im System

Anteil der Teilchen in
Übergangsbereich

Konstante

$$\Rightarrow C_V(e^-) = \partial_T E \propto T$$

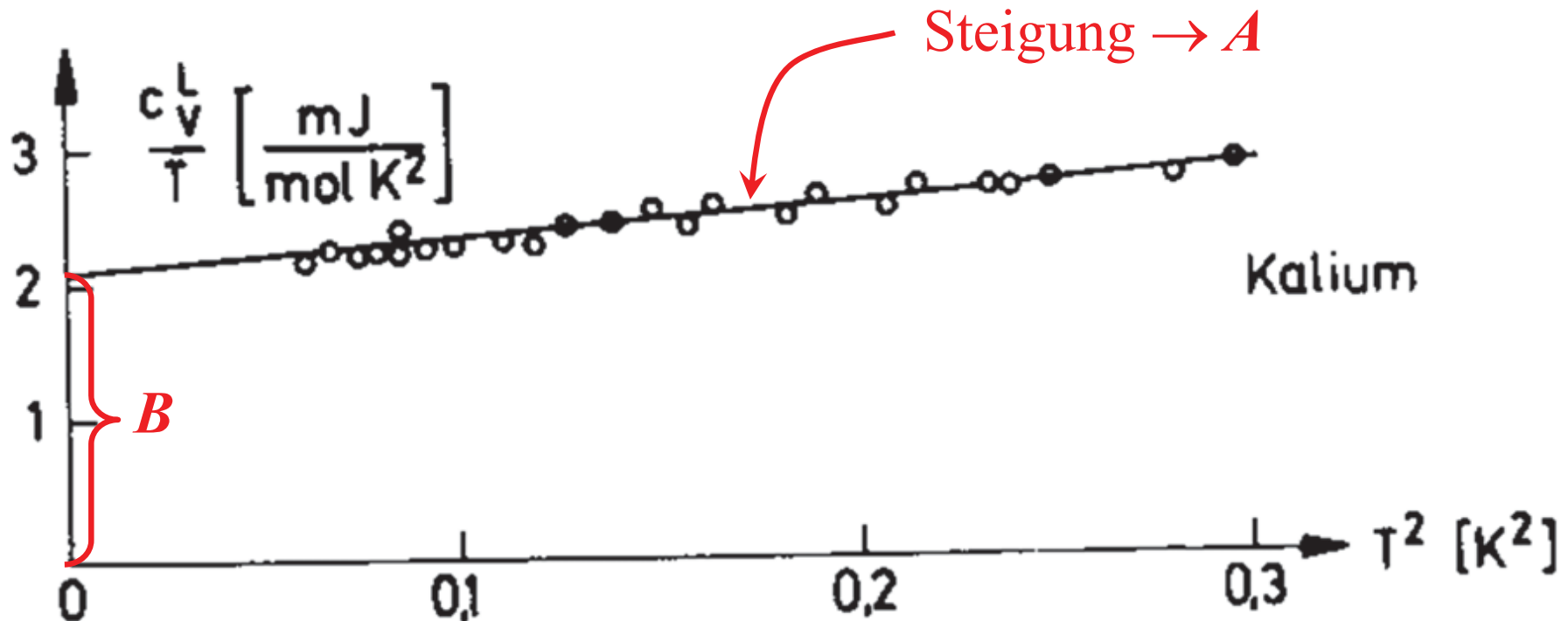
$T \rightarrow 0$:

Wärmekapazität der Festkörper

$$\Rightarrow C_V = AT^3 + BT \leftarrow \text{Elektronen}$$

Phononen (Debye) $\propto T^3$

Bestimmung der Konstanten durch Experiment $\frac{C_V}{T} = AT^2 + B$



□sp □□□eutronenstern

□ntartungsdruc □und □ra□itationsdruc □im □leichte □icht

□ispersionsrelation □ $\varepsilon = \sqrt{p^2 c^2 + m^2 c^4}$

$$\begin{aligned}
 E \quad T &= \frac{V g_s}{\pi^2} \int_0^{k_F} k^3 \sqrt{p^2 c^2 + m^2 c^4} dk = \\
 &= \frac{V g_s}{\pi^2 \hbar^3} \int_0^{p_F} p^3 \sqrt{p^2 c^2 + m^2 c^4} dp = \left[\begin{array}{l} x = p \quad mc \\ x_F = p_F \quad mc \end{array} \right] \\
 &= \frac{V g_s m^4 c^5}{\pi^2 \hbar^3} \int_0^{x_F} x^3 \sqrt{1 + x^2} dx
 \end{aligned}$$

Formelsammlung

$$\int x \sqrt{a+x} dx = \frac{x}{3} + x \sqrt{a+x} - \frac{2}{3} \left[x(a+x) + \ln(x + \sqrt{a+x}) \right] + C$$

$$\begin{aligned} \int_0^{x_F} x \sqrt{a+x} dx &\approx [x_F \gg a] \approx \frac{x_F^3}{3} (a+x_F^{-1}) - \frac{2}{3} x_F + \dots \\ &\approx \frac{x_F^3}{3} \left(a + \frac{1}{x_F} \right) - \frac{2}{3} x_F = \frac{1}{3} (x_F^3 + x_F) \end{aligned}$$

$$\Rightarrow E = \frac{V g_s m c}{\pi \hbar} (x_F + x_F) \quad x_F = \frac{\hbar k_F}{mc} = \frac{\hbar}{mc} \left(\frac{\pi}{g_s} \langle n \rangle \right)$$

$$\begin{aligned} p = -\partial_V E &= -\frac{g_s m c}{\pi \hbar} (x_F + x_F) + \frac{g_s m c}{\pi \hbar} \left(\frac{1}{3} x_F + \frac{1}{3} x_F \right) \\ &= \frac{g_s m c}{4\pi \hbar} (x_F - x_F) \end{aligned}$$

$$\langle n \rangle = \frac{M}{\pi R^3 m} \Rightarrow x_F = \frac{\hbar M}{m^2 c R} \left(\frac{1}{g_s} \right)^3$$

M Masse des Neutronensterns m Neutronenmasse

Einführung dimensionsloser Variablen

$$\bar{R} = R \frac{\hbar}{m c} \quad \text{Radius in Compton-Wellenlänge } \lambda_C^n$$

$$\bar{M} = \frac{M}{g_s m} \approx \text{Masse in Einheiten von } m$$

$$\Rightarrow x_F = \frac{\bar{M}}{\bar{R}} \Rightarrow p = \frac{g_s m^2 c}{4 \pi \hbar} \left(\frac{\bar{M}}{\bar{R}} - \frac{\bar{M}}{\bar{R}} \right)$$

Strahlungsdruck $p = \frac{\gamma M}{\pi R} = \frac{\gamma}{\pi} \left(\frac{mc}{\hbar} \right) \left(\frac{g_s m}{\pi} \right) \frac{M}{R}$

gleichsetzen liefert $\bar{R} = \bar{M} - \left(\gamma g_s \frac{\pi m}{\hbar c} \right) \bar{M}$

$$\bar{R} = \bar{M} \sqrt{1 - \frac{\pi m}{\hbar c} \gamma g_s \bar{M}}$$

$$\bar{M}_\square = \left(\frac{\hbar c}{\gamma g_s \pi m} \right) \approx 10^{32} \Rightarrow M_\square \approx 10^{32} \text{ g} \approx 10^{-11} M_\odot$$

$$\bar{R} \approx \bar{M} \approx \bar{M}_\square \approx 10^{32} \Rightarrow R = \lambda_c \bar{R} \approx 10^{-11} \text{ m}$$

Anmerkung: identische Gleichungen für Neutrinos Zerg

Unterschied $\left. \begin{aligned} R_{NS} &= \bar{R} \lambda_c^{n_e} \\ R_{WZ} &= \bar{R} \lambda_c^{e_e} \end{aligned} \right\} \Rightarrow R_{WZ} = \frac{m_n}{m_e} R_{NS}$

